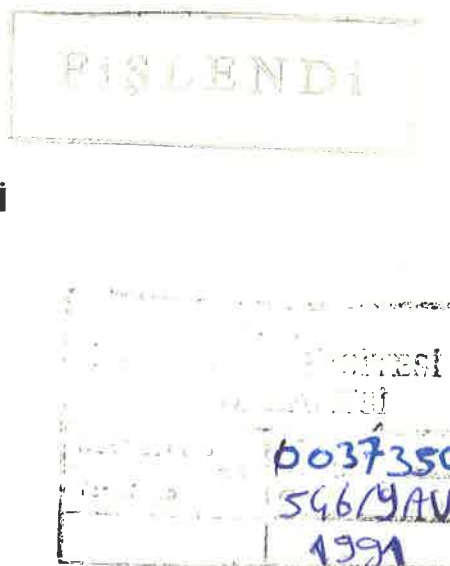


T. C.  
DİCLE ÜNİVERSİTESİ  
FEN BİLİMLERİ ENSTİTÜSÜ

**ANOT ÇAMURUNDAN DEĞERLİ ELEMENTLERİN KAZANILMASI**

**DOKTORA TEZİ**



**ÖMER YAVUZ**

**DİYARBAKIR - 1991**

## **ANOT ÇAMURUNDAN DEĞERLİ ELEMENTLERİN KAZANILMASI**

## S U N U Ş

Bu çalışma Dicle Üniversitesi Fen Bilimleri Enstitüsü denetiminde  
Dicle Üniversitesi Fen-Edebiyat Fakültesi Kimya Bölümü Analitik Kimya Anabilim  
Dalında Doç. Dr. Recep Ziyadanoğulları'nın danışmanlığında Araştırma Görevlisi  
Ömer Yavuz tarafından yapılmış ve Doktora Tezi olarak sunulmuştur.

Mayıs 1991

## TEŞEKKÜR

Doktora çalışmalarım sırasında her konuda yakın ilgi ve desteğini gör-  
düğüm, bilgi ve tecrübelерinden yararlandığım Sayın Hocam Doç. Dr. Recep  
Ziyadanoğulları'na teşekkür ve şükranlarımı sunarım.

Ayrıca çalışmalarım için gerekli koşulları sağlayan ve yardımlarını  
esirgemeyen tüm arkadaşlarımı da teşekkür ederim.

Araştırma Görevlisi Ömer Yavuz

## ÖNSÖZ

Ülkemizde çeşitli fabrikalarda (Rabak, Sarkuysan, Kırıkkale Piriç Fabrikası ve Hacılar Elektronik Sanayi), üretilen anot çamuru küçümsenmeyecek düzeydedir. Bu nedenle anot çamurunun ülkemizde değerlendirilmesi ülke ekonomisine katkıda bulunacaktır. Özellikle modern endüstrinin önemli ham maddesini oluşturan selenyum ve tellürün, bunların yanında da kıymetli elementlerden altın ve gümüşün kazanılması anot çamurunun önemini bir kat daha artırmaktadır. Ayrıca anot çamurunda üretilen blister bakırın bileşimine bağlı olarak Ni, Pb, Sn, Bi, As, Sb ve platin grubu elementleri de içermektedir.

Ülkemizde üretilen blister bakırlarının içinde platin grubu elementler bulunmamaktadır. Ancak Sn, Bi, Pb, As ve Sb gibi elementler de bulunmaktadır. Bundan dolayı anot çamurunun değerlendirilmesinde yan ürün olarak bu elementlerin kazanılması da düşünülebilir.

Bu çalışmada anot çamurundan bakır, selenyum, tellür, gümüş ve altın kazanılması amaçlanmıştır. Araştırmmanın birinci basamağında daha önce koşulları belirlenmiş otoklav ortamında bakır çözeltiye alınmış ve bu esnada elementel hale dönüşerek artık kalan selenyum ve tellür  $\text{Na}_2\text{SO}_3$  ve  $\text{Na}_2\text{S}$  çözeltileri ile özütlenerek çözeltiye alınmışlardır. Ancak selenyum ve tellür çözeltiye alınmadan önce altın ve gümüşün tiyoüre çözeltisi ile özütlenmesinde uygun koşullar saptanmadığından bu elementlerin kazanılması için selenyum ve tellür özütlemesi sonucu geriye kalan artık üzerinde çalışmalar sürdürülmiş tür. Gümüşün yüksek verimle çözeltiye alınması ve uygun otoklav koşullarında, altının da en son artıktan tiyoüre özütlemesi ile kazanıldığı saptanmıştır.

## İÇİNDEKİLER

Sayfa No

BÖLÜM 1. GENEL BİLGİLER .....	1
1.1. Altın ve Gümüşün Tarihçeşi .....	1
1.2. Altın ve Gümüşün Bulunuşu .....	3
1.3. Türkiye'deki Altın Yatakları.....	5
1.3.1. Birincil Oluşumlu Altın Cevherleşmeleri.....	5
1.3.2. İkincil Oluşumlu Altın Cevherleşmeleri.....	6
1.4. Altın ve Gümüşün Elde Edilme Yöntemleri .....	9
1.4.1. Yoğunluk Konsantrasyonu.....	9
1.4.2. Amalgamasyon.....	10
1.4.3. Flotasyon.....	10
1.4.4. Pirometalürjik Yöntemler .....	10
1.4.5. Hidrometalürjik Yöntemler .....	11
1.4.5.1. Siyanür Özütlemesi .....	11
1.4.5.2. Ajitasyon Özütlemesi .....	12
1.4.5.3. Yığın Özütlemesi .....	13
1.4.5.3. Tiyoüre Özütlemesi .....	14
1.4.6. Kombine Yöntemler .....	23
BÖLÜM 2. ANOT ÇAMURLARININ İŞLENMESİ .....	24
2.1. Sülfatlayıcı Kavurma .....	25
2.2. Yükseltgeyici Kavurma .....	29
2.3. Soda Kavurması .....	30
2.4. Oksijen Varlığında $H_2SO_4$ Özütleme .....	35
2.5. Bazik Ortamda Yapılan Özütleme .....	35
BÖLÜM 3. DENEL KISIM .....	38
3.1. Materyal ve Yöntem .....	38
3.2. Deneyler .....	44

Sayfa No

SONUÇ VE TARTIŞMA .....	86
KAYNAKLAR .....	88

## BÖLÜM 1

## GENEL BİLGİLER

## 1.1. Altın ve Gümüşün Tarihçesi

Metallerin keşfi ve ilk kullanımı yüksek Mısır, Babil, Pers, Hint ve Çin kültürlerinde ilk kentlerin kurulması zamanına rastlar. İnsanlar tarafından kullanılan ilk metaller muhtemelen altın, bakır ve gümüştür. Altının ilk olmasının nedeni parlak sarı renkte, çekici, doğada elementel halde bulunması ve dövülebilir olmasından dolayıdır. Bakırın oldukça geniş bir dağılımı olduğundan altından sonra kullanılmaya başlanılmıştır. Gümüş ise bakır ve altına göre daha az dağılım gösterdiğinden ve özellikle de sülfür halinde bulunduğuandan dolayı en son olarak kullanılmaya başlanılmıştır.

Altın hakkında bilinen en eski bilgiler, M.Ö. 3400 yıllarında Mısır'ın Hanedanlar döneminden önce çakmaktaşından yapılmış altın kabzalı bıçaklar ve kapakları altından yapılmış taş küplerin bulunmasıyla ortaya çıkmıştır. Bu bilgiler, Mısır Piramitleri'nden eskidir ve altının, altın ihtiva eden alüvyonlu maddelerin dövülmesiyle elde edildiğini belirtmektedir. O zamanlar altının eritilmesi bilinmiyordu. Eritme olayı, eski Mısır mücevherlerinde beyaz platin beneklerinin bulunmasıyla başlamış ve M.Ö. 3000 yıllarına doğru başarılmış ve yaklaşık M.Ö. 2400 yıllarında altın damarlarının işlenmesi Mısır'lilar tarafından gerçekleştirılmıştır(1). Altın arıtımı için altın cevheri değirmenlerde öğütülüp suyla yıkandı ve orta saflikta toz altın elde ediliyordu. Daha sonra içine belirli oranlarda kurşun, tuz, kalay ve arpa kepeği konuyor ve karışım kıl potalarda 5 gün ısıtıliyordu. Bu yöntem, altın arıtımının bilinen en eski yöntemi idi(2).

Mısır'da az miktarda alüvyonlu altın bulunuyordu. Mısır'lilar tarafından kullanılan altının çoğu M.Ö. 3000 yıllarından sonra eskiden Nubia olarak bilinen Kuzey Sudan'dan da getiriliyordu(1).

M.Ö. 1200 yıllarda, Fenikeliler Akdeniz'i kontrolleri altına almışlar ve bir çok ticaret merkezi kurarak altın ticareti yapmışlardır. M.Ö. 600 yıllarda, Persler'in Fenikeliler'in başkenti olan Tyre şehrini almalarına kadar başarılı bir şekilde altın ticaretine devam etmişlerdir. Altın Nubia'dan başka Thrace'den, Thrace'ye yakın bir ada olan Thasos'dan, Frigya'dan ve Kral Solomon'un hazinelerinden sağlanmıştır. Bu bulunan altının çoğu alüvyonlu tındı ve alüvyonlu maddelerin yıkaması sonucu düşük yoğunluklu maddelerin uzaklaştırılmasıyla elde ediliyordu(1).

1849 yılında, California'da altın bulunması sonucu insanlar Batı'ya hucum ettiler. Bir kaç yıl sonra Avustralya ve Yukon(Alaska)'da ve daha sonra 1886 yılında Güney Afrika'da altın yatakları bulunmuştur. Güney Afrika'daki bu cevherlerler, dünya altın ihtiyacının üçte ikisini karşılamaktadır(3).

Arkeolojik kazılar, Kapadokya'da Hititler'den önce M.Ö. 4000 yılında gümüş üretimi üzerine mevcut çalışmalar yapıldığını ve Avrupa ve Asya'da kullanılan gümüşün hem süs eşyası hem de değişim aracı olarak kullanıldığını göstermektedir(4). M.Ö. 2000 yılında, Hitit'li tüccarlar Asya'ya gümüş ihracatı yapıyorlardı(4). M.Ö. 1000 yılında gelişen Yunan uygarlığında Atina kentinin ticaretini gümüş finanse ediyordu. M.Ö. 500 yılında Atina'nın 60 km güneyinde açılmış olan Laurium madeninin, Persler ve Atinalılar arasında savaşın en büyük nedeni olduğu söylenmektedir(4,5).

M.S. 1. yüzyıla kadar geniş bir şekilde gümüş aranmış ve köleler tarafından üretilmiştir. İspanya'daki gümüş-kurşun cevheri Kartacalılar tarafından ve Kartaca(Punic) savaşlarından sonra Romalılar tarafından işletilmiştir (4).

Hindistan ile yapılan baharat ticaretinde, baharatın değeri kısmen ispanyol cevherinden elde edilen gümüş ile karşılaşıyordu. Fakat bu ticaret, M.S. 8. yüzyılda Faslı istilacılar tarafından durdurulmuştur. M.S. 15. yüzyıla kadar Bohemia ve Transilvania'da madencilikte bazı gelişmeler olmuştur.

Fakat tüm zamanların en büyük gümüş buluşları, İspanyolların Güney Amerika'yı (özellikle Mexico, Bolivia ve Peru) keşifleri sırasında bulunmuştur. 16. yüzyılın ortalarından itibaren 300 yıl kadar üstü açık yöntemler geniş bir şekilde kullanılmıştır(4).

19. yüzyılın ilk yarısında Meksika'da meydana gelen savaşlar, gümüş üretimini etkilemiş, kısa bir süre sonra da Sierra Nevada'daki The Mother Gümüş Cevheri işletilmeye açılmıştır. Bundan başka gümüş, gümüş ihtiyaca eden cevherlerden üretilmiş fakat zengin gümüş yatakları tüketidinden daha çok bakır ve kurşun madenciliğinin bir yan ürünü olmuştur(4).

## 1.2. Altın ve Gümüşün Bulunuşu

Altın doğal olarak damarlı(birincil) veya birikinti(ikincil) yataklar şeklinde bulunur. Damarlı yataklarda altın, volkanik yada başkalaşmış kayaların içindeki kuvarsla birlikte bulunur. Birikinti yataklardaki altın tozu veya külçeleri, bir zamanla kaya olan ve zamanla aşınarak akarsulara taşınmış akarsularda bulunur.

Altın yeryüzüne geniş bir şekilde dağılmıştır. Yeryüzünde ortalama olarak 250 ppb, volkanik taşlarda 5 ppb ve deniz suyunda  $4 \cdot 10^{-3}$  ppb oranında bulunur (6). Tablo 1'de altın minerallerinin isimleri ve formülleri şematik olarak verilmiştir(1).

Doğal gümüş, çoğunlukla uzantılı kümeler halinde yada kütleler oluşturan küp biçimli billurlar halinde bulunur. Gümüş cevherleri her zaman bakır, altın, cıva ve kurşun cevherleri ile birlikte bulunurlar. Başlıca gümüş cevherleri tablo 2'de verilmiştir(7).

Tablo 1. Altın Minerallerinin İsimleri ve Formülleri

Mineralin İsmi	Mineralin Formülü
Calaverite	$\text{AuTe}_2$
Sylvanite	$(\text{Ag}, \text{Au})\text{Te}_2$
Petzite	$(\text{Ag}, \text{Au})_2\text{Te}$
Krennerite	$(\text{Ag}, \text{Au})_x\text{Te}_y$
Nagyagite	$(\text{Pb}, \text{Au})_{16}\text{Sb}_3(\text{S}, \text{Te})_{24}$

Tablo 2. Gümüş Minerallerinin İsimleri ve Formülleri

Mineralin İsmi	Mineralin Formülü
Argentite	$\text{Ag}_2\text{S}$
Cerargyrite	$\text{AgCl}$
Stephanite	$5\text{Ag}_2\text{S} \cdot \text{Sb}_2\text{S}_5$
Polybasit	$9(\text{CuS}, \text{Ag}_2\text{S}) \cdot (\text{Sb}_2\text{S}_3, \text{As}_2\text{S}_3)$
Proustite	$3\text{Ag}_2\text{S} \cdot \text{As}_2\text{S}_3$
Pyrargyrite	$3\text{Ag}_2\text{S} \cdot \text{Sb}_2\text{S}_3$
Hessite	$\text{Ag}_2\text{Te}$
Embolite	$\text{Ag}(\text{Cl}, \text{Br})$
Bromargyrite	$\text{Ag}(\text{Cl}, \text{Br}, \text{I})$
Iodargyrite	$\text{AgI}$
Tetrahedrit	$4\text{CuFeAg}_2(\text{HgZn})\text{S} \cdot (\text{Sb}, \text{As})_3$
Dyscarsite	$\text{Ag}_3\text{Sb}$

### 1.3. Türkiye'deki Altın Yatakları

Altın, 6000 yıldan beri bilinmekte ve kullanılmaktadır. Ülkemizde altın yatakları eskiden beri bilinmekte ve bir çoğu işlenmiş haldedir. Hatta Lüdia Kralı Krezüs'ün zenginliğinin kaynağı, Salihli-Sart'taki altına bağlanmaktadır(8).

Türkiye'de pek çok altın cevheri bilinmekte beraber doğrudan altın cevherine dayalı madencilik işletmeleri ve dolayısıyla da doğrudan altın üretimi yoktur. Ülkemizde altın elektrolitik bakır üretimi yanında yan ürün olarak elde edilen anot çamurunun izabə ettirilmesi sonucu elde edilmektedir.

Ülkemizde bilinen altın cevherleşmeleri, birincil ve ikincil oluşlarına göre iki grupta toplanabilir.

#### 1.3.1. Birincil Oluşumlu Altın Cevherleşmeleri

##### a) Altınlı Kuvars-Arsenopirit Cevherleşmeleri

Çoğunlukla Menderes bölgesinde görülen bu tip cevherleşmeler, genellikle mika ve şistler içinde kalınlığı ve devamlılığı olmayan damarlar, damarcıklar ve ufak mercekler şeklindeki şeklindedir. Ancak, altınlı kuvars damarları yer yer birkaç yüz metre uzunluğa kadar devam ederler. Bayındır, Kula, Alaşehir, Çine ve Koçarlı taraflarında yaygındırlar. Damarlardaki altın tenörü 100 g/ton'a kadar çıkmaktadır. Bu tip cevherleşmelere iyi bir örnek olarak Ödemiş-Küre sahanında altınla birlikte arsenopirit, pirit ve eser miktarlarda kalkopirit, manyetit ile antimonit bulunmaktadır(9-11).

##### b) Tersiyer Yaşılı Dasitik Volkanizmayla Silisleşmiş Ezilme Zonlarına ve Kuvars Sülfür Damarlarına Bağlı Cevherleşmeler

Bu tipe örnek olarak İzmir-Arap Dağı, Çanakkale-Kartaldağı ve Madendağı ile Elazığ-Baskıl-Nazaruşağı verilebilir.

Arap dağındaki cevherleşme, volkanik küllerdeki çatlak ve kırıklara yerleşen altınlı kuvars damarları şeklindeki şeklindedir. Altın ile birlikte pirit, galenit, sfalerit ve antimonit bulunmaktadır(12).

Çanakkale-Kartaldağdaki altın cevherleşmesi, dasitler içindeki silisli zonlar içindedir. Altın ile birlikte pirit de bulunmaktadır(12,13).

Madendağındaki cevherleşme paleozoik yaşılı şistlerdeki silislesmiş zonlardadır. Altın ile birlikte gümüş ve pirit de bulunmaktadır(12).

Baskil-Nuruşağı cevherleşmesi de graniti kesen kuvars damarlarında görülmektedir. Altın ile birlikte kalkopirit ve gümüş bulunmaktadır(14).

#### c) Baz Metallerle veya Sulfürlü Minerallerle Beraber Bulunan Altın Cevherleşmeleri

Altının yan ürün olarak bulunduğu bu cevherleşmelere örnek olarak, Kastamonu-Küre, Elazığ-Maden-Anayatak ve Murgul-Anayatak sülfür cevherleri; Pb-Zn yataklarından da Bolkardağ ve Altınoluk verilebilir. Altın tenörü sülfür yataklarında 0,1-2,3 ppm, Pb-Zn yataklarında 3-5 ppm kadardır(8).

##### 1.3.2. İkincil Oluşumlu Altın Cevherleşmeleri

###### a) Karstik Mağaralardaki Altın Cevherleşmeleri

Bu tipe örnek olarak Bolkardağı ve Sögüt-Korudanlık verilebilir. Bolkardağdaki mağaralarda görülen cevherleşme, smisont ve serüsit ile beraber bulunmaktadır. Ayrıca Madenderesi alüvyonlarında da plaser şeklinde altın görülmüşdür(15). Sögütteki cevherleşme, kalkerdeki çatlak ve karstik boşluklarda kil ve kumlarla beraber bulunmaktadır. Bunun yanında, ince kuvars damarlarında da altın rastlanmıştır(16).

###### b) Plaserler

Ülkemizde bulunan başlıca plasterler; Salihli-Sart, Kağızman-Darphane, İğneada-Mertgölü ve Hatay-Akıllı çayıdır.

Salihli-Sart'taki cevherleşme, özellikle üst boz konglomera olarak adlandırılan ve kalınlığı 150 metreye ulaşan Pliyo-Kuvaterner içindedir. Bunun yanında alüvyonlarında da altın bulunmaktadır. Altının tanecik boyutu 10...3 mm arasında değişmektedir. Altının yanında ağır minerallerde titan, zirkon ve

kassiterit bulunmaktadır(17).

Kağızman-Darphanedeki cevherleşme, Aras ırmağının bir kolu olan Ortakale akarsuyunun alüvyonlarında ve teraslarındadır. Altın, burada ince taneli olarak görülmüştür(18).

Kırklareli-İğneada-Mertgölündeki cevherleşme sahil kumları içinde altın yoğunlaşması şeklindedir. Altınla birlikte manyetit de bulunmaktadır(19).

Hatay-Akıllıçaydaki cevherleşme, daha çok teraslarda yoğunluk kazanmıştır. Alüvyonlarda da önemsiz miktarda altın taneciklerine rastlanmıştır(20).

Bilinen altın rezervlerinin tümü MTA tarafından belirlenmiş olup, tablo 3'te verilmiştir(8).

MTA, altının ana ürün olduğu cevherleşmelerde prospeksiyon, jeokimya ve detay bilgisi çalışmaları yapmış, Ödemiş-Küre'de 501 m sondaj, 5500 m<sup>3</sup> yarma, 130 m galeri; Arapdağında 2989 m sondaj, galeri çalışması; Madendağında 900 m galeri, 400 m kuyu ve 8 adet sondaj; Kartaldağda 903 m sondaj, 160 m galeri ve Baklıhli-Sart'ta da 120 m galeri-başyükarı ile çalışmaları gerçekleştirerek sahaların potansiyellerini belirlemiştir. Altının yan ürün olarak elde edildiği sülfür yatakları ve Pb-Zn yatakları da MTA'nın genişçaplı aramaları bilinmektedir(8).

MTA tarafından yapılan tüm çalışmalar sonucunda, altının ana ürün olarak bulunduğu ekonomik bir cevher bulunamamıştır. Ancak yükselen altın fiyatları nedeniyle Menderes bölgesindeki altınlı arsenopirit damarlarının bölgesel olarak potansiyellerinin saptanması, plaserlerin diğer ağır metallerin de elde edilebime yönyle tekrar ele alınması, mikro altın çalışmalarının yapılması, listvenit zonlarının ve genç asidik volkaniklerin araştırılması yönünden önemli görülmektedir(8).

Tablo 3. Türkiye'deki Altın Rezervleri

Altın Bulundukları Yerler	Rezervlerin			Rezervleri			
	Au	Ag	% Cu	% Zn	% Pb	Göreli Muhtemel	Mümkün
a) Kuvars-Altın Damar İzmir-Karşıyaka-Arapdağı Çanakkale-Kırazlı-Kartaldağ Çanakkale-Kırazlı-Kartaldağ Elazığ-Baskılı-Nazaruşağı İzmir-Ödemiş-Küre	3 g/t	48 g/t				125000 t	
	eser						
	5,2 g/t					50000 t	
	5,8 g/t					15000 t	
b) Plaser Yataklar Manisa-Salihli-Sart Kars-Kağızman-Darphane Kırklareli-İgneada-Mertgölü Hatay-Akilliçay	2,4 g/t	4,2 g/t	2,0				
	1,1-8 g/t	1-3 g/t				96000	
c) Bakır-Pirit Yatakları Artvin-Borkça-Akarşen Artvin-Murgul-Anayatak Kastamonu-Küre-AŞköy Elazığ-Maden-Anayatak	96 mg/m <sup>3</sup>					20.10 <sup>6</sup> m <sup>3</sup>	
	0,1 g/m <sup>3</sup>					9.10 <sup>6</sup> m <sup>3</sup>	
	500 mg/m <sup>3</sup>					1.10 <sup>5</sup> m <sup>3</sup>	
	0,5 g/m <sup>3</sup>					5.10 <sup>4</sup> m <sup>3</sup>	
d) Kurşun-Çinko Yatakları Niğde-Uluküşla-Bolkardağ Niğde-Uluküşla-Bolkardağ Balıkesir-Edremit-Altınoluk	2,3 g/t	35 g/t	2,8			4.10 <sup>6</sup> t	
	0,1 g/t	2,6 g/t	1,1			4.10 <sup>6</sup> t	
	1,2 g/t		1,2			23.10 <sup>6</sup> t	
	1,0 g/t	20 g/t	1,77			12.10 <sup>6</sup> t	
						13.10 <sup>6</sup> t	

## 1.4. Altın ve Gümüşün Elde edilme Yöntemleri

Doğada elementel halde yada tablo 1 ve tablo 2'de verilen şekillerde bulunan altın ve gümüş basit yoğunluk konsantrasyonundan çok karmaşık biyokimyasal yöntemlerle kazanılmaktadır. Değerli metal cevherlerinin veya konstrelerinin işlenmesinde kullanılan başlıca yöntemler şunlardır;

1. Yoğunluk Konsantrasyonu
2. Amalgamasyon
3. Flotasyon
4. Pirometalürjik yöntemler
5. Hidrometalürjik yöntemler
6. Kombine Yöntemler

### 1.4.1. Yoğunluk Konsantrasyonu

Bu yöntem, cevherlerde bulunan serbest altın veya altın ihtiva eden sülfürlerin  $43\text{m}\mu$  (325 mesh)'e kadar öğütülen parçacıkların içindeki altının zenginleştirilmesi için kullanılmaktadır. Bu amaçla jigler, sarsıntılı masalar, spiraller, Reichert konisi ve hareketli bant ayırıcı v.s aletler kullanılır. Örneğin Güney Afrika'daki fabrikaların % 50'den fazlası bu yöntemi kullanırlar ve numunedeki altının % 50'sini kazanırlar(21).

### 1.4.2. Amalgamasyon

Eskiden çok kullanılmış fakat günümüzde önemini yitirmiş olan bu yöntem AgCl ün cıva tarafından metalik gümüşe indirgenmesi, metalik gümüş ve altının amalgam oluşturma esasına dayanır(22).



İnce bir filim halinde bile olsa, yağlar, demir oksit veya sülfürler amalgam oluşmasına engel olurlar(22).

Sülfürlü cevherler, kükürt, arsenik ve antimonun yakılması için klorür-leştiçi kavurmaya tabi tutulurlar.



Meydana gelen AgCl amalgamasyon işlemine tabi tutulur.

Damar ve kayalardaki altının elde edilmesi için önce kayalar kırıcılar-dan geçirildikten sonra su ile değirmenlerde öğütülür ve elde edilen çamur lev-halar halindeki bakır amalgaması üzerinden geçirilerek altının önemli bir kısmı levhalar üzerinde tutulur. Daha sonra altın bu levhalardan kazınarak alınır. Fazla cıvadan kurtulmak için amalgam torbalar içerisinde sıkıştırılır. Cıvanın fazlası uzaklaştırıldıktan sonra amalgam destillenerek cıva uzaklaştırılır ve geriye altın kalır. Benzer işlemler metalik gümüş ve AgCl için de uygulanır(22).

Bu işlemlerde tutulamayan altın ve gümüşü kazanmak için siyanürleştirme işlemi uygulanır.

#### 1.4.3. Flotasyon

Doğal halde ve sülfür mineralleri içinde bulunan altın ve gümüşün flotas-yonu  $10-300 \text{ m } \mu$  parçacık boyutunda etkilidir. Kollektör olarak ksantatlar ve ditiyofosfatlar, köpürtücü olarak çamyağı, karbon sayısı  $5-8$  ( $\text{C}_5-\text{C}_8$ ) olan al-koller ve bastırıcı olarak NaCN kullanılır. İşlemler bazik ortamda ( $\text{pH} : 8-11$ ) gerçekleştirilir(23).

#### 1.4.4. Pirometalürjik Yöntemler

Bu yöntemin prensibi, altın ve gümüşü kurşun alaşımı şeklinde oksitleş-tirici bir eritmeye tabi tutmak suretiyle kurşunla birlikte yükseltgenen diğer yabancı metalleri, serbest halde kalan gümüş ve altından ayırmaktır. Değişik nedenlerden dolayı siyanürleştirme elverişli olmayan cevherler, kazanılacak metalin yeterli miktarını içeriyorsa eritilebilir. Bu nispeten pahalı bir iş-lemidir ve sadece yüksek tenörlü cevherler için uygundur. Düşük tenörlü cevher-ler zenginleştirildikten sonra eritilebilirler.

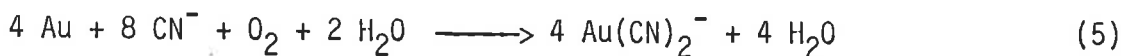
#### 1.4.5. Hidrometalürjik Yöntemler

Altın ve gümüşün kazanılması için uygulanan hidrometalürjik yöntemler başlıca şunlardır;

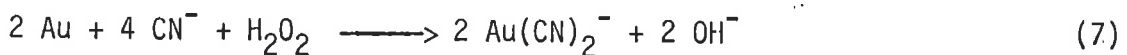
1. Direkt siyanürleştirme(Siyanür Özütleme)
2. Ajitasyon özütleme
3. Yığın Özütleme
4. Tiyoüre özütleme

##### 1.4.5.1. Direkt Siyanürleştirme(Siyanür Özütleme)

Siyanürleştirme yönteminde ince öğütülmüş cevher ve amalgam artıkları seyreltik alkali siyanür çözeltisi ile muamele edilir. Seyreltik siyanür çözeltilerinde altının çözülmesi klasik Elsner denklemi ile gösterilir(21).

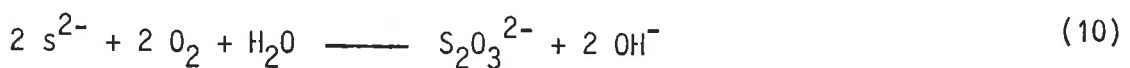
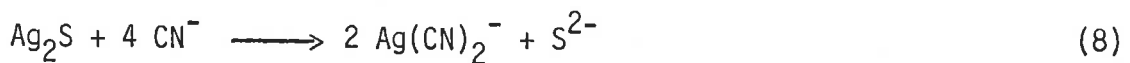


Bu reaksiyonun  $\text{H}_2\text{O}_2$  ara ürünü üzerinden yürüdüğü önerilmiştir.

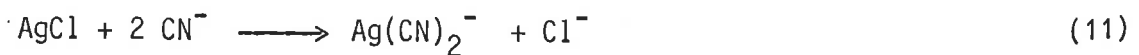


Kudrgk ve Kellog tarafından belirtildiği gibi, 5-7 nolu reaksiyonlar özütleme mekanizmasının elektrokimyasal olduğunu göstermektedir(24).

Benzer şekilde, metalik gümüş de oksijen varlığında siyanür çözeltilerinde çözünür. Gümüş, cevherlerinin çoğunda  $\text{Ag}_2\text{S}$  halindedir. Siyanürleştirme ve sülfürün yükseltgenme reaksiyonları aşağıda verilmiştir.



$\text{AgCl}$  aşağıda gösterildiği gibi siyanürleştirme işleminde oksijene gerek duymaz.



Optimum siyür koşullarında(yaklaşık % 0,05 lik NaCN) altın parçacıkları  $3,25 \text{ mg/cm}^3$ .saat hızla çözünür. Gümüşün çözünme hızı altının yarısı kadardır. Bu değerler  $44 \text{ m } \mu$  (325 mesh) lik altın parçacıkları için 13 saat,  $149 \text{ m } \mu$  (100 mesh) lik için de 44 saatte çözüneceğini göstermektedir. Diğer taraftan aynı boyuttaki metalik gümüş, altından iki kez daha uzun sürede çözünür(21).

Damar tipi oluşan kütlelerde bulunan 100 mesh'in üstündeki altın parçacıkları, siyanürleştirme işleminden önce yoğunluk konsantrasyon yöntemleri ile ayırma işlemine tabi tutulurlar(21).

#### 1.4.5.2. Ajitasyon Özütlemesi

Siyanürleştirme işlemi için genellikle % 0,3 ten daha seyreltik NaCN çözeltisi ile yapılır. Fabrikalarda, cevherde bulunan herhangi bir bileşeni nötralize etmek ve hidrolizi önlemek için ortama kireç ilave edilir. Kireç ilave edilmesinin nedeni killi sudaki bikarbonatların bozunmasını ve gümüş tellürür halinde bulunan bazı tip cevherlerin özütlemesinde düzeltme sağlamaktır. PH genellikle 10-11 arasında tutulmalıdır. Kireç yerine NaOH veya  $\text{Na}_2\text{CO}_3$  kullanılabilir(21).

(5) nolu reaksiyondan da görüldüğü gibi, çözelti ortamındaki oksijenin siyanür özütlemesinde oldukça önemli bir rolü vardır. Geçmişte  $\text{H}_2\text{O}_2$  ,  $\text{KMnO}_4$  ,  $\text{Br}_2$  ve  $\text{Cl}_2$  gibi yükseltgenler kullanılmış fakat bu maddelerin fiyatlarının yüksek olusundan dolayı kullanılmalarından vazgeçilmiştir. Çözeltinin oksijen miktarı ile aktivitesi arasında optimum bir uygunluk ancak yaklaşık  $85^\circ\text{C}$  de sağlanır. Fakat öztleme pülpünün ısıtılması, maliyetin artmasına neden olduğundan ve artan  $\text{CN}^-$  sarfiyatı ile birlikte bozulması ve cevher ve konsantrelerde bulunan ve siyanistler adı verilen siyanür harcayıcılar özütleme çözeltisindeki  $\text{CN}^-$  iyonlarının kaybına neden olurlar. Bu siyanür harcayıcılar; nötral asitler (karbonik ve humik asit); sülfatlar ve arsenatlar gibi siyanür çözücü tuzlar; demir(III) tuzları ve bakır, çinko, arsenik ve antimonun yük-

seitgen bileşikleri ve tiyosiyosiyanat oluşturan bazı kükürt bileşikleridir(21).

#### 1.4.5.3. Yığın Özütlemesi

Düşük tenörlü (1-3 g Au/t) oksit cevherlerinin yığın özütlemesinde önemli gelişmeler kaydedilmiştir. Günümüzde A.B.D.'nin batısında ve güney-batısında günlük kapasitesi 100-18000 ton olan seksenden fazla küçük işletme vardır(21).

Pratikte, kırılmış veya kırılmamış cevher düzgün bir yüzey üzerine yerleştirilir. Cevher boyutuna, yüksekliğine ve cevherin yapısına bağlı olarak 30-150 gün süreyle perkolasyon yöntemi ile özütleme işlemi yapılır. Yığın özütleme yöntemi ile altın genellikle % 60-80 oranında kazanılır(21).

Düşük konsantrasyonlarda (1-10 ppm) altın ihtiva eden çözeltilerden altını kazanmak için çözelti aktif karbon ile muamele edilir. Eğer çözelti yetince zenginse (1000-2000 ppm) Merril-Crowe yöntemi kullanılarak altın direkt olarak çinko tozu ile çöktürülür. 4500-7500 g Au/t C altın yüklenmiş karbon genellikle 1000-2000 ppm altın çözeltisi elde etmek için basınç ve sıcaklık altında alkollü veya alkolsüz sıcak siyanür çözeltisiyle yıkanır. Bu konstandre çözelti, Merril-Crowe veya çelik katotlar kullanılarak elektroliz edilir. Merril-Crowe yöntemiyle elde edilen çökelek veya elektroliz yoluyla elde edilen değerli metal, uygun bir yöntemle eritilir(21).

Yığın özütleme yöntemi ve bu yöntemin aglomerasyon ve siyanür tuzlaması gibi değiştirilmiş şekilleri, düşük sermaye ve çalışma fiyatına karşın, cevherin özütlendirme ile altın kazanılması(% 60-80) karıştırma(ajitasyon) özütlemesinden(% 85-90) daha düşüktür. Fakat yığın özütleme yöntemi çok uygundur. Bu yöntemin yaygın olarak kullanılmasından görüluyorki, bu yöntemin hem pratik ve ekonomik hem de düşük ve yüksek tenörlü cevherleri işlemek için artan bir şekilde kullanılmasından dolayı maden endüstri uygulamalarında bu yöntem üzerinde durulur(21).

#### 1.4.5.4. Tiyoüre Özütlemesi

Cevherlerden ve konsantrelerden altın ve gümüşün siyanür özütlemesi ile kazanılması, dünyanın her tarafında bu metallerin özütlemesinde kullanılan ilk yöntemdir. Son yirmi yılda yığın özütleme teknolojilerinin gelişmesi ile siyanürleştirmenin altın ihtiva eden çoğu materyaller için çok etkili ve ekonomik olduğunu göstermiştir. Fakat siyanürleştirme yönteminin bu özelleğine rağmen aşağıda belirtilen dezavantajları nedeniyle alternatif bir yöntemin geliştirilmesi gerekmektedir.

- Siyanürleştirme yönteminin en büyük dezavantajı siyanürün zehirli olmasıdır.

Siyanürün diğer bir olumsuz yönü de gümüşü çözme hızının yavaş olması ve altının çözünme hızının bazı metallerin varlığında oldukça yavaşlamasıdır. Örneğin bakır ve çinko ile anyonik kompleksler oluşturur. Böylece altının çözünmesi için gerekli siyanür miktarı azalır. Arsenik ve antimон altın için gerekli mevcut oksijeni azaltarak aynı şekilde altının çözünmesini azaltır. Pirit ve pirrohit her iki yolla altının çözünmesini inhibe eder(25).

Diğer taraftan, sert cevherler direkt siyanürleştirme işlemine uygun değildir ve siyanürleştirme için bir ön işlem gerektirir. Sert "refractory" terimi geleneksel siyanürleştirme yöntemine zayıf cevap veren cevher ve konsantreler için kullanılır(25). Bu cevher ve konsantrelerdeki sertlik hem gang minarellerinin değişiminde ve cevherde bulunan altın ve gümüşün yapısının karmaşık olmasındandır. Pratikte aşağıdaki cevher ve konsantreler sert olarak bilinir(21).

- Pirit, pirrohit ve arsenopiritin sülfür matriksinde iyi bir şekilde dağılmış altın

- Tellürürle birleşmiş altın
- Temel(Baz) metal (Pb,Cu ve Zn) sülfürlerinde bulunan altın ve gümüş
- Karbonlu metallerde bulunan altın

- Çoğunlukla kuvarsın gang matriksinde çok iyi bir şekilde dağılmış veya mangan oksitleri ile karmaşık şekilde bulunan gümüş

Sert cevher ve konsantreler, direkt siyanürleştirme işlemine tabi tutulamadıklarından dolayı bu cevher ve konsantrelerin bir ön işlemden geçmesi gereklidir(25). Örneğin, karbonlu materyaller  $\text{Cl}_2$  veya  $\text{OCl}^-$  özütlemesi ile yükseltgenir(25), piritik cevher ve konsantreler genellikle kavrulur(26,27). Ayrıca asidik çözeltilerde piritik cevherlerin bakteriyel özütlemesi(28) ve konsantrelerin basınç altında özütlendirilmesi(29) kullanılmıştır(25).

Siyanürleştirme yöntemine alternatif olarak düşünülen tiyoüre özütlemesi, ilk kez 1960 yılında Plaskin ve Kozhukhova tarafından(30) önerilmiştir(25). Bu tarihten itibaren bazı araştırmacılar metalik altın disklerinin kinetik çözümmasını(31- 33 ), cevher ve konsantreler üzerinde çalışmalar çalışmalar yapmışlardır(33-39 ).

Tiyoüre özütlemesinin siyanür özütlendirilmesinden birçok avantajı vardır. Bunlar;

- Tekstil, kağıt sanayi ve fotoğrafçılıkta kullanılan tiyoürenin insanlar için zararlı olmamasıdır(25).

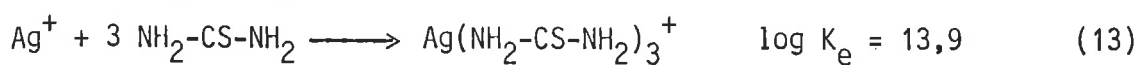
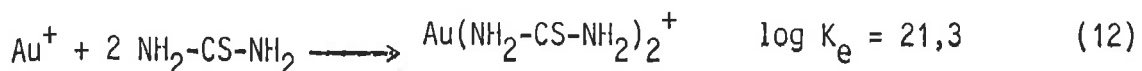
- Tiyoüre çözeltilerinde altının çözünme hızı, siyanür çözeltilerinden daha hızlıdır. Ayrıca tiyoüre safsızlık halinda bulunan metal iyonlarına siyanürden daha az hassastır. Tiyoürenin bu özelliği bazı tip cevher ve konsantreler, ayrıca asidik basınç özütlemesinin artıkları için tiyoüreyi cazip kılar(25). Genellikle direkt siyanürleştirmeye uygun olmayan Mn-Fe-Ag cevherlerinin tiyoüre özütlemesi ayrıca teknolojik ve ekonomik olanaklar sağlar(25).

- Tiyoürenin en büyük dezavantajı çok asidik çözeltiler için gerekli gereklili sarfiyatın fazla olmasından dolayı pahalı olmasındandır. Tiyoüre sarfiyatı kısmen diğer metal iyonları ile kompleksleşmesi fakat çoğunlukla yükselme sonucu bozulması nedeniyle sarfiyat yüksektir. Ayrıca  $45^{\circ}\text{C}$  nin üzerin-

deki sıcaklıklarda ve pH:5'in üzerinde bozulma işlemi hızlanır(25).

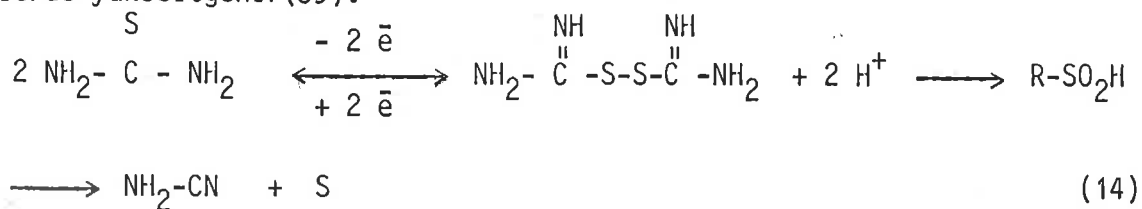
#### 1.4.5.4.1. Tiyoüre Özütlenmesinin Kimyası

Asidik çözeltilerde, tiyoüre Au, Ag, Cu, Cd, Co, Ni, Fe, Mn, Pb ve Zn ile kararlı kompleksler oluşturur. Au(I) iyonunun bilinen tiyoüre kompleksi bis-(tiyoüre)Au(I) dir. Ag(I) iyonunun tiyoüre kompleksi tris(tiyoüre)-Ag(I) dir. Bu iyonlar için kompleksleşme sabitleri aşağıda verilmiştir(25).

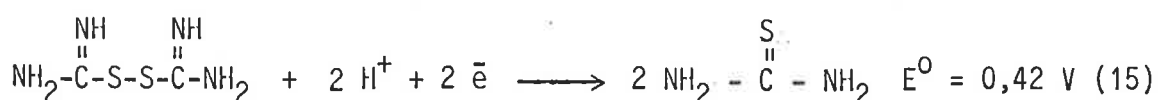


Metalik altın ve gümüş için çözünme/kompleksleşme reaksiyonlarını kolaylaştırmak için bir yükseltgen gereklidir. Bu amaçla daha önceki çalışmalarda  $\text{Fe}^{3+}$ ,  $\text{H}_2\text{O}_2$ ,  $\text{O}_2$  ve  $\text{O}_3$  gibi yükseltgenler kullanılmıştır(25,34).

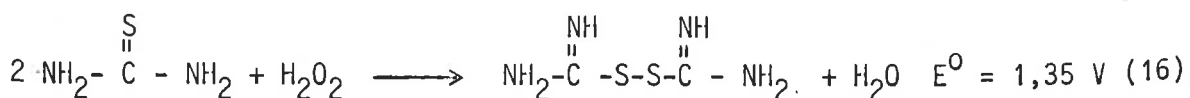
Tiyoüre bir yükseltgen eşliğinde birbirini izleyen basamaklarda çeşitli şekillerde yükseltgenir(39).



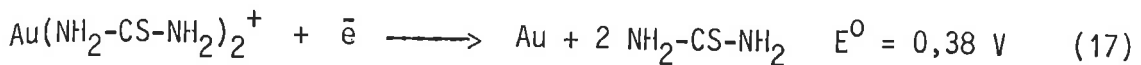
İlk aşamada formamidin disülfür ( $\text{NH}_2\text{-C-S-S-C-NH}_2$ ) oluşur. Bu tersinir reaksiyonun indirgenme elektrod potansiyeli



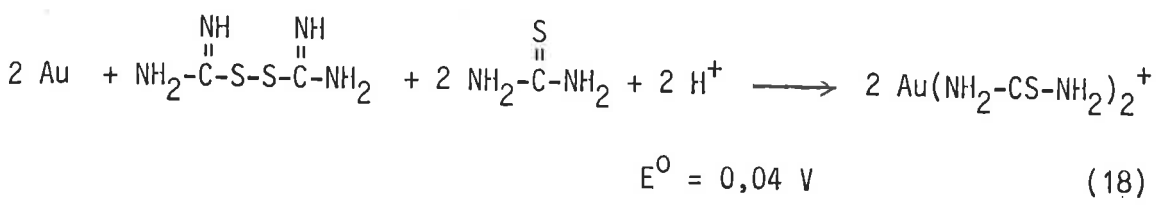
denklemi ile verilir(34). Ayrıca formamidin disülfürün altın ve gümüş için aktif bir yükseltgeyici olduğunu göstermiştir. Formamidin disülfür  $\text{H}_2\text{O}_2$  gibi yükseltgenlerin varlığında oluşur(34).



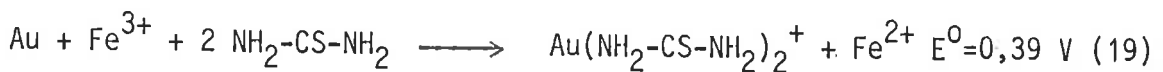
$\text{Au}(\text{NH}_2\text{-CS-NH}_2)_2^+$  kompleksinin altına indirgenme elektrod potansiyeli,



olarak verilir( 40 ). Altın için toplam çözünme/kompleksleşme reaksiyonları, (17) nolu reaksiyonun (15) nolu reaksiyondan çıkarılarak toplam reaksiyon şekilde yazılabilir(25).



Asidik çözeltilerde yükseltgen olarak  $\text{Fe}(\text{III})$  iyonu kullanıldığı zaman  $\text{FeSO}_4(\text{CS}(\text{NH}_2)_2^+$  kompleks iyonunun oluşması nedeniyle tiyoürenin yükseltgenmesi çok yavaşlar(25). Altın için çözünme/kompleksleşme reaksiyonu basitçe aşağıdaki gibi gösterilebilir.



Formamidin disülfürün aşırı yükseltgenmesi sonucu siyanamid( $\text{NH}_2\text{-CN}$ ),  $\text{H}_2\text{S}$  ve S meydana gelir. Bu reaksiyon tersinmezdir(39). Böylece yüksek yükseltgenme potansiyeline sahip yükseltgenler tiyoürenin bozunmasını hızlandırırlar.

$\text{Fe}^{3+}$  iyonu asidik çözeltilerde en hızlı öztleme kinetiği meydana getirir ve  $\text{Fe}^{3+}$  konsantrasyonunun artması ile hız artar. Yüksek konsantrasyonlarda altını şiddetli bir şekilde pasifleştirecek altının özütlenmesi hızlı bir şekilde azalır(25 ). Bu ise  $\text{Fe}^{3+}$ ün tiyoüre ile kompleks oluşturma nedeniyle tiyoüre konsantrasyonundaki azalma ile açıklanabilir. Ayrıca bunun nedeni çözelti potansiyelinin artmasından dolayı tiyoürenin bozunması ile açıklanabilir.

Tiyoürenin bozunmasını önlemek için çözeltinin potansiyelini formamidin disülfür/tiyoüre redoks potansiyelinin altında tutmak gereklidir. Bunu başarmak için Shulze  $\text{Fe}^{3+}$  iyonu ile birlikte indirgeyici bir gaz olan  $\text{SO}_2$  in kullanıl-

masını önermiştir(39). Ayrıca optimum özütleme koşullarını belirlemek için yükseltgen maddenin kararlı ve kompleksleştirici olmaması gereklidir(25).

#### 1.4.5.4.2. Tiyoüre Özütlemesinin Kinetiği

Kinetik kurallara göre, altının çözünme hızı kompleksleştirici ve yükseltgen maddenin bir fonksiyonudur. Yükseltgeyici madde  $\text{Fe}^{3+}$  ve formamin disülfürdür. Formamidin disülfürün daha etkin olduğu bulunmuştur(39).

$$\frac{dc_{\text{Au}}}{dt} = k \cdot c_{\text{TU}} \cdot c_{\text{YÜK}} \quad (19)$$

$$k_1 \cdot c_{\text{TU}} \cdot c_{\text{FD}} \quad k_1' \cdot c_{\text{TU}} \cdot c_{\text{Fe}^{3+}} \quad (20)$$

$$\frac{dc_{\text{Au}}}{dt} = k \cdot c_{\text{TU}} \cdot c_{\text{FD}} = k \cdot c_{o(\text{TU})} (1-x) \frac{x}{2} \quad (21)$$

$$\frac{dc_{\text{Au}} / dt}{dx} = 0 \quad c_{\text{TU}} = 1/2 c_{o(\text{TU})} \quad (22)$$

Burada  $c_{\text{TU}}$ : Dendedeki tiyoüre konsantrasyonu

$c_{\text{YÜK}}$  : Yükseltgenin konsantrasyonu

$c_{o(\text{TU})}$ : Tiyoürenin başlangıç konsantrasyonu

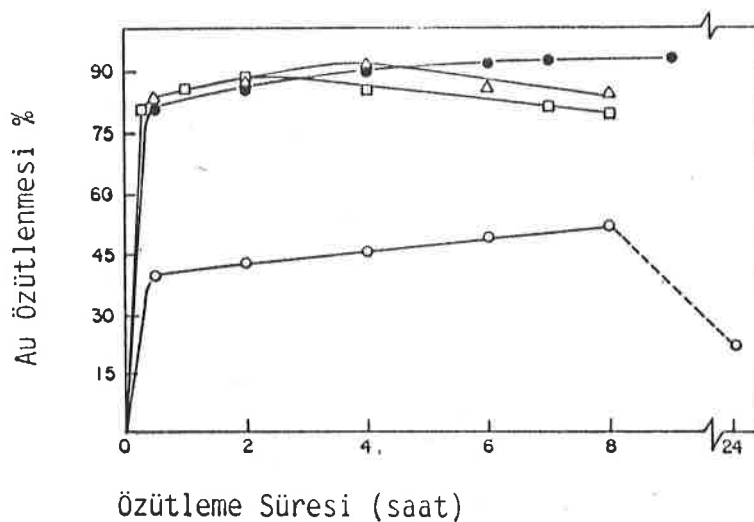
$k$  ve  $k_1$  birer hız sabitleri ve  $x$  bir dönüşüm faktöründür.

(19-22) nolu denklemlerden görüldüğü gibi basitleştirilmiş kinetik denklem, sadece tiyoürenin başlangıç konsantrasyonu( $c_{o(\text{TU})}$ ) ve tiyoürenin formamidin disülfüre yükseltgenmiş kısmını gösteren( $x$ ) dönüşüm faktörünün  $x = 1/2$  olacak şekilde  $\text{SO}_2$  ilave edilmesiyle maksimum hız denklemi türetilir. Bu basit ilişki, yüksek özütleme hızına ve düşük reaktif harcanmasına neden olacaktır(39). Pratik uygulamalarda dönüşüm faktörünü 1/2 'ye yakın tutmak için  $\text{SO}_2$  kullanılabilir.

Altının tiyoüre ile özütlenmesine tiyoüre konsantrasyonu, yükseltgeyici maddeler, pH, sıcaklık, redoks potansiyeli ve  $\text{SO}_2$  ilavesi gibi parametrelerin etkisini inceliyoruz.

#### 1.4.5.4.3. Altın Özütlemesine Tiyoüre derişiminin Etkisi

Tiyoüre derişiminin altın özütlemesine etkisi şekil 1'de verilmiştir(35).



Şekil 1. Tiyoüre Derişiminin Altın Özütlənməsinə Etkisi

$\text{Fe}^{3+}$  : 5 g/L, pH:1,0 , K/S : % 10 Kalkopirit Konsantresi

$\circ = 5$  ,  $\bullet = 10$  ,  $\Delta = 20$  ve  $\square = 30$  g tiyoüre/L, t : 30 °C

Maksimum altın özütlənməsi, 10 g tiyoüre/L derişiminde elde edilmişdir(35). Daha yüksek derişimlerde tiyoüre kararsızdır ve bozunur. Tiyoürenin sozunması sonucu meydana gelen kükürt, altın üzerinde kararlı bir filim tabakası meydana getirerek altının özütlənməsində azalmaya neden olur(35).

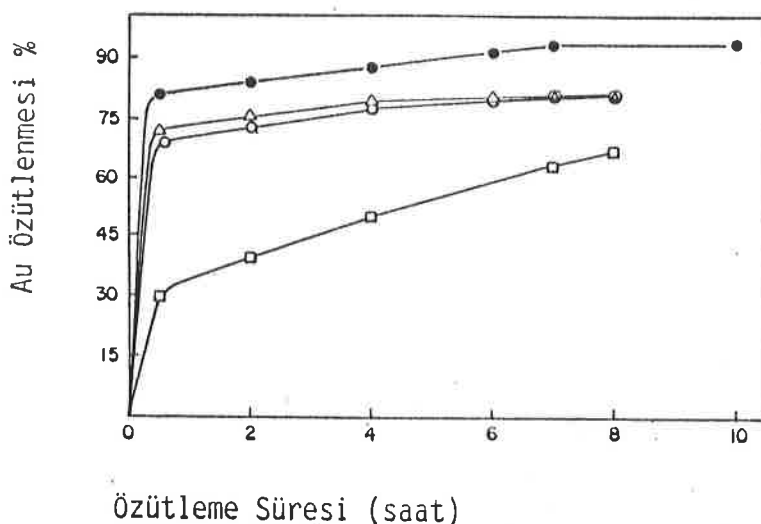
#### 1.4.5.4.4. Altın Özütlemesine Yükselgen Maddenin Etkisi

Yükselgen madde olarak  $\text{Fe}^{3+}$  ,  $\text{H}_2\text{O}_2$  ,  $\text{O}_2$  ,  $\text{KMnO}_4$  ve  $\text{KHSO}_5$  gibi yükseltgeyici maddeler kullanılmıştır(25, 34-39).

$\text{Fe}^{3+}$  iyonunun etkisi şekil 2'de verilmiştir(35).

Şekil 2'de görüldüğü gibi herhangi bir yükselgen ilave etmeksizin tiyoüre çözeltisi ile 8 saat içinde % 80 Au özütlənməsi sağlanmıştır(35).

Ayrıca belli bir miktar  $Fe^{3+}$  ilavesine karşın altın özütlenmesi artmaktadır, belli bir mikardan sonra ise azalmaktadır. Bunun nedeni tiyoürenin yükseltgenmesi sonucu, altını özütlemek için gerekli tiyoüre miktarının azalmasından kaynaklandığı belirtilmektedir(35).



Şekil 2. Tiyoüre ile Altın Özütlemesine  $Fe^{3+}$  Derişiminin Etkisi

Tiyoüre : 10 g/L , pH:1,0 , K/S : % 10 Kalkopirit Konsantresi

$t$  : 25 °C ,  $\sigma = 0$  ,  $\Delta = 2$  ,  $\bullet = 5$  ve  $\square = 8$  g  $Fe^{3+}/L$

#### 1.4.5.4.5. Redoks Potansiyelinin Tiyoüre Özütlemesine Etkisi

Farklı sistemlerdeki öztleme sistemlerinin redoks potansiyelleri, Tablo 4'de verilmiştir(35).

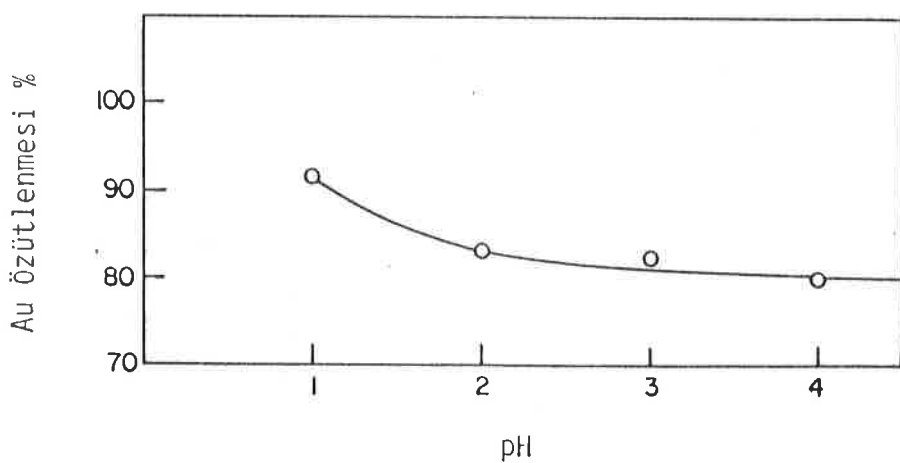
Herhangi bir ilave yapılmaksızın potansiyel belli bir değere kadar artar. Bu potansiyel değerinde tiyoürenin formamidin disülfüre yükseltgenmesi gerçekleşir. Groenawald'a göre 160 mV'da(SKE) bu yükseltgenme olayı gerçekleşir(35). - 44 mV olan referans elektrotla( $Ag, AgCl/KCl(4\text{ M})$ ) bu yükseltgenme olayı 204 mV'da gerçekleşir(35).

#### 1.4.5.4.5. PH'ın Tiyoüre Özütlemesine Etkisi

PH'ın tiyoüre özütlemesine etkisi şekil 3'de verilmiştir(35).

Tablo 4. Tiyoüre Özütlemesi Esnasında Çözeltinin Potansiyel Değişimi  
Süre : 8 saat, K/S:%10 Kalkopirit Konsantresi, t:25 °C

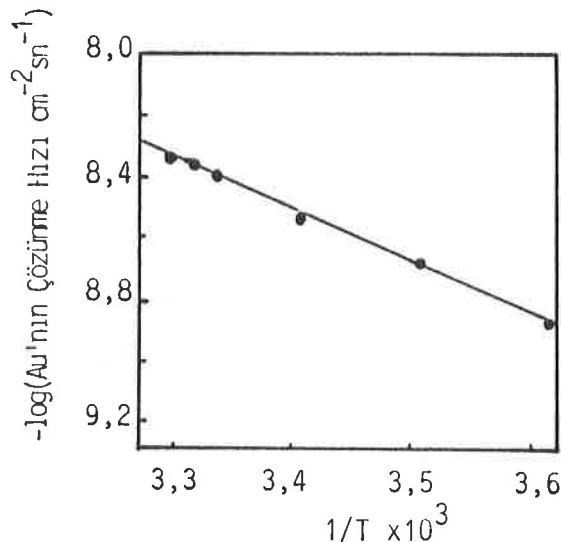
Tiyoüre g/L	Yükseltgeyici Madde	Redoks Potansiyel Aralığı Au Özütlenmesi mV, Ag,AgCl/KCl(4 M)	%
10,0	-	120 - 205	80,5
10,0	2,0 g/L $\text{Fe}^{3+}$	230 - 245	81,1
10,0	5,0 g/L $\text{Fe}^{3+}$	240 - 280	93,4
10,0	8,0 g/L $\text{Fe}^{3+}$	345 - 365	63,7
10,0	1,5 L/dk Hava	107 - 241	81,8
10,0	2,5 L/dk Hava	119 - 252	83,5
10,0	%0,50 $\text{H}_2\text{O}_2$	380 - 350	80,5
10,0	%0,25 $\text{H}_2\text{O}_2$	270 - 240	80,7
10,0	%0,10 $\text{H}_2\text{O}_2$	225 - 250	81,8
10,0	%0,05 $\text{H}_2\text{O}_2$	218 - 244	89,0
5,0	%0,10 $\text{H}_2\text{O}_2$	254 - 306	81,6
5,0	%0,05 $\text{H}_2\text{O}_2$	247 - 302	83,2
5,0	%0,025 $\text{H}_2\text{O}_2$	245 - 272	85,9



Şekil 3. Tiyoüre ile Altın Özütlemesine PH'ın Etkisi  
Tiyoüre:10 g/L,  $\text{Fe}^{3+}$ :5 g/L, t:25 °C, K/S:%10 Kalkopirit Konsantresi

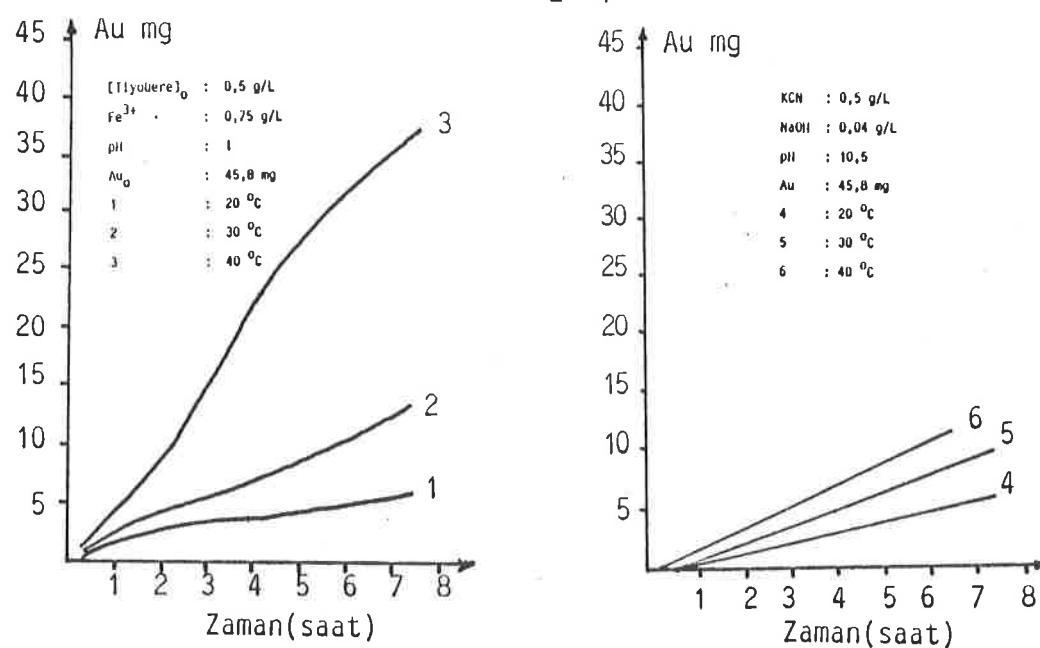
#### 1.4.5.4.6. Sıcaklığın Tiyoüre Özütlemesine Etkisi

Sıcaklığın tiyoüre özütlemesine etkisi şekil 4 ve 5 de verilmiştir(34,39). Bir kimyasal reaksiyondan beklenildiği gibi her  $10^{\circ}\text{C}$  sıcaklık artışında hız iki katına çıkar. Siyanür çözeltilerinde sıcaklığın artması ile önemli bir artış gözlenmez. Bu da sıcaklığın artması durumunda oksijenin çözünürlüğünün azalması ile açıklanır.



Şekil 4. Altının Çözünme Hızına Sıcaklığın Etkisi

Tiyoüre : 0,1 M ,  $\text{H}_2\text{SO}_4$  : 0,1 M



Şekil 5. Sıcaklığın Tiyoüre ve Siyanür Özütlemesine Etkisi

## BÖLÜM 2

## 2. ANOT ÇAMURLARININ İŞLENMESİ

Dünyanın en çok bakır üretimi, bakır sülfür konsantrelerinin eritilmesi veya bakır parçacıklarının pirometalürjik olarak işlenmesinden elde edilir. Her iki şekilde elde edilen blister bakıra safsızlıkların geçtiği bilinmektedir. Tablo 6'da bakır anotlarının(blister bakırlarının) evrensel bileşim aralığı verilmiştir(41).

Tablo 6. Bakır Anotları için Verilen Evrensel Bileşim Aralığı

Element	Bileşim Aralığı
Cu	% 98,5 - 99,8
O <sub>2</sub>	130 - 4000 ppm
Au	8 - 73 ppm
Ag	90 - 7000 ppm
Pb	7 - 4300 ppm
Se	8 - 2200 ppm
As	5 - 2700 ppm
Sb	1 - 2200 ppm
Bi	3 - 300 ppm
Te	1 - 300 ppm
Ni	90 - 6700 ppm

Bakırı tel haline getirmek ve iletkenlik özelliklerini artttırmak için bakır anotlarında bulunan safsızlıkların uzaklaştırılması gereklidir. Saf olmayan anotlardan gereken saflıkta bakır üretmek için elektroliz işlemeye başlanır. Elektroliz işleminde genellikle CuSO<sub>4</sub> - H<sub>2</sub>SO<sub>4</sub> elektroliti kullanılır. Elektroliz işlemi esnasında bazı safsızlıkların çözünmesine rağmen bazıları da

çözünmez ve elektroliz hücrelerinde anot çamuru olarak toplanır. Bu çamurlar önemli miktarda Au ve Ag çoğu zaman da Ni, Pb, As, Sb, Bi, Se ve Te gibi elementleri içerirler(41).

Farklı fabrikalarda elde edilen anot çamurlarının bileşimi tablo 7'de verilmiştir(42).

Elde edilen anot çamurları Ag, Au, Se ve Te kazanılması için genellikle işlenir. Tablo 8'de çeşitli fabrikalarda anot çamurlarının işlenmesiyle ilgili bilgiler verilmiştir(42).

Ayrıca anot çamurlarının işlenmesiyle ilgili yöntemler, bu yöntemlerin endüstriyel önemi ve uygulaması temeline göre seçilmiştir. Anot çamurlarının işlenmesi için literatürlerde belirlenen yöntemler başlıca şunlardır;

1. Sülfatlayıcı kavurma
2. Yükseltgeyici kavurma
3. Sörlü Kavurması
4.  $O_2$  Varlığında  $H_2SO_4$  ile öztleme
5. Bazik ortamda yapılan öztleme
6. Diğer yöntemler

## 2.1. Sülfatlayıcı Kavurma

Sülfatlayıcı kavurmada yükseltgen olarak hava varlığında  $H_2SO_4$  kullanılır, temel metaller sülfatlanırken selenyum ve telluryum  $SeO_2$  ve  $TeO_2$ 'e yükseltgenir. Selenyum  $SeO_2$  halinde uçurulur ve  $SeO_2$ 'i  $H_2SeO_3$ 'e dönüştüren tuzaklardan geçirilir. Bu işlemin bir avantajı kavurma esnasında meydana gelen  $SO_2$  in tuzak çözeltisindeki selenöz asidi elementel selenyma indirgemesi ve kavurma esnasında harcanan  $H_2SO_4$  in tekrar rejenere edilmesidir(42).

Autokumpu(43), selenyumun etkin bir şekilde uzaklaştırılmasını ve kazanılmasını mümkün kıلان değişik bir sülfatlayıcı kavurma yöntemi geliştirmiştir. Bu yöntemde yaş pasta haline getirilmiş bakırsız anot çamuru,  $600^{\circ}C$  de

Tablo 7. Farklı Fabrikalarda Üretilen Anot Çamurlarının Bileşimi ( % ).

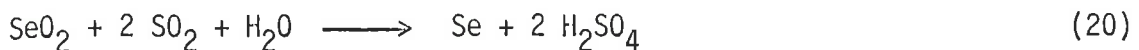
Fabrika	Cu	Ag	Au	Pt	Pd	Se	Te	As	Bi	Sb	Sn	Pb	Fe	Ni
CCR (Noranda)	18,7	19,5	0,18	-	-	10,0	1,2	1,14	0,77	1,68	-	8,0	-	0,67
Chuquicamata	27	12,0	0,07	-	-	4	-	5	-	4	-	-	-	-
Cu Refineries Pty	27	9,0	0,07	-	-	0,7	0,03	5,8	0,25	0,45	-	7,5	0,15	0,40
ER&S,Australia	13	9,0	0,10	-	0,09	5,8	0,2	1,2	0,3	0,3	5,0	31,0	-	2,0
El Salvador,Chile	5	24,0	1,4	-	-	21	-	0,7	-	3	-	-	-	-
Hibi Kyodo Co Ltd.														
Tamano Smelter	21,5	9,6	0,50	-	-	-	-	-	-	-	-	22,7	-	-
IMI Refiners, U.K.	14	5,5	0,07	0,004	0,008	2	0,6	3,5	0,5	3,5	5	22	-	9,0
Inco	21,0	6,37	0,12	-	-	8,4	1,8	0,5	0,14	0,09	-	1,7	-	17,0
Kidd Creek	26,0	12,7	0,15	-	-	19,5	0,05	0,45	0,28	0,09	-	22,0	-	0,03
Metallurgie Hoboken														
Overpelt	17,4	17,2	-	-	-	5,1	0,95	6,8	0,74	6,8	0,35	23,2	-	-
Mhangura Copper,														
Zimbabwe *	2	62	1,0	0,05	0,1	10	1,0	0,16	0,13	0,07	0,15	1,8	0,1	0,3
Minero Peru	41,0	20,0	0,04	-	-	11	1,1	-	-	-	-	-	-	-
Autokumpu *	8,5	16,8	0,3	-	-	46	-	-	-	-	-	8,0	-	5,7
Palabora	53,4	7,8	0,33	0,05	0,07	3,6	2,2	0,15	0,01	-	-	-	-	4,5
Phelps Dodge, El Paso	27,1	12,2	0,12	0,0007	0,006	8,8	3,1	1,7	-	0,66	-	4,65	0,08	0,64
Rabak,Turkey	24,7	4,8	0,11	0,0005	0,002	7,9	3,0	2,3	0,5	-	-	-	-	0,05
Sarkuyusan,Turkey	26,7	4,73	0,10	-	-	7,6	2,5	3,6	-	1,3	-	1,7	-	0,82
Southwire,Georgia	10,0	4,1	0,02	0,08	0,35	0,6	-	1,4	0,5	9,4	5,3	13,1	-	8,4

\* Bakırı alınmış anot çamurlarının bileşimidir.

Tablo 8. Bakır Fabrikalarında Anot Çamurlarının İşlenmesi

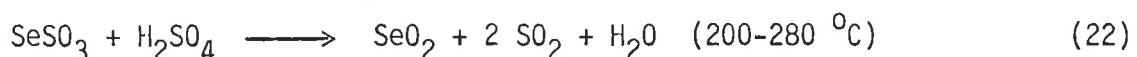
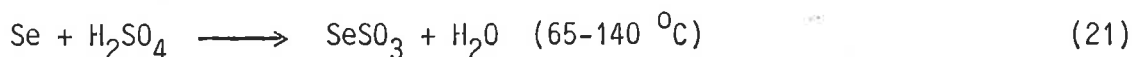
Fabrika	İşlem
ASARCO, Amarillo	Özütlenmiş çamurlar dönen bir fırında işlenir, bunu matin yükselgenmesi izler ve daha sonra Doré fırınına gönderilir.
CCR(Noranda)	Bakırı alınmış anot çamuru TBRC(Top-Blown Rotary Converter) de eritilir.
Chuquicamata	$H_2SO_4$ özütlemesi, bakırı alınmış anot çamuru Doré fırınında işlenir.
Cu Refineries Pty.	Bakırı alınmış anot çamuru değerli metalleri işleyen fabrikalarda işlenir.
ER&S, Australia	Anot çamuru Doré fırınında eritilir. Se uçucu gazlardan ve $NaNO_3$ cürüfunden kazanılır.
El Salvador, Chile	Chuquicamata ile aynı
Hibi Kyodo Co. Ltd.	Bakırı alınmış anot çamurunu işlemek üzere Takkehara Fabrikası'na gönderir.
IMI Refiners, U.K.	Çamurları işlemek üzere Ingiltere ve Avrupa'da bulunan fabrikalara gönderir.
Inco	Sülfatlayıcı özütlemeden elde edilen çamurlar Doré fırınına gönderilir.
Kidd Creek	Bakırı alınmış anot çamuru işlemek üzere fabrikalara gönderilir.
Metallurgie H-0	Havalandırma ile öztülenmiş çamurlar, kupelasyon fırınlarında işlenir.
Mhangura Copper	Bakırı alınmış anot çamuru İngiltere'de işlenir.
Minero Peru	$H_2SO_4$ özütlemesi, sülfatlayıcı kavurma ve Doré fırınında işleme.
Mitsubishi	Haoshima ve Onahama'dan sağlanan çamurlar Osaka Fabrika'sına gönderilir.
Autokumpu	Bakırı alınmış çamur, $600^{\circ}C$ de gaz sirkülasyonu olan bir fırında eritilir.
Palabora	Çamur yan ürün olarak satılır.
Phelps Dodge, El Paso	$O_2$ basıncı altında $H_2SO_4$ özütlemesi, sülfatlayıcı kavurma ve Doré fırınınde eritme işlemi.
Rabak, Turkey	Çamurlar Avrupa'da işlenir.
Sarkuyasan, Turkey	Çamurlar Avrupa'da işlenir.
Southwire, Georgia	Çamurlar işlenmez fakat satılır.

sirkülasyonu sağlayan gaz atmosferinde kavrulur.  $\text{SO}_2$  ile birlikte  $\text{O}_2$  gazı kavurucuya gönderilir ve kavurma sonucu oluşan gazlar sirkülasyon çözeltisine gönderilir(43). Burada aşağıdaki reaksiyon sonucu,  $\text{SeO}_2$  elementel seleniyuma dönüşür.

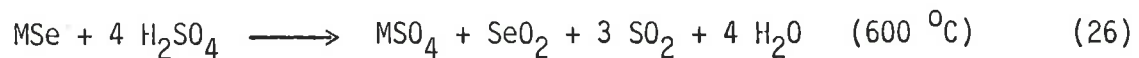


$\text{SO}_2$  miktarı sirkülasyon çözeltisinde indirgenen seleniyum miktarına bağlıdır. Bu yöntem, düşük miktarda seleniyum ihtiva eden çamurlar için uygun değildir. Autokumpu Fabrikası'nda yüksek miktarda seleniyum içeren çamurlar işlenir(42,43).

Anot çamurlarının sülfatlayıcı kavurması Ishihara(44) tarafından çalışılmıştır. Ishihara çamurları derişik  $\text{H}_2\text{SO}_4$  ile muameleye tabi tutmuş ve daha sonra hava veya azot atmosferi altında  $110\text{-}300^\circ\text{C}$  arasında ısıtılmıştır. İşlem sonucu oluşan reaksiyonlar aşağıda gösterilmiştir.



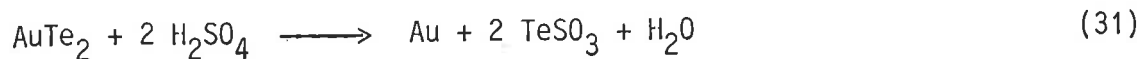
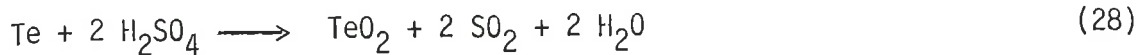
Ayrıca sülfatlayıcı kavurmada, aşağıdaki genel reaksiyona göre selenürlerin sülfatlara dönüştüğü belirtilmiştir(42,43).



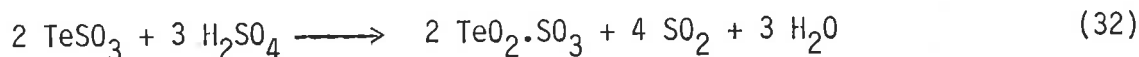
M : Metal

Tellüryum ve tellürürlerin sülfatlaştırma işlemi sıcaklığa bağlı olarak aşağıdaki aşamalardan birisi meydana gelir(45). Elementel tellüryum yaklaşık olarak  $30^\circ\text{C}$  de,  $\text{Cu}_2\text{Te}$ ,  $\text{Ag}_2\text{Te}$  ve  $\text{AuTe}_2$  ise  $150\text{-}200^\circ\text{C}$  arasında aşağıdaki denk-

İemlere göre sülfatlanır.



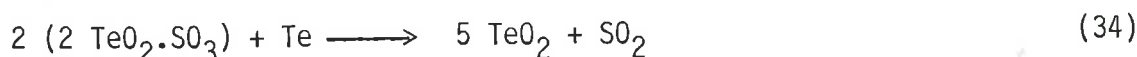
Sülfatlaştırma  $200^{\circ}\text{C}$  nin altında yavaştır ve tellüryum sülfit( $\text{TeSO}_3$ ) bazik tellüryum sülfata dönüşür.



$400^{\circ}\text{C}$  ye kadar ısıtma, bazik tellüryum süfat üzerine çok etki etmez.  $430^{\circ}\text{C}$  nin üzerindeki sıcaklıklarında bazik tellüryum sülfat bozunur.



Elementel tellür, tellüryum sülfat ile reaksiyona girdiği zaman



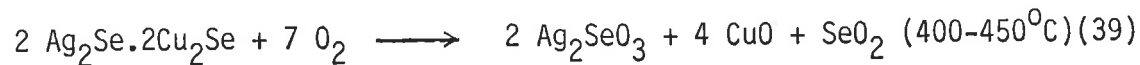
reaksiyonu gerçekleşir. Bazik tellüryum sülfatın bozunması ve  $\text{Cu}_2\text{Te}$ 'ün sülfatlaştırılması esnasında  $\text{CuTeO}_3$  meydana gelir.  $\text{CuTeO}_3$  suda çözünmez.

## 2.2. Yükseltgeyici Kavurma

Yükseltgeyici kavurmada, anot çamurunda bulunan Cu, Ni ve Te asitte çözünebilen bileşiklerine dönüştürülür. Ayrıca yükseltgeyici kavurma, anot çamurlarının  $\text{H}_2\text{SO}_4$  özütlenmesinden elde edilen bakırı alınmış anot çamurundaki selenyumu uzaklaştmak için kullanılır(42).

$\text{Ag}_2\text{Se}$ ,  $\text{Cu}_2\text{Se}$  ve  $\text{Ag}_2\text{Se} \cdot \text{Cu}_2\text{Se}$  değişik sıcaklıklarda yükseltgeyici kavurmayla tabi tutulmuştur(46). Yükseltgenme esnasında hem  $\text{SeO}_2$  hem de meydana geldiği ve  $555^{\circ}\text{C}$  nin üzerinde selenitlerin bozunarak  $\text{SeO}_2$  halinde ortamdan uzaklaşarak geriye  $\text{CuO}$  ve Ag kaldığı belirtilmiştir(46).

Aşağıda belirtildiği gibi, Ishihara(46) tarafından gözlenen reaksiyonlar sıcaklığına bağlıdır.



Her ne kadar Ishira'nın belirttiği gibi  $\text{Ag}_2\text{SeO}_3$  oluşumu istenmiyen bir durum ise de bundan ancak  $550 \text{ } ^\circ\text{C}$  nin üzerinde kavurma yapmakla sağlanır. Bu sıcaklık kritik bir sıcaklık olarak görülür, çünkü  $550 \text{ } ^\circ\text{C}$  nin üzerindeki sıcaklıklarda çamurlar eriyerek bir yumru ve kabuk meydana getirebilir bu da selenyumun  $\text{SeO}_2$  olarak uçması için gerekli gözenekli yapının kaybolmasına neden olur(42).

Loeschau(47),  $400 \text{ } ^\circ\text{C}$  de  $\text{Ag}_2\text{Se}$ 'ün hemen hemen yarısının Ag katalizör kullanılarak  $\text{Ag}_2\text{SeO}_3$ 'e dönüştüğünü, selenat ve uçucu  $\text{SeO}_2$ 'in meydana gelmediğini bulmuştur. Ayrıca bakır ve bakır oksitleri de  $\text{Ag}_2\text{Se}$ 'ün  $\text{Ag}_2\text{SeO}_3$ 'e dönüşümünü katalizler. Ag ilave edilmesi halinde katalitik etki daha da büyür.

Akışkan bir yataktaki yükseltgeyici kavurma, işlemin sürekliliğini ve sıcaklık kontrolünün daha kolay olmasını sağlar fakat kıymetli metallerin tozunun kaybına neden olur. En iyi sonuçlar birikitleme veya pellet haline getirilmiş çamurlarla sağlanır(42).  $700-800 \text{ } ^\circ\text{C}$  aralığındaki döner bir fırında grnanüler çamurların kavrulması sonucu selenyumun % 95 ten fazlası  $\text{SeO}_2$  halinde uzaklaştırılmıştır(48). Selenumu kazanmak için  $\text{SeO}_2$  buharı  $\text{NaOH}$  veya  $\text{Na}_2\text{CO}_3$  çözeltisinde tutulur.

Mitsubishi's Osaka Fabrikası  $600-800 \text{ } ^\circ\text{C}$  de kısa ve dönen bir fırında

çamurların yükseltgen kavurulmasından iyi sonuçlar elde etmişlerdir. Maksimum selenyum uçuculuğuun  $700^{\circ}\text{C}$  de gerçekleştiği belirtilmiştir(49).

Anot çamurları için kullanılan  $\text{H}_2\text{SO}_4$  özütlemesi ve yükseltgeyici kavurmayı içeren akım şeması şekil 6'da verilmiştir(42).

### 2.3. Soda Kavurması

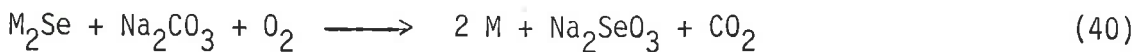
$\text{Na}_2\text{CO}_3$  ile kavurma, başlangıcta  $\text{H}_2\text{SO}_4$  ile özütlənerek bakır ve telluryumu uzaklaştırılmış anot çamurlarındaki selenyumu uzaklaştırmak için kullanılır(50,51).

Inco soda yöntemi, kavurmadan önce çamuru pelletleştirmeyi öngörür. Sülfatlaşdırma reaktöründen elde edilen çamur  $\text{Na}_2\text{CO}_3$  ve  $\text{NaHCO}_3$  ile nötralleştirilir ve yatak sıcaklığı  $80-120^{\circ}\text{C}$  olan bir pelletleştiriciye gönderilir. Pelletleşme esnasında % 10-25 nem içeren bir ürün meydana gelir. Bu elde edilen yüksek gözeneğe sahip pelletler soda ile karıştırılarak  $350-500^{\circ}\text{C}$  de kavrulur. Selenyum tamamen selenata yükseltgenir. Bu esnada  $\text{SeO}_2$  uçuculuğu yoktur(42).

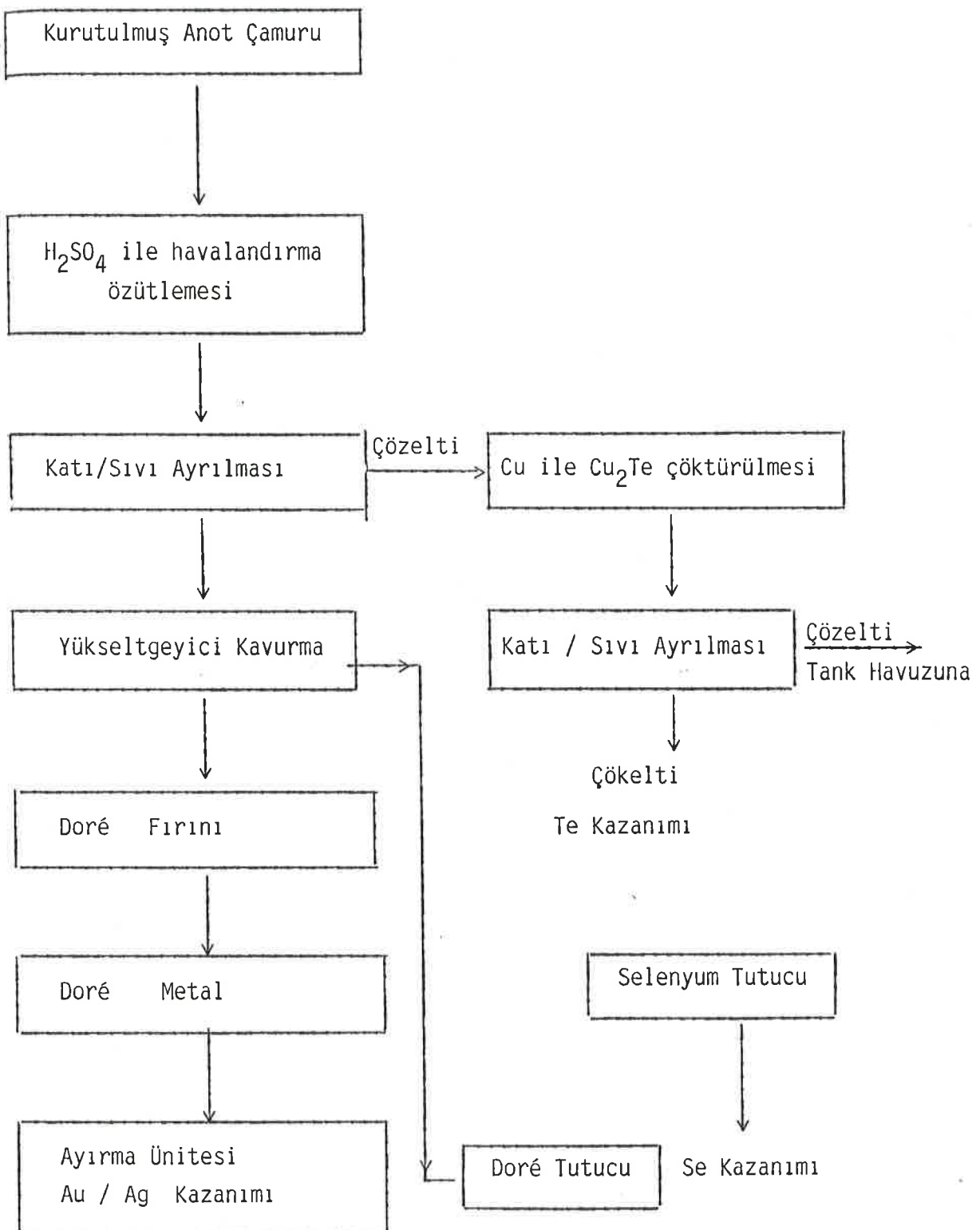
Anot çamurlarının soda ile kavrulması sonucu selenyum suda çözünebilen  $\text{Na}_2\text{SeO}_3$  ve  $\text{Na}_2\text{SeO}_4$ 'dönüşür. Her ne kadar bu yöntem gaz tutucularını gerektirmez ise de selenyumu kazanmak için selenatı indirmek gibi bir dezavantaja sahiptir.  $\text{Na}_2\text{SeO}_3$  ve  $\text{Na}_2\text{SeO}_4$  oluşumu ile sonuçlanan soda kavurmasına özgü koşullar Tishchenko ve Smirnov tarafından çalışılmıştır(52,53).

$\text{Ag}_2\text{Se}$ 'ün  $650^{\circ}\text{C}$  de  $\text{Na}_2\text{CO}_3$  ile sinterleşmesi sonucu selenyumun % 73 ü selenit, % 3 ü selenat ve % 2,4 ü  $\text{SeO}_2$  meydana geldiği belirtilmiştir. Bu sıcaklıkta  $\text{Ag}_2\text{SeO}_3$  ve  $\text{Ag}_2\text{SeO}_4$  oluşmaz.

Aşağıdaki reaksiyona göre,  $\text{Na}_2\text{CO}_3$  miktarı % 150-175 i geçmemelidir.



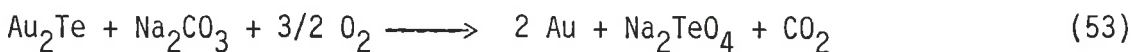
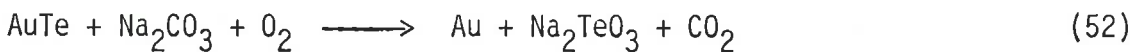
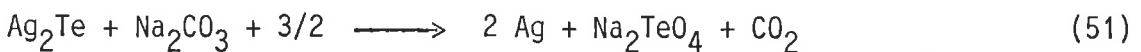
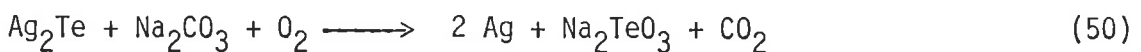
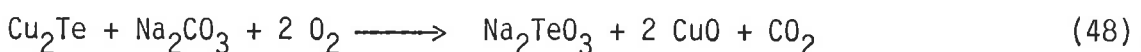
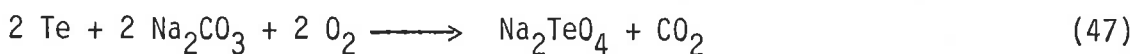
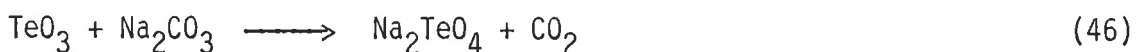
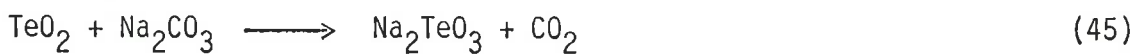
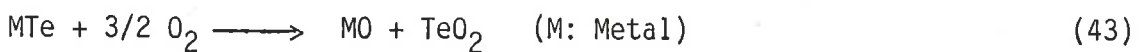
Daha fazla  $\text{Na}_2\text{CO}_3$  alınırsa, metal selenit ( $\text{MSeO}_3$ ) ve selenat ( $\text{MSeO}_4$ ) oluşmaz fakat  $\text{Na}_2\text{SeO}_3$   $\text{Na}_2\text{SeO}_4$ 'a yükseltgenir. Bundan dolayı soda kavurmasında selenürlerin davranışına sıcaklığa ve  $\text{Na}_2\text{CO}_3$  miktarına bağlıdır. Thischenko



Şekil 6. Anot Çamurları İçin Kullanılan  $H_2SO_4$  ile Özütleme ve  
Yükseltgeyici Kavurmayı İçeren Akım Şeması

ve Smirnov'a göre gümüş ve bakır selenürlerin soda kavurması için en uygun sıcak 650-700 °C dir(53).

Soda kavurması yöntemi, tellüryum ve metal tellürürlerin atmosferik oksijen varlığında ısıtılması sonucu şartlara bağlı olarak  $\text{Na}_2\text{TeO}_3$  ve  $\text{Na}_2\text{TeO}_4$  oluşumuna dayanır. Bu yöntemde karşılaşılan reaksiyonlar şunlardır;



$\text{TeO}_3$ ,  $\text{Na}_2\text{TeO}_4$  ve  $\text{CuTeO}_4$  suda çözünmez fakat  $\text{Na}_2\text{TeO}_3$  suda kolaylıkla çözünür.  $\text{TeO}_3$  kararsızdır ve 350 °C de bozunmaya başlar(45).

Altın ve gümüş tellürürleri 400-450 °C de soda ile sinterleştirildiği

zaman tellüryumun tümü  $\text{Na}_2\text{TeO}_3$ 'e yükseltgenir. Sıcaklığın daha fazla artması  $\text{Na}_2\text{TeO}_3$  ile birlikte  $\text{Na}_2\text{TeO}_4$ 'in meydana gelmesine neden olur. Çamurlarda genellikle bakır bulunduğuundan dolayı basit tellüritler yanında kompleks sodyum ve bakır tellüritler de oluşabilir(45).

Bu yöntem,  $\text{H}_2\text{SO}_4$  üreten fabrikalardan elde edilen çamurların işlenmesi için daha uygundur. Çünkü bu çamurlar bakır ihtiva etmezler ve tellüryum elementel halde bulunur. Kavurma,  $\text{Na}_2\text{TeO}_3$ 'in  $\text{Na}_2\text{TeO}_4$ 'a yükseltgenmesini önlemek için nispeten daha düşük sıcaklıklarda gerçekleştirilir(45).

Tellüryumun soda sinterleşmesinden çözeltiye geçme derecesi soda kavurması esnasında oluşan Te(IV) ve Te(VI) oranına bağlıdır. Serbest oksijen varlığında tellüryumun hemen hemen tümü Te(VI)'ya dönüşür.  $\text{CO}_2$  ve  $\text{N}_2$  atmosferinde 750 °C de tellüryumun yaklaşık % 85'i Te(IV) halindedir. İnert atmosferdeki kavurma sonucu tellüryumun Te(IV)'e dönüşmesi aşağıdaki denklemin



sağa kayması ile açıklanabilir(45).

$\text{Na}_2\text{CO}_3$  varlığında  $\text{Na}_2\text{TeO}_4$  metal tellürülerle reaksiyona girerek  $\text{Na}_2\text{TeO}_3$  oluşturur.



Benzer şekilde  $\text{Na}_2\text{SeO}_4$  da  $\text{Na}_2\text{CO}_3$ 'lu ortamda metal tellürülerle reaksiyona girer.



Aynı şekilde,  $\text{Na}_2\text{TeO}_4$ 'da  $\text{Na}_2\text{CO}_3$ 'lu ortamda metal selenürler tarafından indirgenir.



Bu reaksiyonlar tellüryum ihtiva eden çamurların kavrulmasında önemlidir(45).

#### 2.4. Oksijen Varlığında $H_2SO_4$ Özütleme

Oksijen varlığında  $H_2SO_4$  özütlemesi, anot çamurlarından bakırı uzaklaşdırma için sıcak seyreltik  $H_2SO_4$  ile süspansiyon haline getirilmiş çamurlara hava veya oksijen gönderilmesinden ibarettir(54,55). De Decker ve arkadaşı, seyreltik  $H_2SO_4$  ile havalandırmanın yüksek miktarlarda selenyum ve nikel ihtiva eden çamurlar hariç, çoğu çamurlardan bakırı uzaklaştırmak için yararlı bir yöntem olduğunu belirtmişlerdir(42). Başlangıç aşamasında çamurların derişik  $H_2SO_4$  ile direkt olarak özütlenmesi sert bakır ve nikel bileşiklerinin çözünmesine neden olur.

Morrison (56), oksijen basıncı altında  $H_2SO_4$  özütlemesi ile tellüryum % 85'ten fazlasının çözeltiye alındığını ve çözeltiye geçen tellüryumun bakır plakalar kullanarak  $Cu_2Te$  halinde çöktürülebileceğini belirtmiştir.

Yüksek miktarlarda nikel ihtiva eden çamurları işlemek için Inço, çamurların derişik  $H_2SO_4$  ile temasını sağlayan bir sülfatlayıcı reaktör tasarlamıştır. Bakır ve nikel sırayla % 98 ve % 95 oranında, selenyum ve tellüryumun az bir miktarının çözündüğünü bulmuşlardır. Artığın su ile özütlenmesinden sonra selenyum ve tellüryum çözeltiden bakır ile çöktürülerek ayrılır. Arta kalan selenyum daha sonra kavurma veya Doré fırını işleminden geçirilir(42).

#### 2.5. Bazık Ortamda Yapılan Özütleme

##### 2.5.1. Basınç Altında NaOH ile Özütleme

Çamurların ilk aşamada basınç altında NaOH ile özütlenmesi selenyumun çözünmesini sağlar. Bakır ve tellüryum ikinci bir özütleme aşamasında uzaklaştırılır. Basınç altında NaOH özütlemesi, Canadian Copper Refineries (CCR) tarafından selenyum ve tellüryumca zengin çamurlar için pilot tesisler gerçekleştirilmiştir(42). Ayriaca basınç altında NaOH özütlemesi başka araştırmacılar tarafın çalışılmıştır(56-58).

Bu yöntemin dezavantajı, işlem esnasında selenyumun bir kısmının  $\text{Na}_2\text{SeO}_4$  a yükseltgenmesidir. Bu da ikinci bir selenyum indirgenmesine ihtiyaç gösterir. Selenyumun basınç altında  $\text{NaOH}$  özütlemesi ile kazanılmasının en büyük dezavantajı, bu yöntemin endüstriyel ölçüde kullanılamamasıdır.

### 2.5.2. $\text{NH}_3$ ile Özütleme

Hidrometalürjik olarak, anot çamurunda bulunan değerli metalleri safsızlıklarından ayırmak için  $\text{NH}_3$  özütlemesi kullanılabilir. Yüksek miktarlarda kurşun içeren anot çamurları için Tan ve Bedard basınç altında  $\text{NH}_3$  özütlemesini geliştirmiştir(42).

% 14 Ag, % 20 Cu, % 22 Pb ve % 27 Se ihtiva eden çamurun  $\text{NH}_3$ 'lı  $(\text{NH}_4)_2\text{CO}_3$  çözeltisi ile 3,5 atm. oksijen basıncı altında  $75^{\circ}\text{C}$  de özütlenmesi sonucu, bakırın % 99,5, selenyumun % 65 ve gümüşün % 1 oranında çözündüğü belirtilmiştir. Gümüşün daha yüksek oranında özütlenmesi, ancak daha yüksek sıcaklık, basınç ve daha uzun sürelerde özütlenmesiyle gerçekleştirilebilir. Özütlenen selenyum,  $\text{Ag}_2\text{Se}$  ve  $\text{PbSeO}_3$  olarak bulunur.

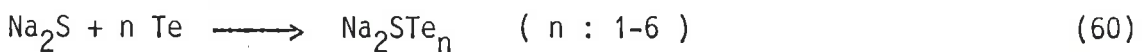
## 2.6. Diğer Yöntemler

### 2.6.1. Sülfür Yöntemi

Sülfür yöntemi, elementel tellüryum,  $\text{TeO}_2$  ve  $\text{Te(OH)}_4$  halinde bulunan materyallerin işlenmesinde kullanılır.

Elementel tellüryum ihtiva eden materyaller  $\text{Na}_2\text{S}$  çözeltisi ile muamele edilir. Tellüryum, sodyum tellürosülfür ( $\text{Na}_2\text{STe}_4$ ) şeklinde özütlenir. Eğer ortamda elementel kükürt varsa sodyum polisülfür ( $\text{Na}_2\text{S}_x$ ) oluşabilir.

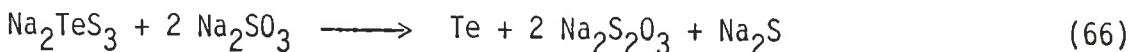
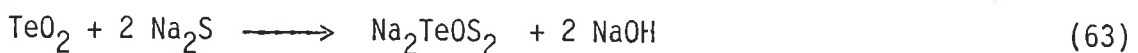
Tellüryum ve selenyumun  $\text{Na}_2\text{S}$  çözeltisi ile reaksiyon mekanizması,



denklemleri ile ifade edilebilir.

Tellüryum ve selenyumun  $\text{Na}_2\text{S}$  de çözülmesinden sonra çözeltinin saflaştırılması, çözeltiye hava püskürtülmesiyle yapılır. Selenyum ve kükürtün bir kısmı çöker bu esnada tellüryum çözeltide kalır. Çözeltide bulunan tellüryumun reaksiyon mekanizması belirgin değildir.  $\text{Te(IV)}$ ,  $\text{Na}_2\text{TeO}_2\text{S}$ ,  $\text{Na}_2\text{TeOS}_2$  ve  $\text{Na}_2\text{TeS}_3$  tipinde bileşikler oluşturarak yükseltgenir(45).

Sülfür yöntemi,  $\text{TeO}_2$  ihtiva eden materyallerin işlenmesinde bile kullanılabilir.  $\text{Na}_2\text{S}$  yükseltgenmiş tellüryum bileşikleri ( $\text{Te(IV)}$ ) için iyi bir çözücüdür ve  $\text{Na}_2\text{SO}_3$  ilave edilmesi ile tellüryum, elementel halde çöktürülerek çözeltiden ayırdedilebilir. Bu esnada selenyum çözeltide kalır.



Tellüryum ihtiva eden materyalin 175-310 g/L  $\text{Na}_2\text{S}$  çözeltisi ile özütlenmesi sonucu tellüryumun % 93'ü çözeltiye alınabilir.  $\text{Na}_2\text{S}$  sarfiyatı 5-6 kg /  $\text{Na}_2\text{S}$  / kg tellüryumdur. Daha yüksek  $\text{Na}_2\text{S}$  konsantrasyonlarında polisülfürlerin oluşması nedeniyle bir sonraki işlemde tellüryumun çökmesinde güçlükler neden olur(45).

Tellüryumun sülfür-sülfit özütlenme yöntemi ve saflaştırılması tellüryum ihtiva eden çamurlara uygulanabilir.

### 2.6.2. Kombine Yöntemler

Bu yöntemde, daha önce belirtilen yöntemlerden bir veya birkaççı bir arada uygulanır.

## BÖLÜM 3

## DENEL KISIM

## 3.1. Materyal ve Yöntem

Bu çalışmada kullanılan anot çamuru ve  $400^{\circ}\text{C}$  de kavrulmuş anot çamuru Kırıkkale Pirinç Fabrikası'ndan temin edilmiştir. Ham anot  $0,18\text{ M H}_2\text{SO}_4$  çözeltisi ile yıkandıktan sonra, çözünen bakır bileşikleri çözeltiye alınmış, çözeltiye bakır geçmeyinceye kadar işleme devam edilmiş ve daha sonra su ile yıkandıktan sonra  $110^{\circ}\text{C}$  de kurutulmuştur.

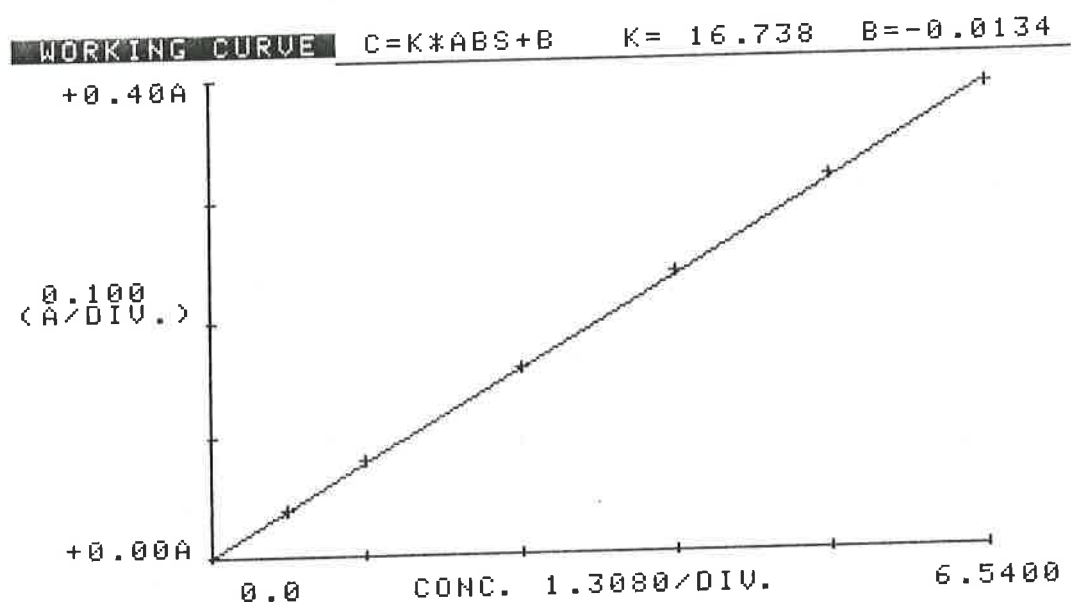
Bakır analizleri iyodometrik(59-61) ve atomik absorbsiyon spektrofotometresi ile, selenyum ve tellüryum analizleri gravimetrik(62), gümüş ve altın analizleri ise atomik absorbsiyon spektrofotometresi ile yapılmıştır. Bu amaçla Varian Techtron 1200 model Atomik Absorbsiyon Spektrofotometresi kullanılmıştır.

Atomik absorbsiyon spektrofotometresi ile yapılan analizler tablo 6'da gösterilen koşullarda gerçekleştirilmiştir.

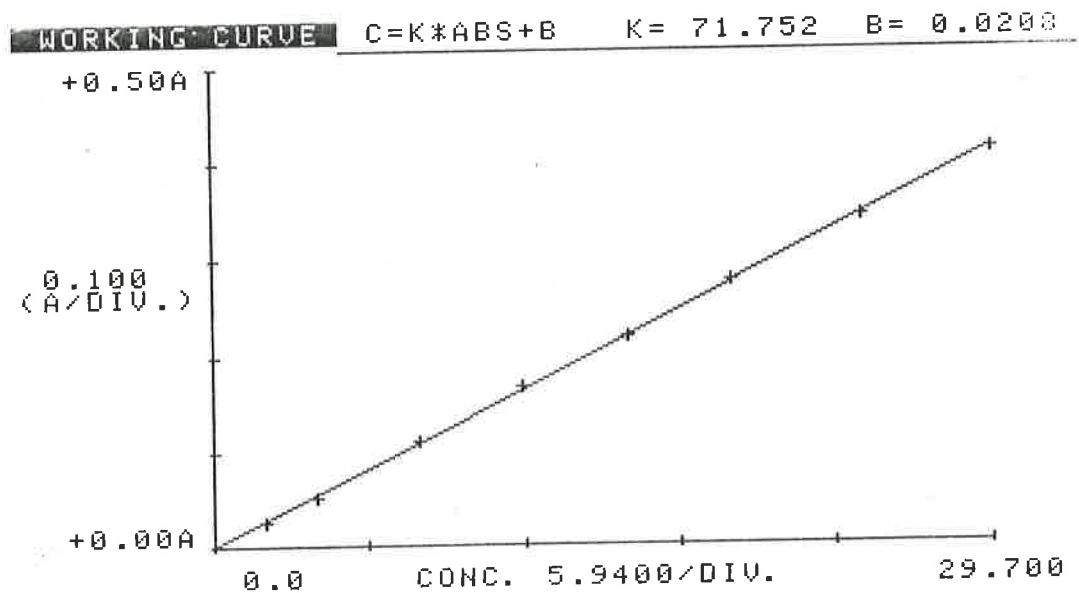
Tablo 6. Atomik Absorbsiyon ile Yapılan Analizlerin  
Geçekleştirildiği Koşullar

Element	Dalga Boyu nm	Slit Aralığı nm	Akım Şiddeti mA	Alev
Cu	327,4	0,2	3	Hava-Asetilen
Ag	328,1	0,2	3	Hava-Asetilen
Au	242,8	0,2	4	Hava-Asetilen

Kalibrasyon eğrileri şekil 7 ve 8'de verilmiştir.



Şekil 7. Gümüş Çözeltileri İçin Verilen Kalibrasyon Eğrisi



Şekil 8. Altın Çözeltileri İçin Verilen Kalibrasyon Eğrisi

Böylece elde edilen ham anot çamuru ve  $400^{\circ}\text{C}$  de kavrulmuş anot çamurunun analiz sonuçları tablo 9'da verilmiştir.

Tablo 7. Anot Çamurlarının Analiz Sonuçları

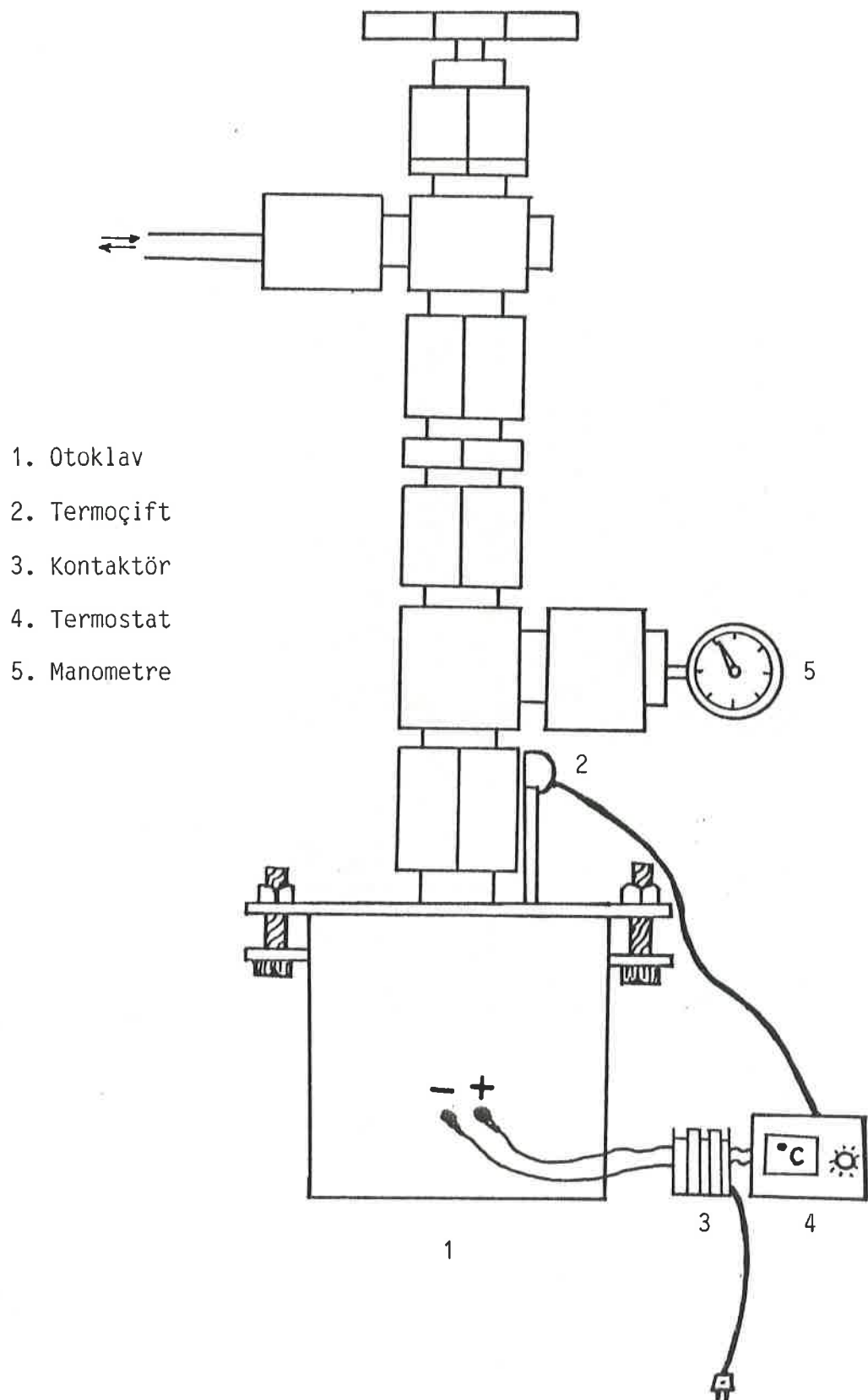
Numune	% Cu	% Se	% Te	% Ag	% Au
Ham Anot Çamuru	28,0	15,5	2,1	7,9	0,37
400 $^{\circ}\text{C}$ de Kavrulmuş					
Anot Çamuru	47,0	13,5	0,8	3,5	0,24

Tiyoüre analizleri difenilkarbazit eşliğinde  $0,05 \text{ M Hg}(\text{NO}_3)_2$  ile titre edilerek yapılmıştır(25,34).

Basınç altında yapılan deneyler, 1,8 L iç hacimli otoklavda gerçekleştirilmiş olup, sıcaklık kontrolü Ni-Cr-Ni termoçifti ve NEL-TS 1351 marka termostatla gerçekleştirılmıştır. Deney düzeneği şekil 9'da verilmiştir.

Öztleme deneyleri 250 ml iç hacimli dört boyunlu jaketli bir reaktörde gerçekleştirilmiş olup, pH ölçümleri NEL - 890 marka pH metre ile yapılmıştır. Sabit sıcaklık sağlamak için Frigomix 1495 marak termostat kullanılmıştır. Deney düzeneği şekil 10'da verilmiştir:

Deneylerde kullanılan kimyasal maddeler tablo 7'de verilmiştir.



Şekil 9. Basınç Altında Yapılan Deneylerin Gerçekleştirildiği  
Otoklav



Şekil 10. Öztleme İşlemlerinin Yapıldığı Deney Düzeneği

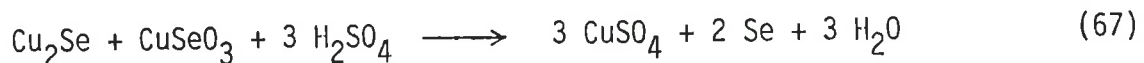
Tablo 8. Deneylerde Kullanılan Kimyasal Maddeler

Kimyasal Madde	Firma	Katalog No
NaAuCl <sub>4</sub> . 2 H <sub>2</sub> O	B D H	30125
AgNO <sub>3</sub>	Merck	1512
SeO <sub>2</sub>	Merck	800653
TeO <sub>2</sub>	Merck	12356
Tiyoüre	Merck	804136
Difenil Karbazit	Merck	3091
Fe(NO <sub>3</sub> ) <sub>3</sub> . 9 H <sub>2</sub> O	Merck	3883
Aktif Kömür	Merck	2183
H <sub>2</sub> SO <sub>4</sub>	Merck	713
H <sub>2</sub> SO <sub>4</sub>	Fluka	84721
HNO <sub>3</sub>	Merck	456
HNO <sub>3</sub>	Fluka	84382
Na <sub>2</sub> SO <sub>3</sub>	Merck	6657
Na <sub>2</sub> S	Merck	6638
NH <sub>3</sub>	Merck	5432
HCl	Merck	317

### 3.2. Deneyler

#### 3.2.1. Anot Çamurundan Bakırın Kazanılması

Daha önceki çalışmalarında(63) aşağıdaki reaksiyon denklemine göre



çamurların ihtiva ettiği selenyuma eşdeğer miktarda ham anot çamuru,  $400^{\circ}\text{C}$  de kavrulmuş anot çamuru alınarak üzerine eşdeğer miktarın beş katı  $\text{H}_2\text{SO}_4$  ilave edildi.  $350^{\circ}\text{C}$  de 6 atm  $\text{N}_2$  basıncı altında 1 saat tutulmasıyla (67) nolu reaksiyon gerçekleştirilmiştir. Deney sonucunda otoklavdan çıkarılan numune saf su ile yıkanarak bakır  $\text{CuSO}_4$  halinde çözeltiye alınmıştır. Çözeltiye geçen bakır miktarı çamurlarda bulunan toplam bakırın % 99,5'ine karşılık geldiği,  $\text{SeO}_3^{2-}$  ve  $\text{Ag}^+$  iyonlarının geçmediği kalitatif olarak saptanmıştır. Bu şekilde elde edilen bakırı alınmış anot çamuru,  $110^{\circ}\text{C}$ 'de kurutulmuştur.

#### 3.2.1. Bakırı Alınmış Anot Çamurunun Tiyoüre Çözeltisi ile Özütlenmesi

Deney 3.2.1. den elde edilen bakırı alınmış anot çamuru tiyoüre özütlemesine tabi tutulmuştur.

Deney Koşulları:

Bakırı alınmış anot çamuru : 20,0000 g

Tiyoüre çözeltisinin hacmi : 200 ml

Tiyoüre çözeltisinin derişimi : 10,0 g/L

pH : 1,0

Sıcaklık :  $30^{\circ}\text{C}$

Deney sonuçları tablo 9'da verilmiştir.

Tablo 9. Bakırı Alınmış Anot Çamurunun Tiyoüre Çözeltisi ile Özütlenmesi Sonucu Çözeltiye Geçen Au ve Ag Miktarları

Özütleme Süresi Saat	Özütleme Verimi %	
	Au	Ag
0,5	-	-
1,5	-	-
2,5	-	-
3,5	-	-
5,0	-	-

### 3.2.2. Bakırı Alınmış Anot Çamurunun Tiyoüre Çözeltisi ile Özütlenmesi

Deney Koşulları:

Bakırı alınmış anot çamuru : 20,0000 g

Tiyoüre çözeltisinin hacmi : 200 ml

Tiyoüre çözeltisinin derişimi: 10,0 g/L

pH : 1,0

Sıcaklık : 40 °C

Deney sonuçları tablo 10'da verilmiştir.

Tablo 10. Bakırı Alınmış Anot Çamurunun Tiyoüre Çözeltisi ile Özütlenmesi sonucu Çözeltiye Geçen Au ve Ag Miktarları

Özütleme Süresi Saat	Özütleme Verimi %	
	Au	Ag
0,5	-	-
1,5	-	-
2,5	-	-
3,5	-	-
5,0	-	-

### 3.2.4. Bakırı Alınmış Anot Çamurunun Tiyoüre Çözeltisi ile Özütlenmesi

#### Deney Koşulları

Anot Çamuru : 20,0000 g

Tiyoüre çözeltisinin hacmi : 200 ml

Tiyoüre çözeltisinin derişimi: 10,0 g/L

$\text{TeO}_2$  miktarı : 0,25 g

pH : 1,0

Sıcaklık : 40 °C

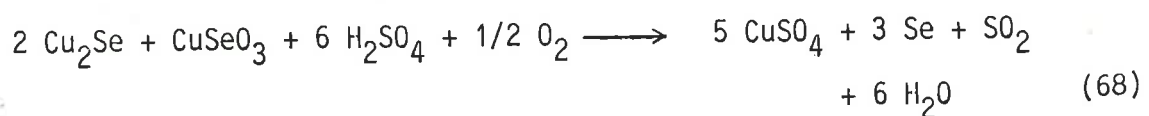
Deney sonucu çözeltiye geçen Au ve Ag miktarları Tablo 11'de verilmişdir.

Tablo 11. Bakırı Alınmış Anot Çamurunun Tiyoüre Çözeltisi ile Özütlenmesi

Özütleme Süresi Saat	Özütleme Verimi %	
	Au	Ag
0,5	-	-
1,5	-	-
2,5	-	-
3,5	-	-
5,0	-	-

### 3.2.5. Anot Çamurundan Bakırın Kazanılması

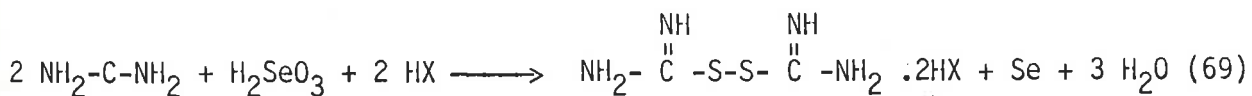
Daha önceki çalışmalarda(59)



belirtilen meksimum koşullar gözönüne alınarak (68) nolu denkleme göre; anot çamurlarında bulunan selenyuma eşdeğer miktarda ham anot çamuru,  $400^{\circ}\text{C}$  de kavrulmuş anot çamuru karıştırılarak üzerine ham anot çamuru ve  $400^{\circ}\text{C}$  de kavrulmuş anot çamuru içerisindeki toplam selenyuma karşılık gelen miktarın 5,5 katı  $\text{H}_2\text{SO}_4$  ilave edildi.  $220^{\circ}\text{C}$  sıcaklıkta 8 atm  $\text{O}_2$  basıncı altında 1 saat otoklavda tutuldu. Daha sonra otoklavdan çıkarılan numune saf su ile yıkandıktan sonra bakır  $\text{CuSO}_4$  halinde çözeltiye alındı. Bakırı alınmış anot çamuru  $110^{\circ}\text{C}$  de kurutularak -100 mesh altına öğütüldü. Bundan sonraki öztleme deneylerinde bu bakırı alınmış anot çamuru kullanıldı.

Literatürlerde yükseltgen olarak genellikle  $\text{Fe}^{3+}$ ,  $\text{H}_2\text{O}_2$ ,  $\text{O}_3$ ,  $\text{KHSO}_5$  ve  $\text{KMnO}_4$  gibi yükseltgen maddeler kullanıldığı belirtilmektedir.

Bu deneylerde yukarıda belirtilen yükseltgenler dışında



reaksiyonundan esinlenerek(64) ve anot çamurunda bulunan selenyumdan yaranmak için  $\text{SeO}_2$  kullanılmıştır.

### 3.2.6. Bakırı Alınmış Anot Çamurunun Tiyoüre Çözeltisi ile Öztleşmesi

Deney Koşulları:

Bakırı alınmış anot çamuru : 20,0000 g

Tiyoüre çözeltisinin hacmi : 200 ml

Tiyoüre çözeltisinin derişimi : 10,0 g/L

$\text{SeO}_2$  miktarı : 0,3000 g

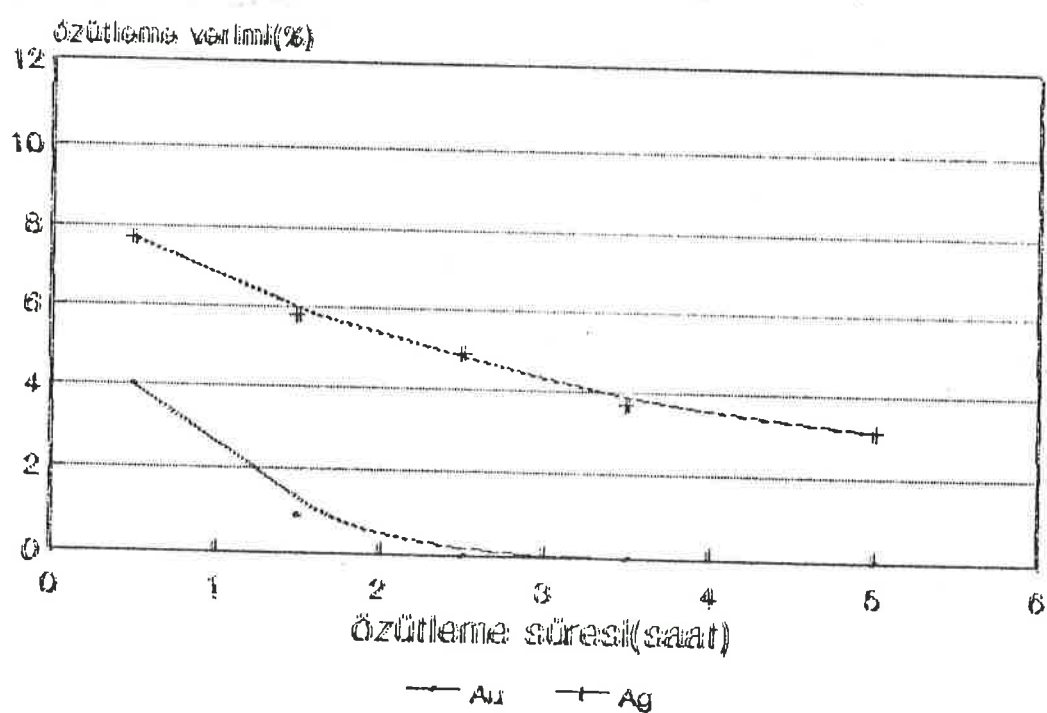
pH : 2,0

Sıcaklık :  $30^{\circ}\text{C}$

Deney sonucu çözeltiye geçen Au ve Ag miktarları tablo 12 ve Şekil 11 de verilmiştir.

Tablo 12. Bakırı Alınmış Anot Çamurunun Tiyoüre Çözeltisi ile Özütlenmesi

Özütleme Süresi Saat	Özütleme Verimi %	
	Au	Ag
0,5	4,0	7,7
1,5	0,9	5,8
2,5	-	4,9
3,5	-	3,7
5,0	-	3,1



Şekil 11. Özütleme Süresinin Au ve Ag Verimine Etkisi

### 3.2.7. Bakırı Alınmış Anot Çamurunun Tiyoüre Çözeltisi ile Özütlenmesi

Deney Koşulları:

Bakırı alınmış anot çamuru : 20,0000 g

Tiyoüre çözeltisinin hacmi : 200 ml

Tiyoüre çözeltisinin derişimi : 10,0 g/L

$\text{SeO}_2$  miktarı : 0,5000 g

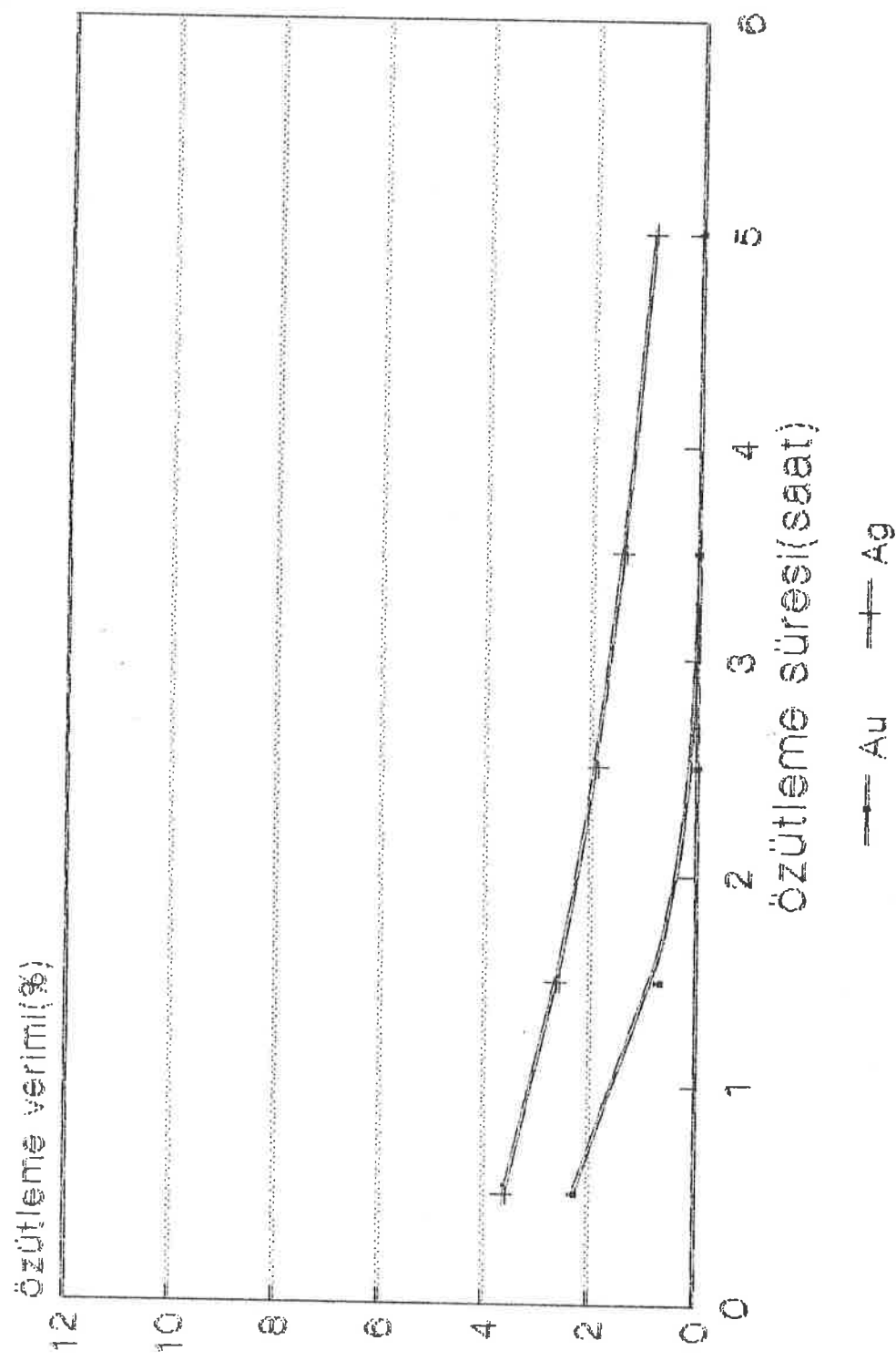
pH : 2,0

Sıcaklık : 30 °C

Deney sonucu çözeltiye geçen Au ve Ag miktarları tablo 13 ve şekil 12 de verilmiştir.

Tablo 13. Bakırı Alınmış Anot Çamurunun Tiyoüre Çözeltisi  
ile Özütlenmesi

Özütleme Süresi Saat	Özütleme Verimi %	
	Au	Ag
0,5	2,3	3,6
1,5	0,7	2,6
2,5	-	1,9
3,5	-	1,4
5,0	-	0,9



Sekil 12. Özütleme Süresinin Au ve Ag Verimine Etkisi

### 3.2.8. Bakırı Alınmış Anot Çamurunun Tiyoüre Çözeltisi ile Özütlenmesi

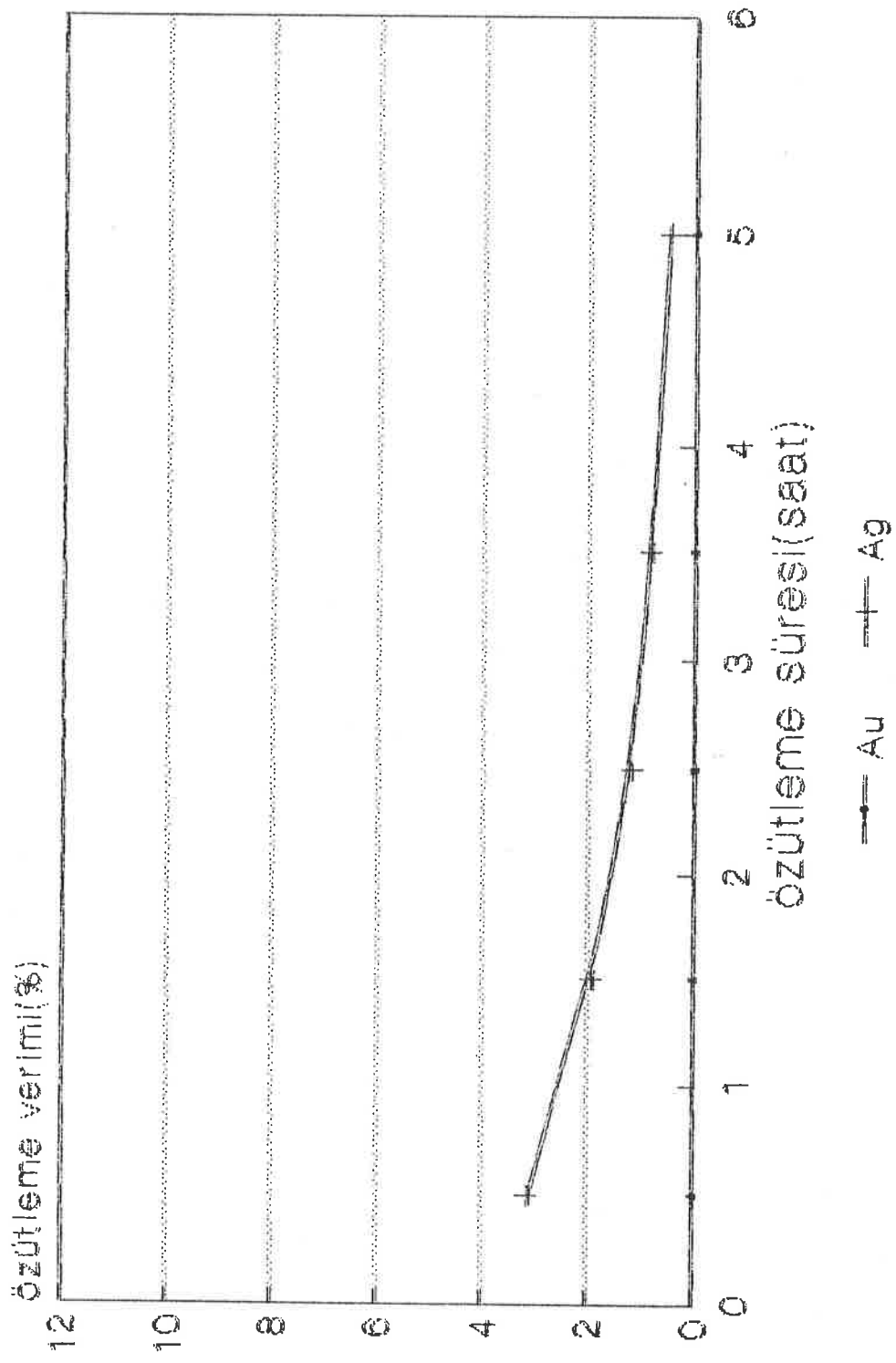
Deney Koşulları:

Bakırı alınmış anot çamuru : 20,0000 g  
 Tiyoüre çözeltisinin hacmi : 200 ml  
 Tiyoüre çözeltisinin derişimi : 10,0 g/L  
 $\text{SeO}_2$  miktarı : 0,7000 g  
 pH : 2,0  
 Sıcaklık : 30 °C

Deney sonucu çözeltiye geçen Au ve Ag miktarları tablo 14 ve şekil 13 de verilmiştir.

Tablo 14. Bakırı Alınmış Anot Çamurunun Tiyoüre Çözeltisi ile Özütlenmesi

Özütleme Süresi Saat	Özütleme Verimi %	
	Au	Ag
0,5	-	3,1
1,5	-	1,9
2,5	-	1,2
3,5	-	0,8
5,0	-	0,5



Şekil 13. Özütleme Süresinin Au ve Ag Verimine Etkisi

### 3.2.9. Bakırı Alınmış Anot Çamurunun Tiyoüre Çözeltisi ile Özütlenmesi

Deney Koşulları:

Bakırı alınmış anot çamuru : 20,0000 g

Tiyoüre çözeltisinin hacmi : 200 ml

Tiyoüre çözeltisinin derişimi : 10,0 g/L

$\text{SeO}_2$  miktarı : 1,0000 g

pH : 2,0

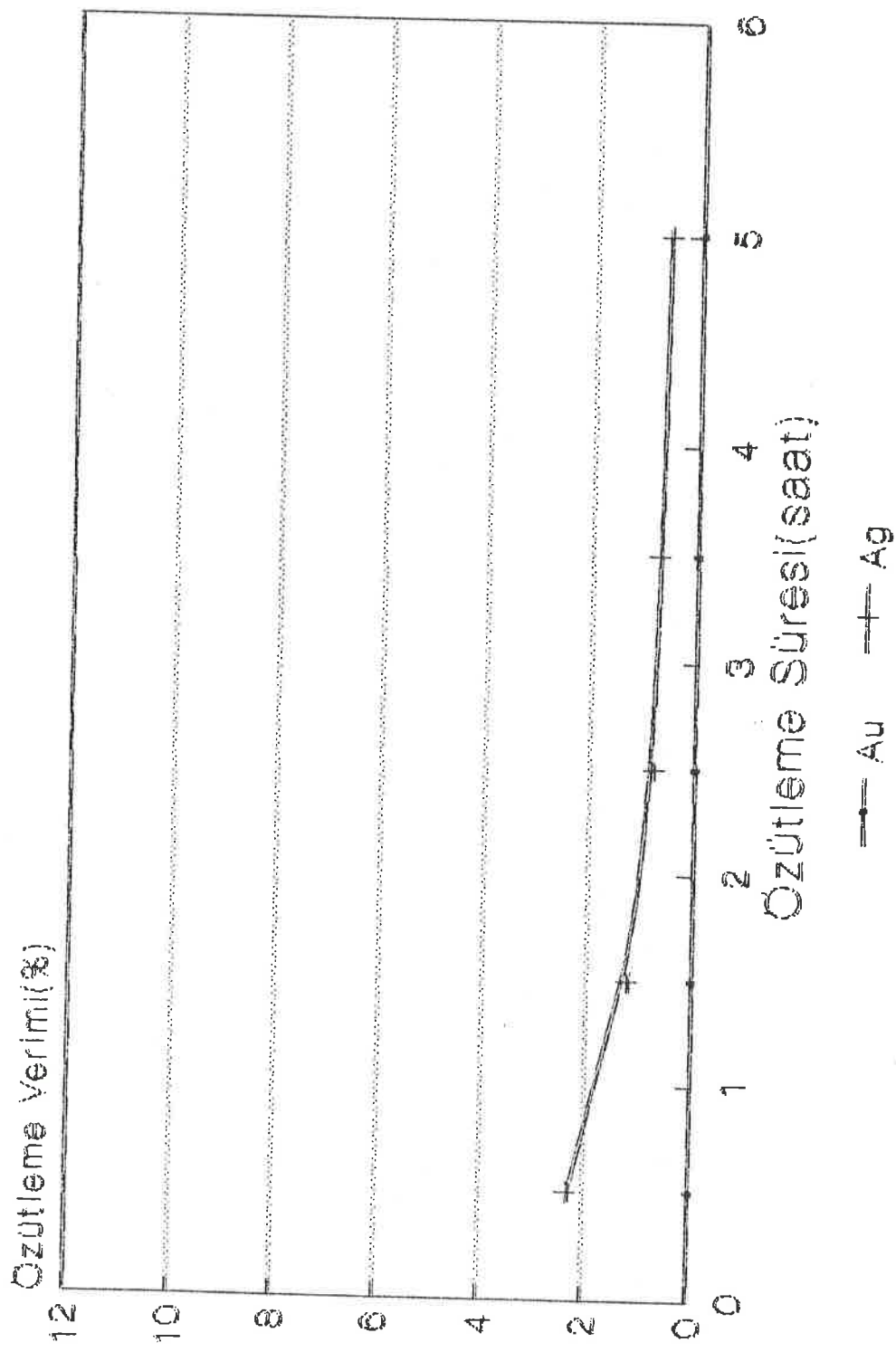
Sıcaklık : 30 °C

Deney sonucu çözeltiye geçen Au ve Ag miktarları tablo 15 ve şekil 14 te verilmiştir.

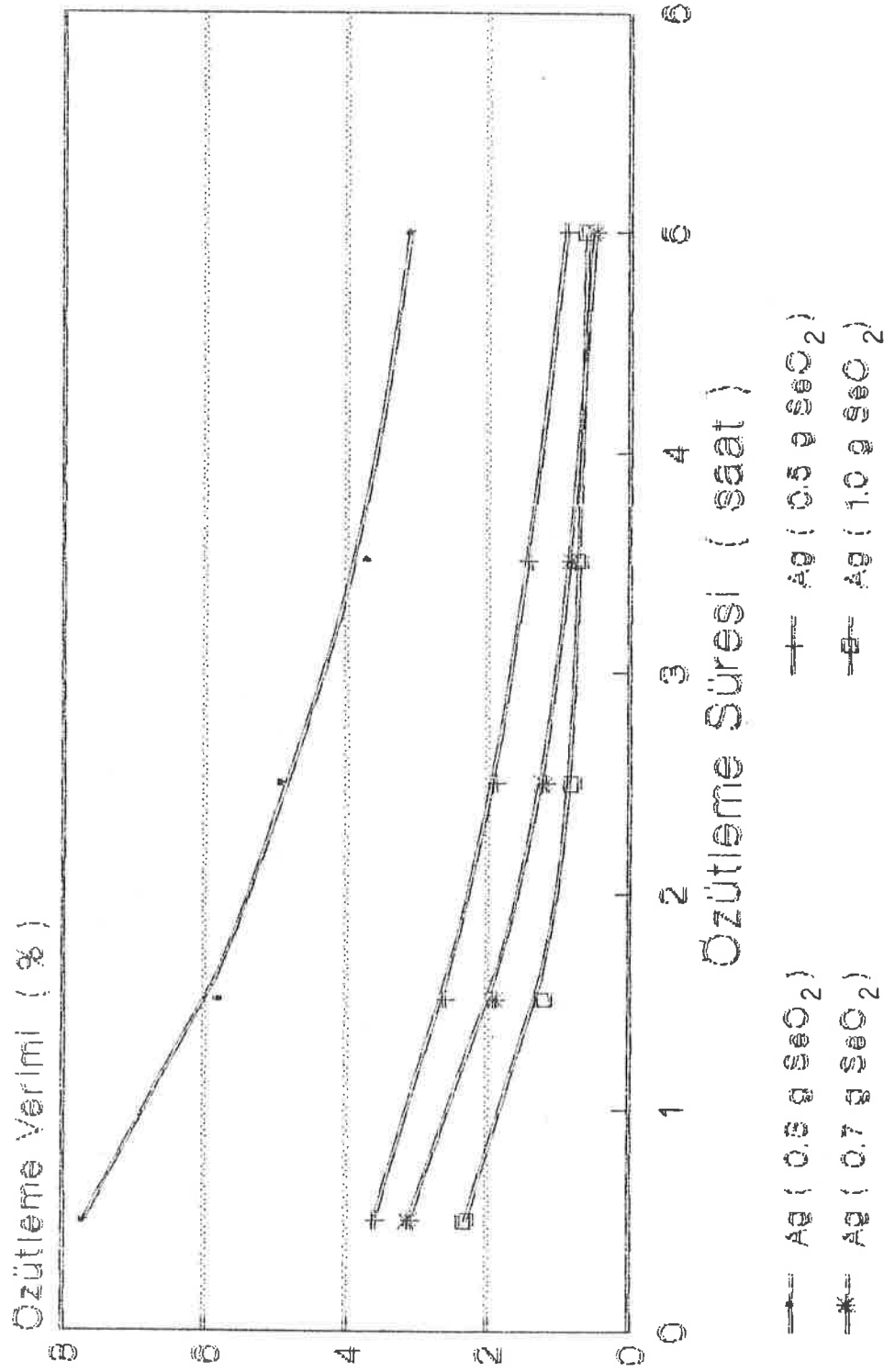
Tablo 15. Bakırı Alınmış Anot Çamurunun Tiyoüre Çözeltisi  
ile Özütlenmesi

Özütleme Süresi Saat	Özütleme Verimi %	
	Au	Ag
0,5	-	2,3
1,5	-	1,2
2,5	-	0,8
3,5	-	0,7
5,0	-	0,6

Deney 3.2.6 - 3.2.9'un verileri şekil 15'te verilmiştir.



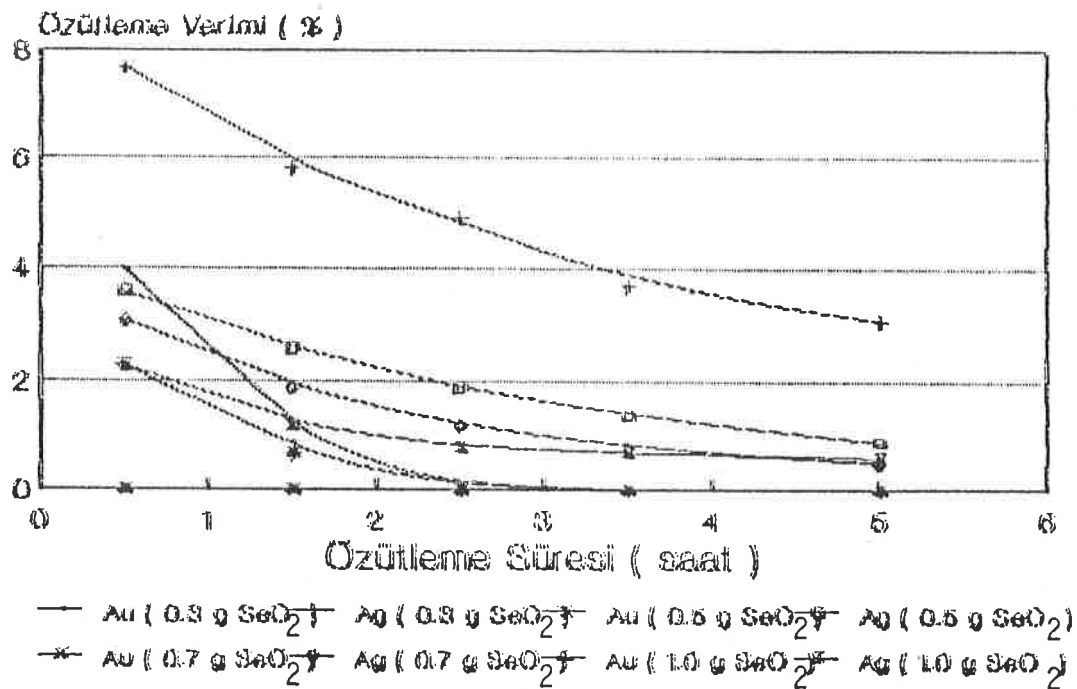
Şekil 14. Özütleme Süresinin Au ve Ag Verimine Etkisi



Şekil 15. Özütleme Süresinin Ag Verimine Etkisi

Bakırı Alımı Anot Çamuru : 20,0000 g , Tiyoüre Miktarı : 2,0000 g/200 ml  
 pH : 2,0 , Sıcaklık 30 °C

$\text{SeO}_2$  miktarının Au ve Ag özütlenmesine etkisi şekil 16'da verilmiştir.



Şekil 16.  $\text{SeO}_2$  Miktarının Au ve Ag Özütlenmesine Etkisi

Bakırı alınmış anot çamuru : 20,0000 g

Tiyoüre miktarı : 2,0000 g/200 ml , pH : 2,0

Sıcaklık : 30 °C

Şekil 16'dan görüldüğü gibi  $\text{SeO}_2$  miktarı arttıkça Au ve Ag özütlenmesinde bir azalma meydana gelmektedir. Şekil 11-15 ten görüldüğü gibi özütleme süresinin artması ile Au ve Ag özütlenmesinde bir azalma meydana gelmektedir.

Bu deneylerden olumlu bir sonuç alınamadığı için yükseltgen olarak  $\text{Fe}^{3+}$  kullanılarak deneyler yapılmıştır.

### 3.2.10. Bakırı Alınmış Anot Çamurunun Tiyoüre Çözeltisi ile Özütlenmesi

Deney Koşulları:

Bakırı alınmış anot çamuru : 10,0000 g

Tiyoüre çözeltisinin hacmi : 250 ml

Tiyoüre çözeltisinin derişimi : 10,0 g/L

$Fe^{3+}$  miktarı : 1,25 g (9,042 g  $Fe(NO_3)_3 \cdot 9H_2O$ )

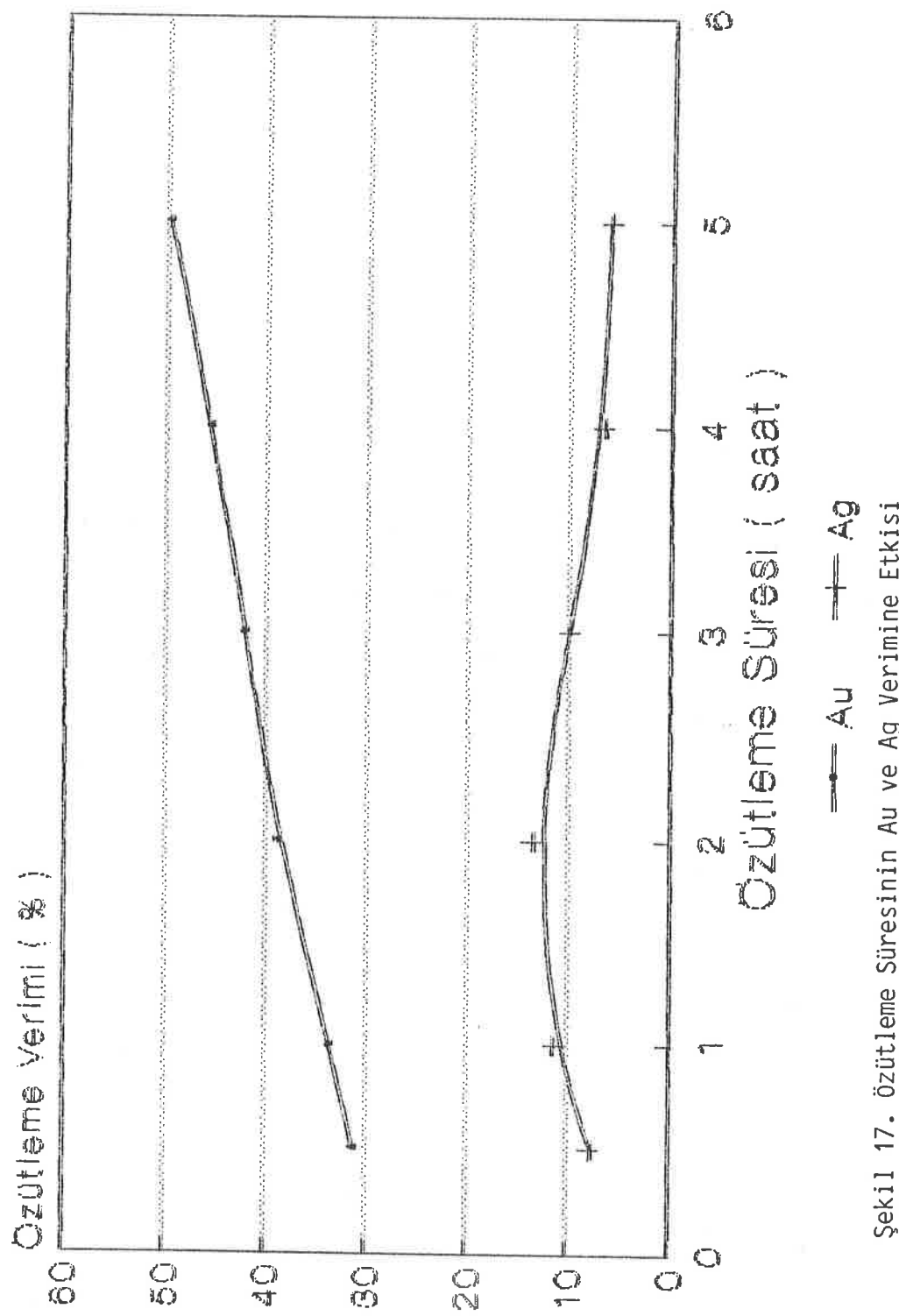
pH : 1,0

Sıcaklık : 30 °C

Deney sonucunda çözeltiye geçen Au ve Ag miktarları tablo 16 ve şekil 17'de verilmiştir.

Tablo 16. Bakırı Alınmış Anot Çamurunun Tiyoüre Çözeltisi ile Özütlenmesi

Özütleme Süresi Saat	Özütleme Verimi %	
	Au	Ag
0,5	31,2	7,7
1,0	33,6	11,4
2,0	38,8	13,4
3,0	42,1	10,0
4,0	45,5	6,5
5,0	49,7	6,1



Sekil 17. Özütleme Süresinin Au ve Ag Verimine Etkisi

### 3.2.11. Bakırı Alınmış Anot Çamurunun Tiyoüre Çözeltisi ile Özütlenmesi

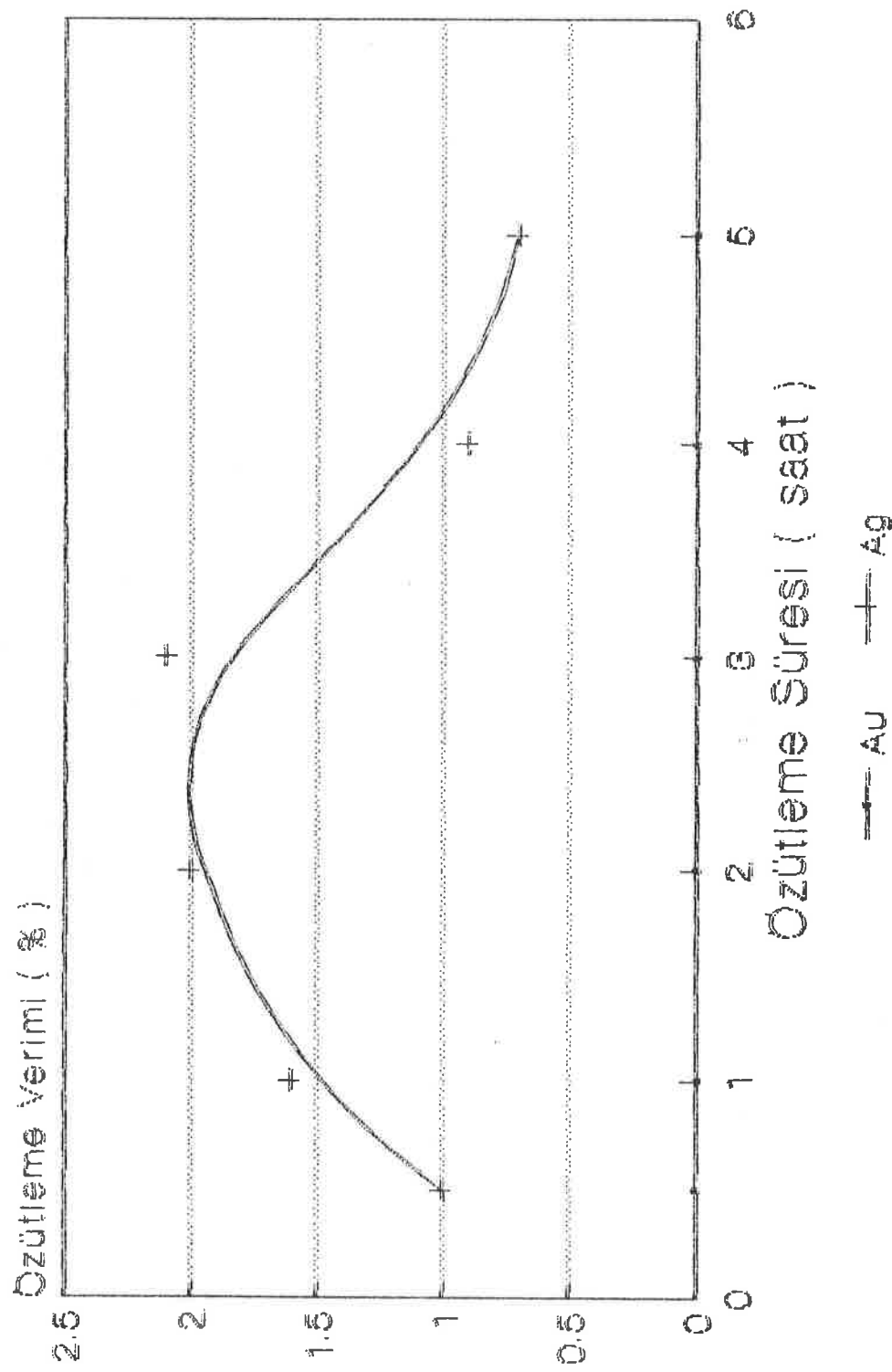
Deney Koşulları:

- Bakırı alınmış anot çamuru : 10,0000 g
- Tiyoüre çözeltisinin hacmi : 250 ml
- Tiyoüre çözeltisinin derişimi : 10,0 g/L
- $Fe^{3+}$  miktarı : 5,00 g (18,084 g  $Fe(NO_3)_3 \cdot 9H_2O$ )
- pH : 1,0
- Sıcaklık : 30 °C

Deney sonucu çözeltiye geçen Au ve Ag miktarları tablo 17 ve şekil 18 de verilmiştir.

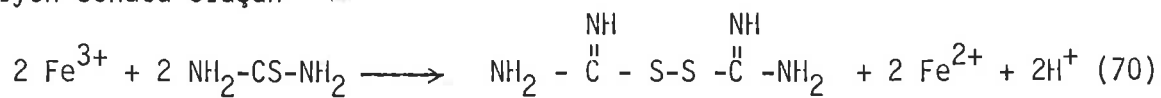
Tablo 17. Bakırı Alınmış Anot Çamurunun Tiyoüre Çözeltisi  
ile Özütlenmesi

Özütleme Süresi Saat	Özütleme Verimi %	
	Au	Ag
0,5	-	1,0
1,0	-	1,6
2,0	-	2,0
3,0	-	2,1
4,0	-	0,9
5,0	-	0,7

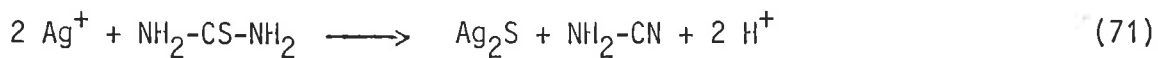


Sekil 18. Özütleme Süresinin Au ve Ag Verimine Etkisi

Deney 3.2.10 ve 3.2.11'in sonuçlarından görüldüğü gibi  $\text{Fe}^{3+}$  miktarının 10,0 g/L olması halinde, Au ve Ag özütlenmesinde büyük miktarlarda düşüş gözlenmekte ve hatta özütleme hemen hiç olmamaktadır. Bunun da nedeni aşağıdaki reaksiyon sonucu oluşan



formamidin disülfür, seyreltik asidik çözeltilerde çok kararlı olmadığından kükürt, siyanamid ve tiyoüre vermek üzere bozunur(64). Oluşan elementel kükürt altın yüzeyini pasifleştirmek altının özütlenmesini azaltır(35). Gümüş özütlenmesindeki azalma ise aşağıdaki denkleme göre(65),



$\text{Ag}_2\text{S}$  oluşumuna dayanmaktadır.

Bu deneyler sonucunda altın ve gümüşün özütlenmesinde iyi bir sonuç alınmadığından ortamda bulunan selenyum ve tellürü uzaklaştırmak için bakırı alınmış anot çamuru,  $\text{Na}_2\text{SO}_3$  ve  $\text{Na}_2\text{S}$  özütlenmesine tabi tutularak tellür ortamdan uzaklaştırılmıştır(63).

Elde edilen çökelek içerisinde bulunan gümüşün bir kısmı  $\text{Ag}_2\text{Se}$  ve  $\text{Ag}_2\text{S}$  bileşikleri halinde bulunduğuundan dolayı selenür ve sülfür içermeyen gümüş yapısına dönüştürmek için numune, 700 °C de dört saat kavurma işlemeye tabi tutulmuştur. Böylece 700 °C de kavrulmuş anot çamuru üzerinde tiyoüre özütlemesi yapıldı.

### 3.2.12. Kavrulmuş Anot Çamurunun Tiyoüre Çözeltisi ile Özütlenmesi

Deney Koşulları :

Kavrulmuş anot çamuru : 10,0000 g

Tiyoüre çözeltisinin hacmi : 250 ml

Tiyoüre derişimi : 10,0 g/L

$\text{Fe}^{3+}$  miktarı : 1.25 g ( $9,042 \text{ g Fe}(\text{NO}_3)_3 \cdot 9\text{H}_2\text{O}$ )

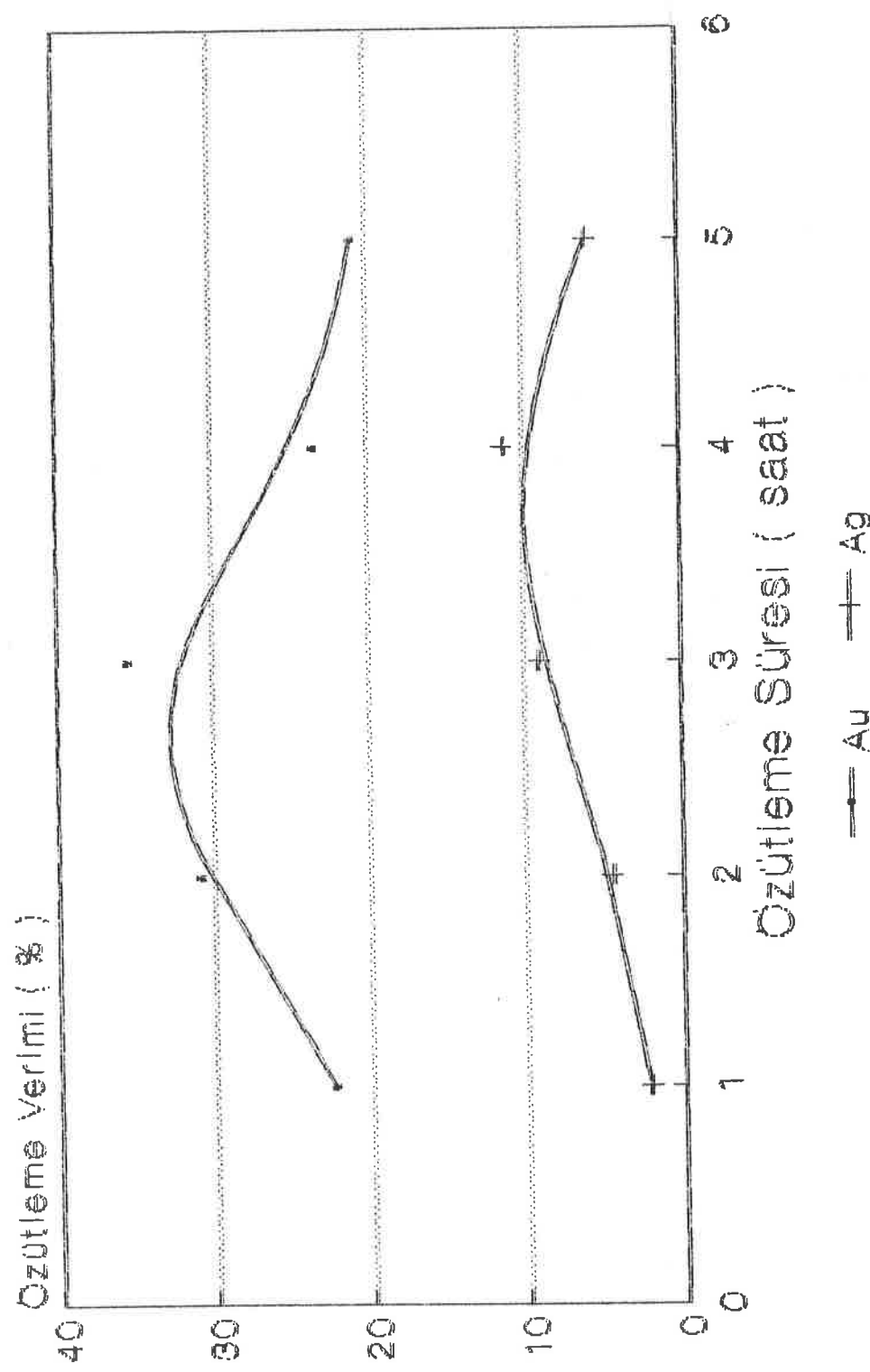
pH : 1,0

Sıcaklık : 30 °C

Deney sonucu çözeltiye geçen Au ve Ag miktarları tablo 18 ve şekil 19 da verilmiştir.

Tablo 18. Kavrulmuş Anot Çamurunun Tiyoüre Çözeltisi  
ile Özütlenmesi

Özütleme Süresi Saat	Özütleme Verimi %	
	Au	Ag
1,0	22,4	2,2
2,0	30,9	4,4
3,0	35,4	9,1
4,0	23,4	11,2
5,0	20,9	5,9

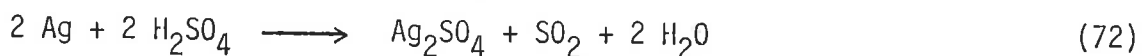


Şekil 19. Özütleme Süresinin Au ve Ag Verimine Etkisi

Bütün bu deneylerden olulmu bir sonuç alınamadığından ortamda bulunan gümüşün altından ayrı bir basamakta ayrılması için otoklav koşullarında, oksijen basıncı altında değişik miktarda  $H_2SO_4$  ile reaksiyona tabi tutularak çalışmalar sürdürülmüştür.

### 3.2.13. $700^{\circ}C$ de Kavrulmuş ve $0,1\text{ M }H_2SO_4$ ile Yıkamış Anot Çamurunun $H_2SO_4$ ile Otoklav Koşullarında Reaksiyonu

Numunedeki gümüşün çözeltiye alınması için aşağıdaki reaksiyon denklemine göre kavrulmuş ve  $H_2SO_4$  ile yıkamış ve kurutulmuş numunedeki gümüş miktarına (%19,8) göre eşdeğer miktar ve eşdeğer miktarın 1,5-2,0-2,5-3,0-4,0-5,0 katı derişik  $H_2SO_4$  ilave edildi.



Otoklavda  $350^{\circ}C$ , 8 atm oksijen basıncı altında 1 saat tutulan numuneler, otoklavdan çıkarıldıktan sonra  $3\text{ M NH}_3$  ile özütlendi. Çözeltiye geçen gümüş miktarları analiz edildi. Geriye kalan numune  $0,1\text{ M }H_2SO_4$  ile özütlendi. Geriye kalan numneler derişik  $HNO_3$  ile çözünürleştirildikten sonra geriye gümüş kalıp kalmadığına bakıldı. Deney sonuçları tablo 19'da verilmiştir.

Tablo 19.  $700^{\circ}C$  de Kavrulmuş ve  $0,1\text{ M }H_2SO_4$  ile Yıkamış Anot Çamurunun 8 atm.  $O_2$  Basıncı Altında  $350^{\circ}C$  de  $H_2SO_4$  Reaksiyonu

$H_2SO_4$ Miktarı		Çözeltiye Geçen Ag %		
Eşdeğer	ml	$NH_3$	$H_2SO_4$	$HNO_3$
1,0	0,21	99,0	0,8	0,2
1,5	0,31	99,7	0,2	0,1
2,0	0,41	98,2	1,5	0,3
2,5	0,52	98,9	0,8	0,3
3,0	0,62	99,8	0,1	0,1
4,0	0,82	99,4	0,4	0,2
5,0	1,03	99,5	0,2	0,3

3.2.14.  $700^{\circ}\text{C}$  Kavrulmuş ve 1 M NaOH ile Yıklanmış Anot Çamurunun Çamurunun  
Otoklav Koşullarında  $\text{H}_2\text{SO}_4$  ile Reaksiyonu

$700^{\circ}\text{C}$  de 4 saat kavrulmuş ve 1 M NaOH ile özütlenmiş anot çamuru saf su ile yıkanarak  $110^{\circ}\text{C}$  de kurutuldu. Bu çamurdan ikişer gramlık numuneler alınarak (72) nolu denkleme göre, anot çamurundaki gümüş miktarına (%24,4) eşdeğer miktarda ve eşdeğer miktarın 1,5 - 2,0 - 2,5 - 3,0 - 4,0 - 5,0 katı  $\text{H}_2\text{SO}_4$  ilave edildi ve otoklavda  $350^{\circ}\text{C}$  de 8 atm oksijen basıncı altında 1 saat süreyle tutuldu. Otoklavdan çıkarılan numuneler önce 0,1 M  $\text{H}_2\text{SO}_4$  ile özütlen-di. Daha sonra numune ler 3 M  $\text{NH}_3$  ile özütlendi. Geriye kalan numune en son derişik  $\text{HNO}_3$  ile çözünürleştirilerek geriye gümüşün kalıp kalmadığına bakıldı. Çözeltiye geçen gümüş miktarları tablo 20'de verilmiştir.

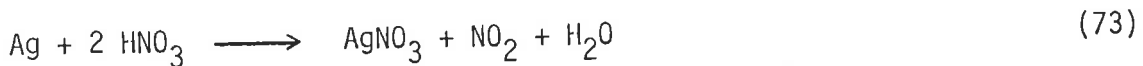
Tablo 20.  $700^{\circ}\text{C}$  de kavrulmuş ve 1 M NaOH ile Yıklanmış Anot Çamurunun  
 $350^{\circ}\text{C}$  Sıcaklıkta 8 atm  $\text{O}_2$  Basıncı Altında  $\text{H}_2\text{SO}_4$  ile  
Reaksiyonu

Eşdeğer	ml	Çözeltiye Geçen Ag Miktarı %		
		0,1 $\text{H}_2\text{SO}_4$	$\text{NH}_3$	$\text{HNO}_3$
1,0	0,25	82,1	17,7	0,2
1,5	0,375	75,2	24,7	0,1
2,0	0,50	70,4	29,3	0,3
2,5	0,625	65,0	34,8	0,2
3,0	0,75	60,8	39,1	0,1
4,0	1,00	57,2	42,6	0,2
5,0	1,25	60,2	39,6	0,2

Tablo 20'den görüldüğü gibi, gümüşün çözeltiye alınması için eşdeğer miktarda  $\text{H}_2\text{SO}_4$  ile yapılan deneyin koşulları oldukça uygun görülmektedir. Buna-  
dan dolayı bu koşullar altında gümüş çözeltiye alındıktan sonra geriye kalan numunedeki altının tiyoüre çözeltisi ile özütlenmesi yapılabilir.

3.2.15.  $700^{\circ}\text{C}$  de Kavrulmuş Anot Çamurunun  $\text{HNO}_3$  ile Reaksiyonu

$700^{\circ}\text{C}$  de 4 saat kavrulmuş anot çamurundan ikişer gramlık numuneler alınarak üzerine aşağıdaki denkleme göre, anot çamurunda bulunan Ag miktarına

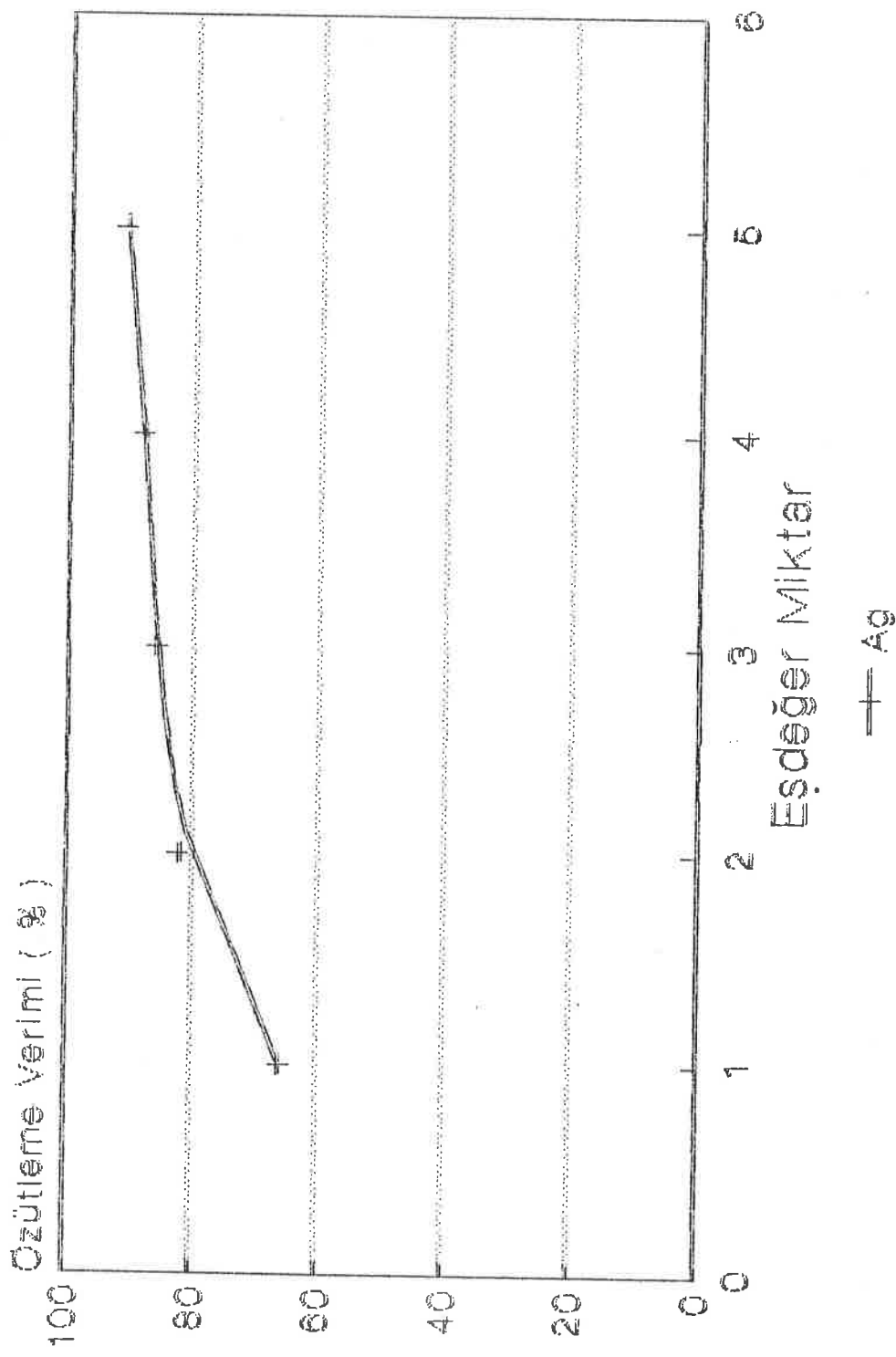


eşdeğer miktarda ve eşdeğer miktarın  $2,0 - 3,0 - 4,0 - 5,0$  katı 1:1 lik  $\text{HNO}_3$  ilave edildi. Isıtıcı üzerinde hafif ısida 1 saat ısıtıldı. Çözeltiye geçen gümüş miktarları analiz edildi. Deney sonuçları tablo 21 ve şekil 20'de verilmiştir.

Tablo 21.  $700^{\circ}\text{C}$  de Kavrulmuş Anot Çamurunun 1:1 lik  $\text{HNO}_3$  ile Reaksiyonu Sonucu Çözeltiye Geçen Ag Miktarları

$\text{HNO}_3$ Miktarı (Eşdeğer)	Çözeltiye Geçen Ag Miktarı %
1	66
2	82
3	86
4	88
5	91

Bütün bu deneylerden sonra altının iyi bir şekilde özütlenebilmesi için kavrulmuş anot çamurundaki gümüşün uzaklaştırılması amacıyla daha önceki deneylerde kullanılan kavrulmuş anot çamuru birleştirilerek derişik  $\text{HNO}_3$  ile kaynatıldı. Ortadaki gümüş çözeltiye alındı. Geriye kalan çökelek saf su ile yıkandı.  $110^{\circ}\text{C}$  de kurutuldu. Numunenin yapılan analizinde % 3,08 Au , % 0,9 Ag , % 0,2 Se ve % 0,1 Te bulunduğu saptanmıştır. Bundan sonraki öztleme deneylerinde elde edilen bu numune kullanılmıştır.



Şekil 20.  $700^{\circ}\text{C}$  de Kavrulmuş Anot Çamurunun 1:1 lik  $\text{HNO}_3$  ile Reaksiyonu Sonucu  
Çözeltiye Geçen Gümüş Miktarları

3.2.16. Gümüşü Alınmış Numunenin  $H_2SO_4$ 'li Ortamda Tiyoüre Çözeltisi ile Özütlenmesi

Deney Koşulları :

Gümüşü alınmış numune : 1,4373 g

Tiyoüre çözeltisinin hacmi : 250 ml

Tiyoüre çözeltisinin derişimi : 10,0 g/L

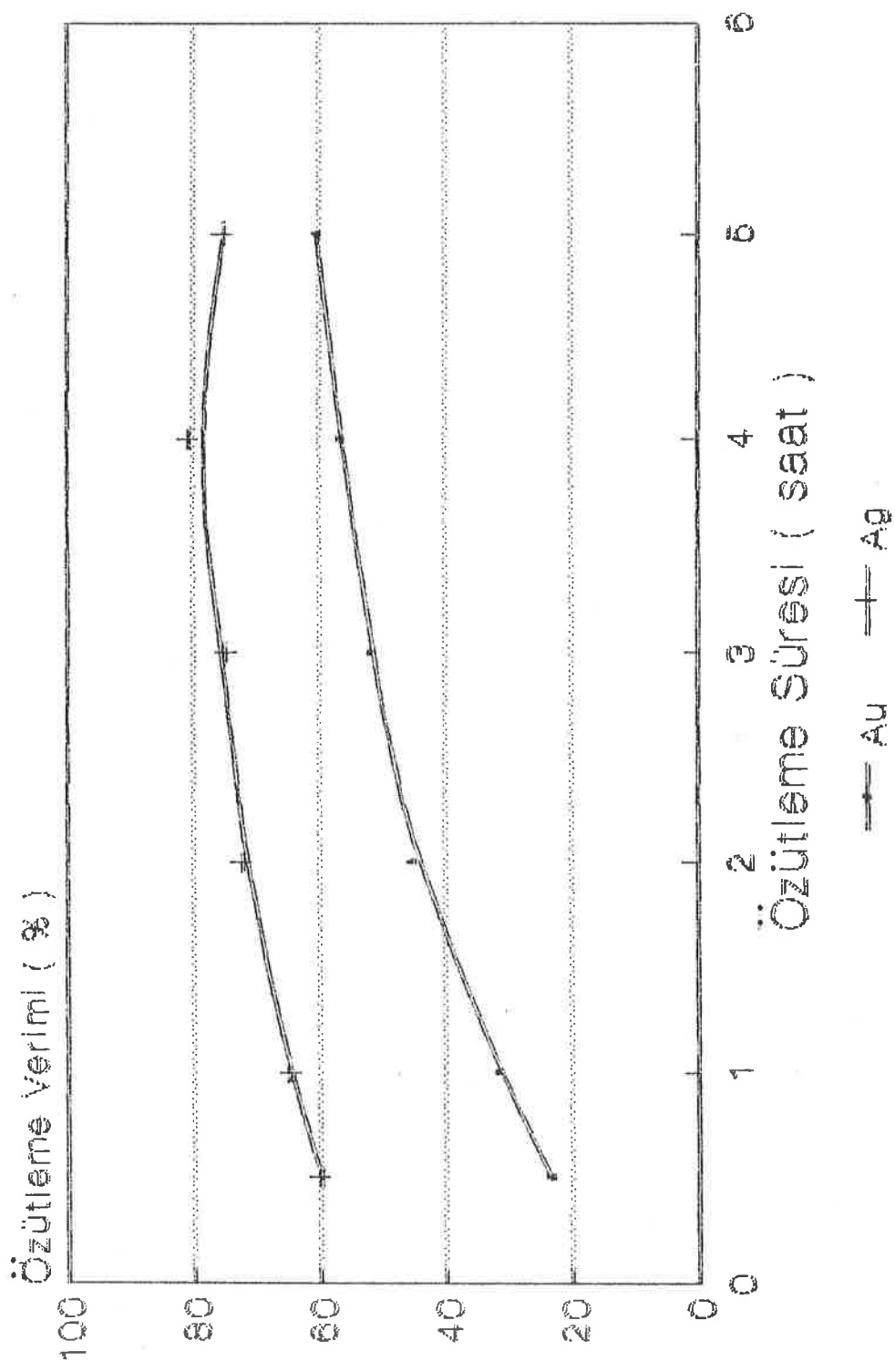
pH : 1,0

Sıcaklık : 30 °C

Deney sonucu çözeltiye geçen Au ve Ag miktarları tablo 22 ve şekil 21 de verilmiştir.

Tablo 22. Gümüşü Alınmış Numunenin Tiyoüre Çözeltisi ile Özütlenmesi

Özütleme Süresi Saat	Özütleme Verimi %		Bozulan Tiyoüre %
	Au	Ag	
0,5	23,3	59,8	
1,0	31,4	64,9	
2,0	45,3	72,2	
3,0	51,7	74,9	
4,0	56,6	80,6	
5,0	60,4	75,0	-



Şekil 21. Özütleme Süresinin Au ve Ag Verimine Etkisi

3.2.17. Gümüşü Alınmış Numunenin  $\text{HNO}_3$ 'lu Ortamda Tiyoüre Çözeltisi ile Özütlenmesi

Deney Koşulları :

Gümüşü alınmış numune : 1,4506 g

Tiyoüre çözeltisinin hacmi : 250 ml

Tiyoüre çözeltisinin derişimi : 10,0 g/L

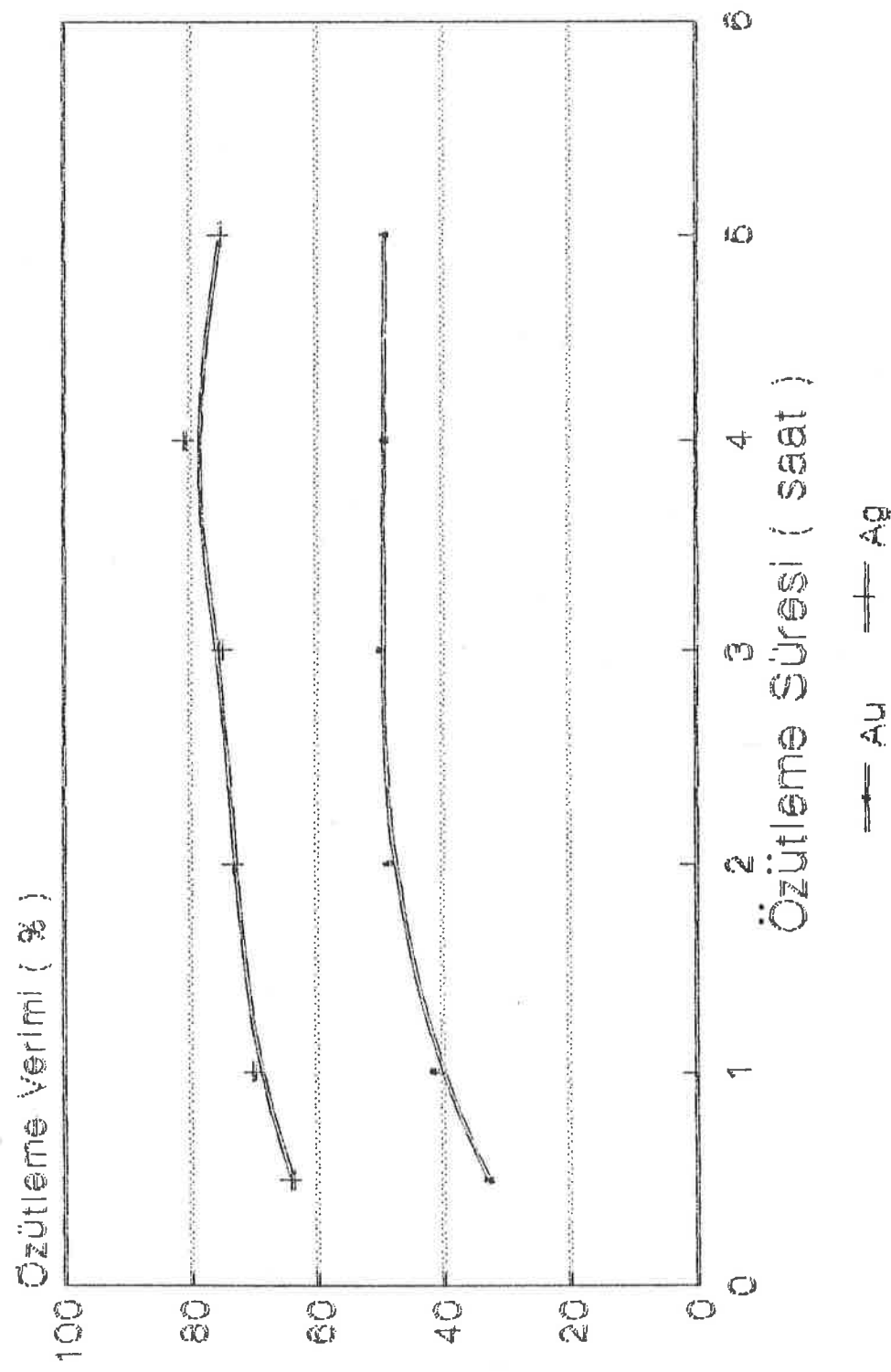
pH : 1,0

Sıcaklık : 30 °C

Deney sonucu çözeltiye geçen Au ve Ag miktarları tablo 23 ve şekil 22 de verilmiştir.

Tablo 23. Gümüşü Alınmış Numunenin Tiyoüre Çözeltisi ile Özütlenmesi

Özütleme Süresi Saat	Özütleme Verimi %		Bozulan Tiyoüre %
	Au	Ag	
0,5	32,8	63,9	-
1,0	41,3	70,1	-
2,0	48,7	73,0	-
3,0	49,7	75,0	-
4,0	49,2	80,7	-
5,0	49,2	75,1	-



Şekil 22. Özütleme Süresinin Au ve Ag Verimine Etkisi

3.2.18. Gümüşü Alınmış Anot Çamurunun  $H_2SO_4$ 'li Ortamda Tiyoüre Çözeltisi ile Özütlenmesi

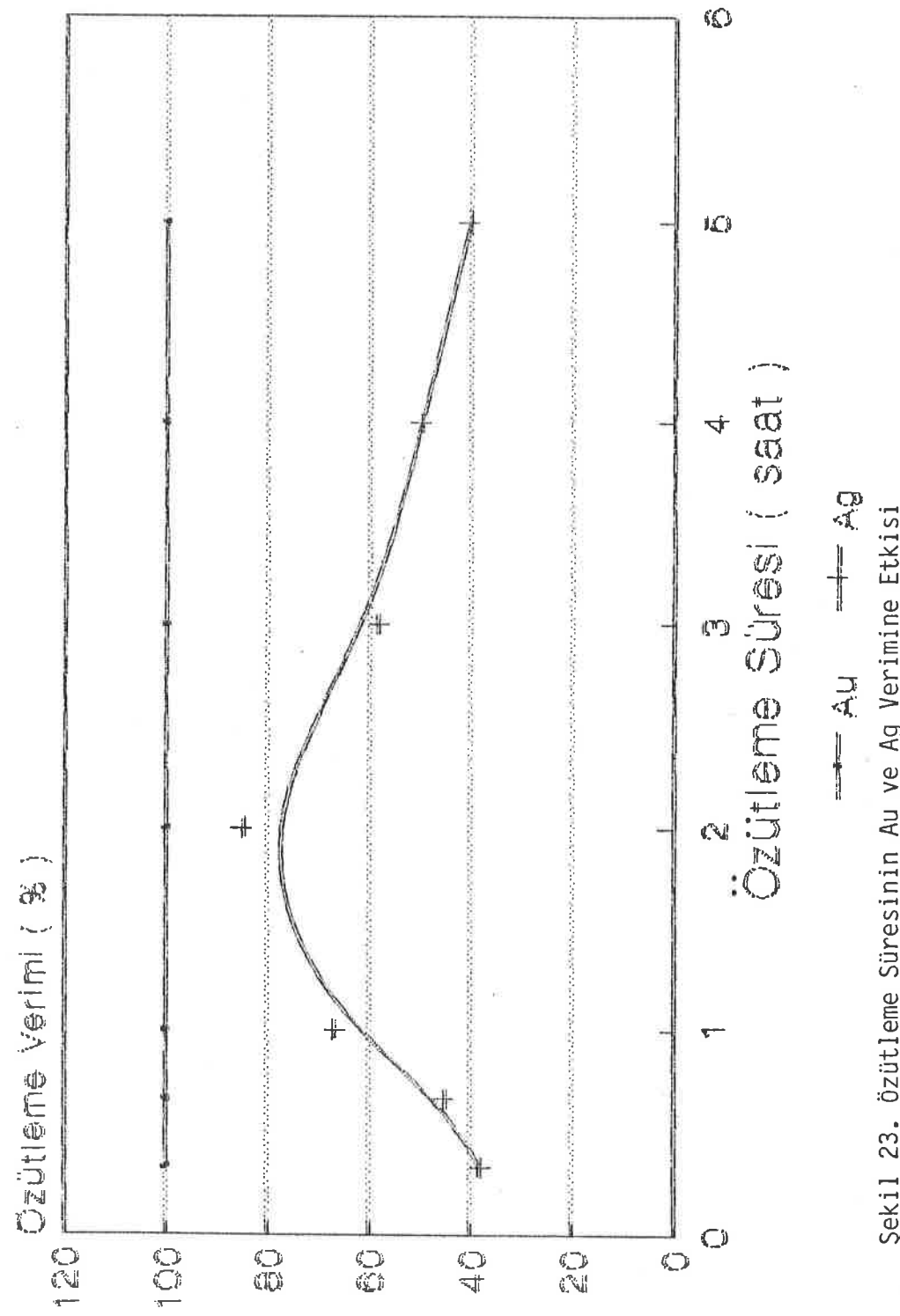
Deney Koşulları :

Gümüşü alınmış numune	:	1,4700 g
Tiyoüre çözeltisinin hacmi	:	250 ml
Tiyoüre çözeltisinin derişimi	:	10,0 g/L
$Fe^{3+}$ miktarı	:	0,625 g ( $4,521 \text{ g } Fe(NO_3)_3 \cdot 9H_2O$ )
$Fe^{3+}$ çözeltisinin derişimi	:	2,5 g/L
pH	:	1,0
Sıcaklık	:	30 °C

Deney sonucu çözeltiye geçen Au ve Ag miktarları tablo 24 ve şekil 23 te verilmiştir.

Tablo 24. Gümüşü Alınmış Numunenin Tiyoüre Çözeltisi ile Özütlenmesi

Özütleme Süresi Saat	Özütleme Verimi %		Bozulan Tiyoüre %
	Au	Ag	
0,33	100	38,0	
0,66	100	44,9	
1,0	100	66,8	
2,0	100	84,6	
3,0	100	58,3	
4,0	100	49,6	
5,0	100	40,2	26,7



Sekil 23. Özütleme Süresinin Au ve Ag Verimine Etkisi

3.2.19. Gümüşü Alınmış Numunenin  $H_2SO_4$ 'li Ortamda Tiyoüre Çözeltisi  
ile Özütlenmesi

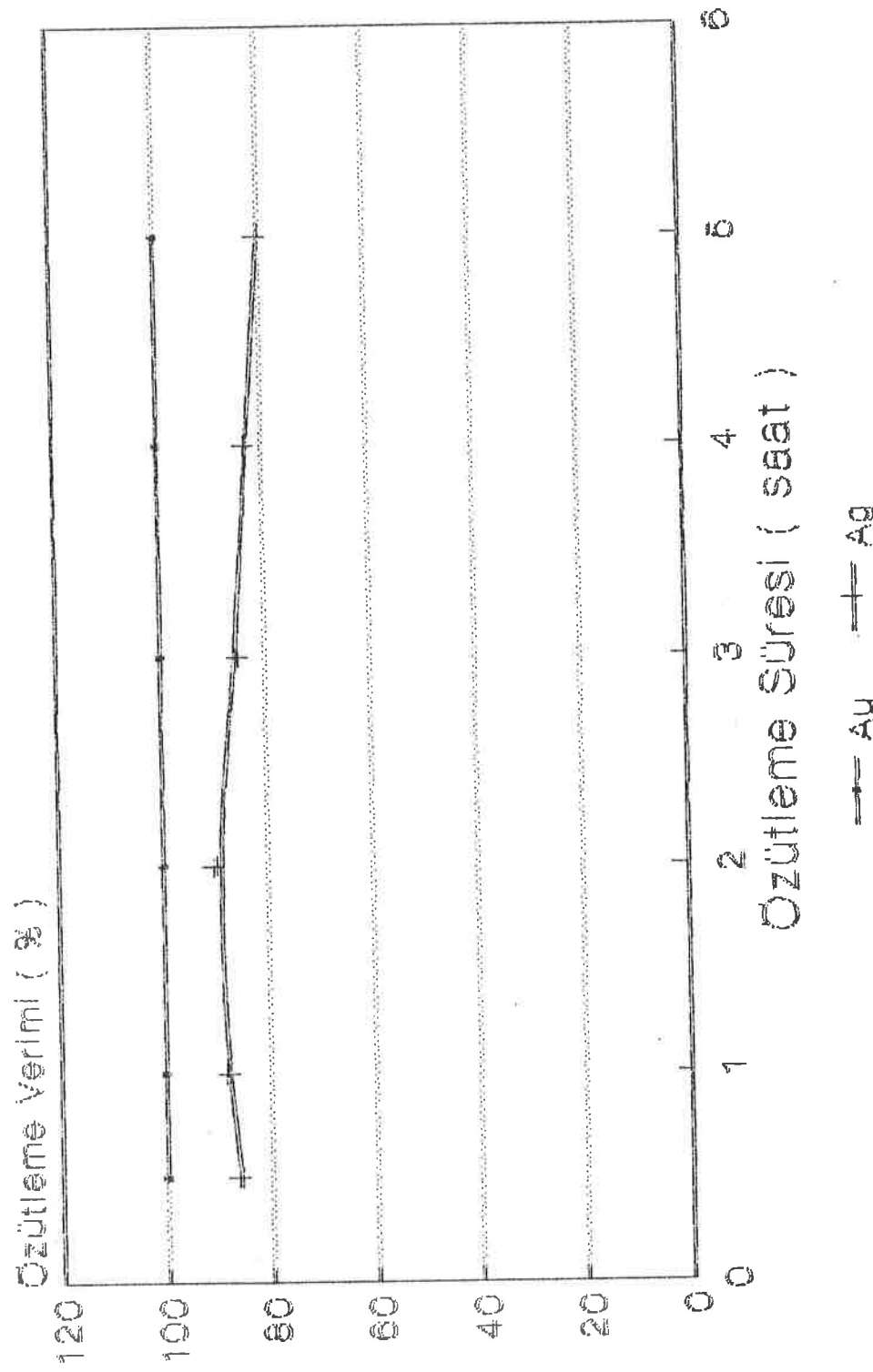
Deney Koşulları :

Gümüşü alınmış numune	:	1,5993 g
Tiyoüre çözeltisinin hacmi	:	250 ml
Tiyoüre çözeltisinin derişimi	:	10,0 g/L
$Fe^{3+}$ miktarı	:	1,25 g ( $9,042$ g $Fe(NO_3)_3 \cdot 9H_2O$ )
$Fe^{3+}$ çözeltisinin derişimi	:	5,0 g/L
pH	:	1,0
Sıcaklık	:	30 °C

Deney sonucu çözeltkiye geçen Au ve Ag miktarları tablo 25 ve şekil 24 te verilmiştir.

Tablo 25. Gümüşü Alınmış Numunenin Tiyoüre Çözeltisi  
ile Özütlenmesi

Özütleme Süresi Saat	Özütleme Verimi %		Bozulan Tiyoüre %
	Au	Ag	
0,5	100	86,0	
1,0	100	88,2	
2,0	100	90,1	
3,0	100	85,5	
4,0	100	83,1	
5,0	100	80,2	54,6



Sekil 24. özütleme süresinin Au ve Ag verimine Etkisi

3.2.20. Gümüşü Alınmış Numunenin  $H_2SO_4$ 'li Ortamda Tiyoüre Çözeltisi ile Özütlenmesi

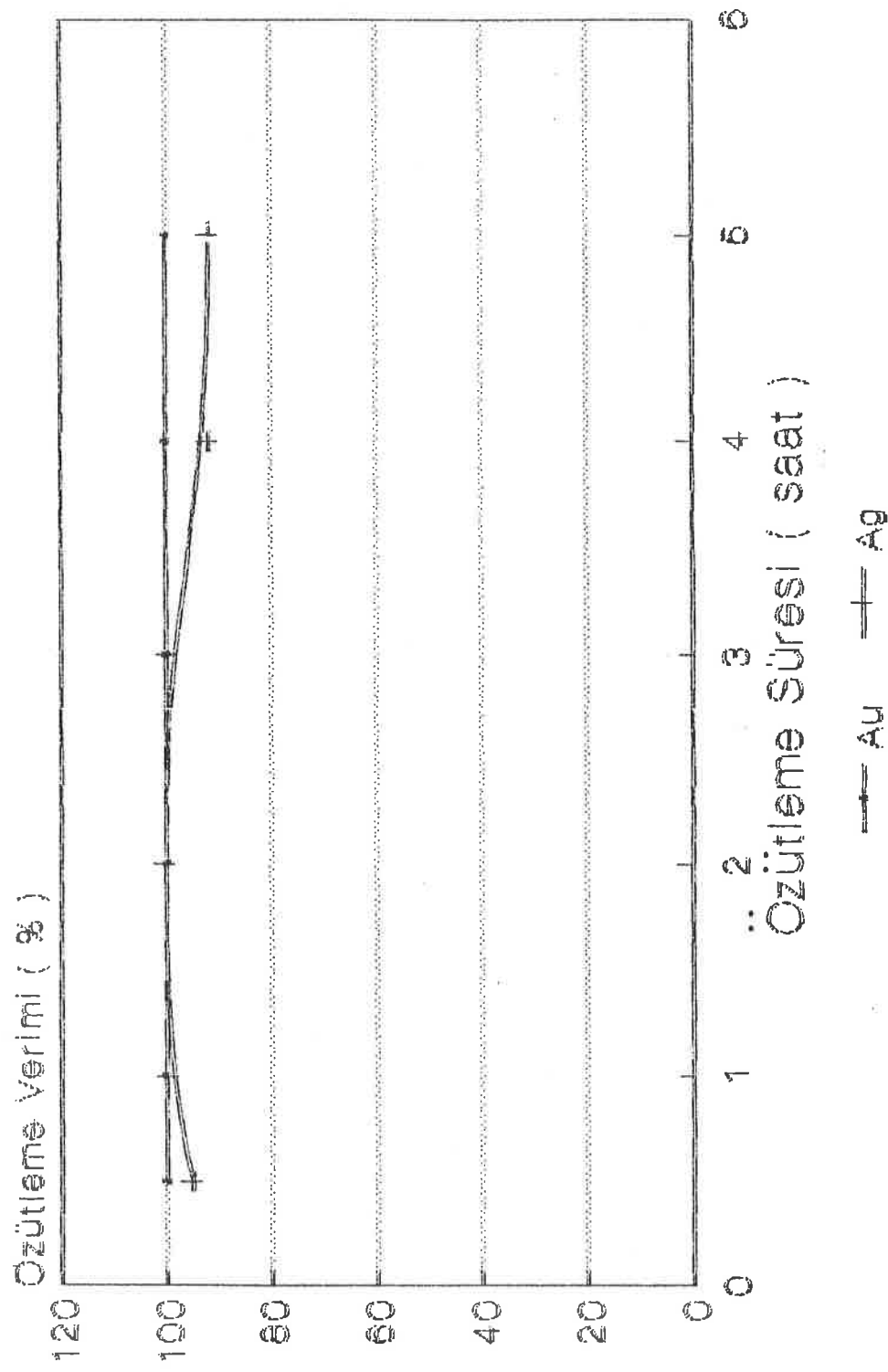
Deney Koşulları :

Gümüşü alınmış numune	:	1,4084 g
Tiyoüre çözeltisinin hacmi	:	250 ml
Tiyoüre çözeltisinin derişimi	:	10,0 g/L
$Fe^{3+}$ miktarı	:	1,875 g ( $13,56 \text{ g } Fe(NO_3)_3 \cdot 9H_2O$ )
$Fe^{3+}$ derişimi	:	7,50 g/L
pH	:	1,0
Sıcaklık	:	30 °C

Deney sonucu çözeltiye geçen Au ve Ag miktarları tablo 26 ve şekil 25 te verilmiştir.

Tablo 26. Gümüşü Alınmış Numunenin Tiyoüre Çözeltisi ile Özütlenmesi

Özütleme Süresi Saat	Özütleme Verimi %		Bozulan Tiyoüre %
	Au	Ag	
0,5	100	95,0	
1,0	100	100,0	
2,0	100	100,0	
3,0	100	100,0	
4,0	100	91,7	
5,0	100	91,7	88,0



Şekil 25. Özütleme Süresinin Au ve Ag Verimine Etkisi

3.2.21. Gümüşü Alınmış Numunenin  $H_2SO_4$ 'li Ortamda Tiyoüre Çözeltisi ile Özütlenmesi

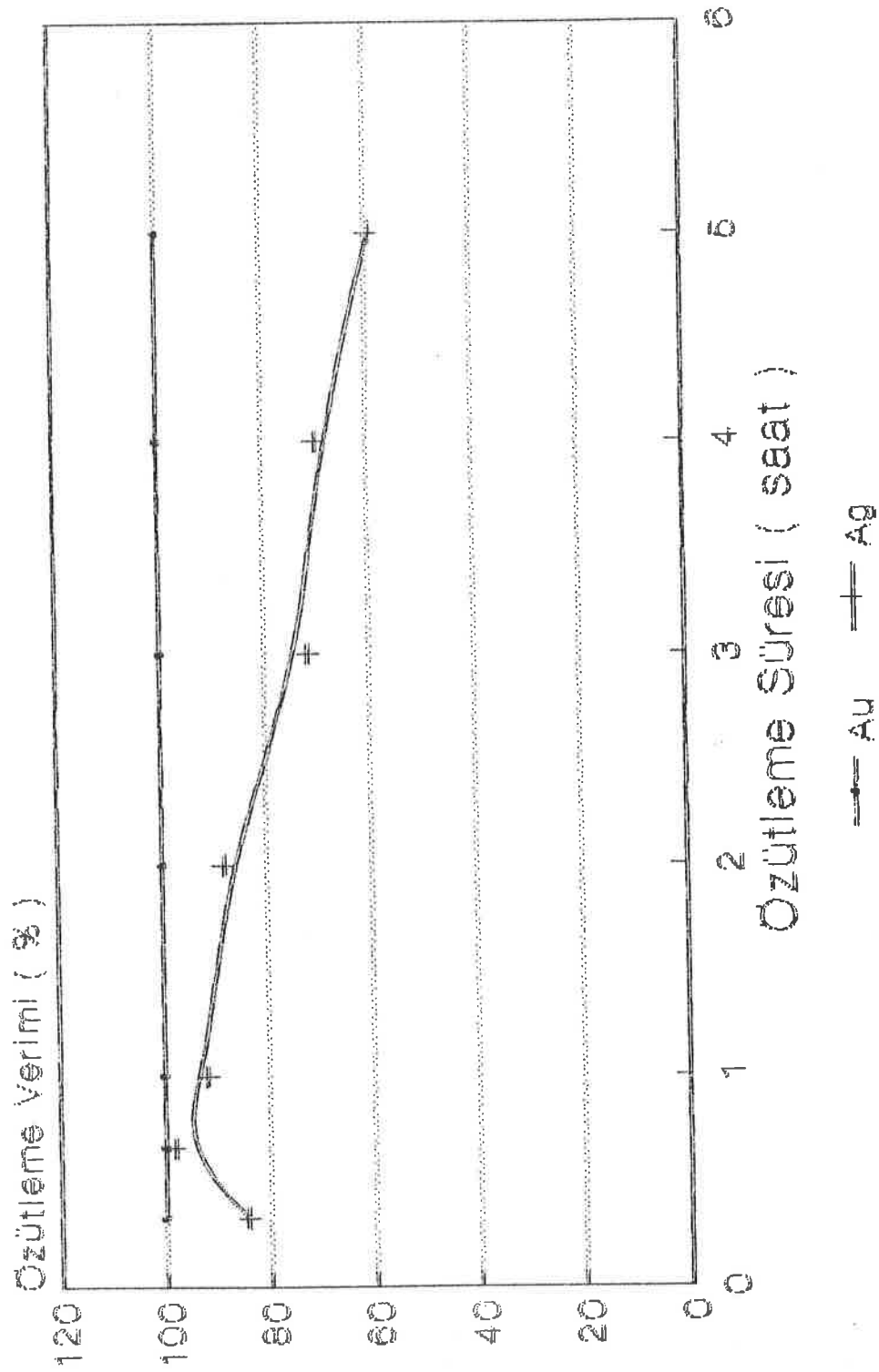
Deney Koşulları :

Gümüşü alınmış numune	:	1,4708 g
Tiyoüre çözeltisinin hacmi	:	250 ml
Tiyoüre çözeltisinin derişimi	:	10,0 g/L
Fe <sup>3+</sup> miktarı	:	0,625 g ( $4,521 \text{ g } Fe(NO_3)_3 \cdot 9H_2O$ )
Fe <sup>3+</sup> çözeltisinin derişimi	:	2,5 g/L
pH	:	1,0
Sıcaklık	:	40 °C

Deney sonucu çözeltiye geçen Au ve Ag miktarları tablo 27 ve şekil 26 da verilmiştir.

Tablo 27. Gümüşü Alınmış Numunenin Tiyoüre Çözeltisi ile Özütlenmesi

Özütleme Süresi Saat	Özütleme Verimi %		Bozulan Tiyoüre %
	Au	Ag	
0,33	100	84,8	
0,66	100	98,1	
1,0	100	91,8	
2,0	100	88,1	
3,0	100	71,8	
4,0	100	69,6	
5,0	100	59,1	26,7



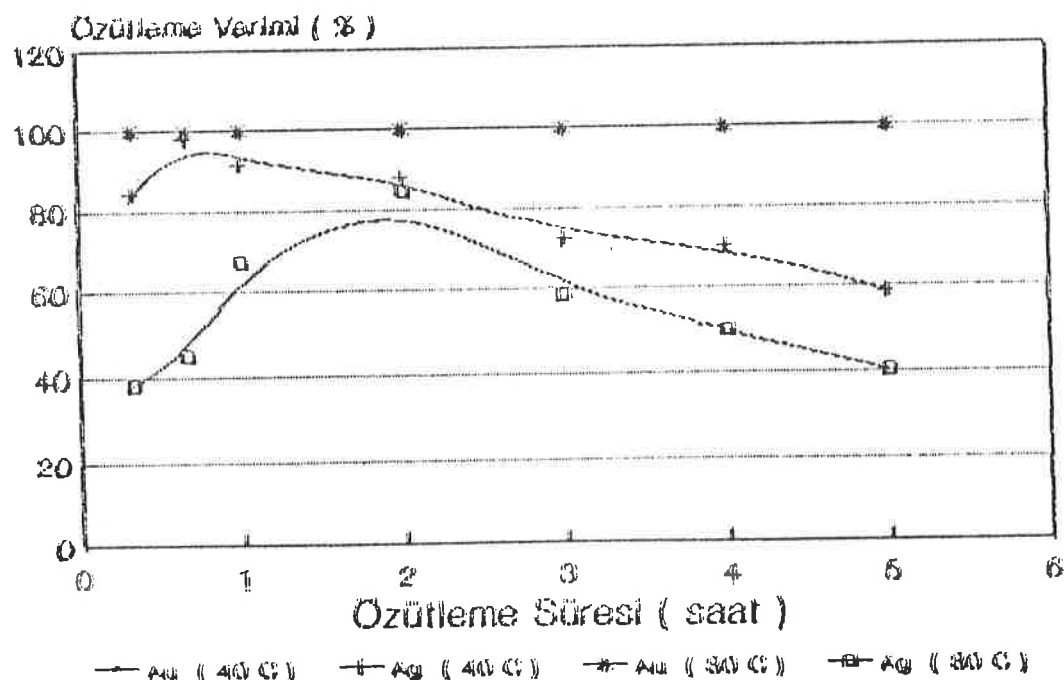
Sekil 26. Özütleme Süresinin Au ve Ag Verimine Etkisi

3.2.22. Gümüşü Alınmış Numunenin  $H_2SO_4$ 'li Ortamda Tiyoüre Çözeltisi  
ile Özütlenmesine Sıcaklığın Etkisi

Deney Koşulları :

Gümüşü alınmış numune	:	1,4700 g
Tiyoüre çözeltisinin hacmi	:	250 ml
Tiyoüre çözeltisinin derişimi	:	10,0 g/L
$Fe^{3+}$ miktarı	:	0,625 g ( $4,521 \text{ g } Fe(NO_3)_3 \cdot 9H_2O$ )
$Fe^{3+}$ çözeltisinin derişimi	:	2,5 g/L
pH	:	1,0
Sıcaklık	:	30 °C , 40 °C

Deney sonucu çözeltiye geçen Au ve Ag miktarları şekil 27'de verilmişdir.



Şekil 27. Tiyoüre Özütlenmesine Sıcaklığın Etkisi

3.2.23. Gümüşü Alınmış Numunenin  $H_2SO_4$ 'li Ortamda Tiyoüre Çözeltisi ile Özütlenmesine  $Fe^{3+}$  Derişiminin Etkisi

Deney Koşulları :

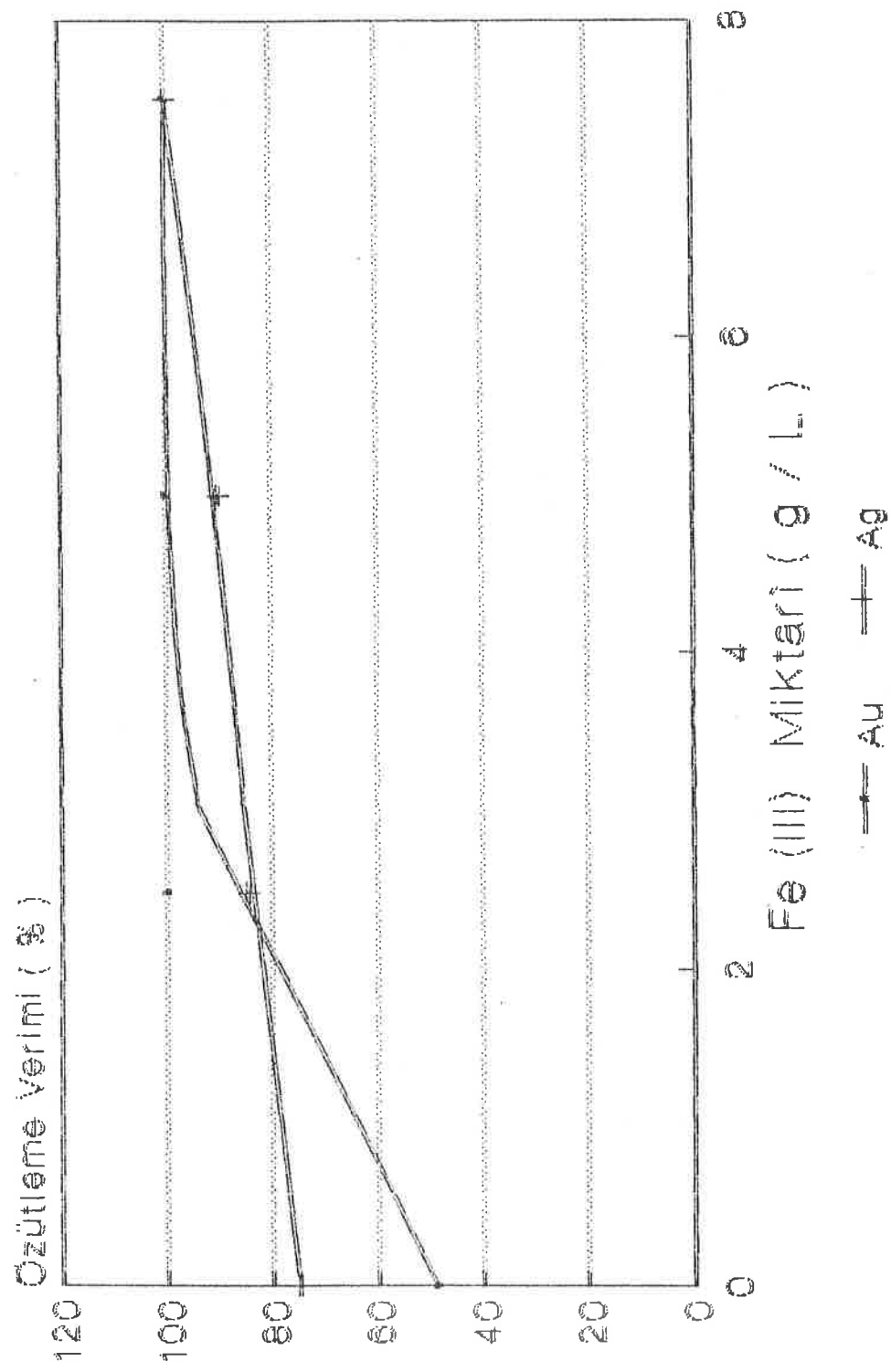
Gümüşü alınmış numune	: 1,4968 g
Tiyoüre çözeltisinin hacmi	: 250 ml
Tiyoüre çözeltisinin derişimi	: 10,0 g/L
$Fe^{3+}$ çözeltisinin derişimi	: 0,0 , 2,5 , 5,0 , 7,5 g/L
pH	: 1,0
Sıcaklık	: 30 °C
Özütleme Süresi	: 2,0 saat

Deney sonucu çözeltiye geçen Au ve Ag miktarları tablo 28 ve şekil 28 de verilmiştir.

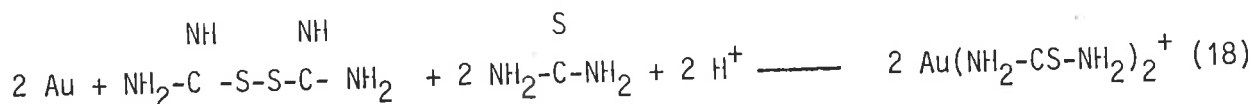
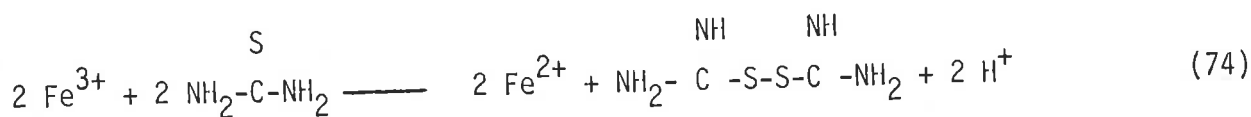
Tablo 28.  $Fe^{3+}$  Derişiminin Au ve Ag Özütlenmesine Etkisi

$Fe^{3+}$ Miktarı g / L	Özütleme Verimi %	
	Au	Ag
-	48,7	75,0
2,5	100	84,6
5,0	100	90,1
7,5	100	100

Tablo 28'den görüldüğü gibi  $Fe^{3+}$  miktarı arttıkça Au ve Ag özütlenmesinde bir artış meydana gelmektedir. Bunun nedeni aşağıdaki reaksiyonlarda görüldüğü gibi,  $Fe^{3+}$  miktarı arttıkça denge sağa tarafa kayacak ve verim yükselecektir.

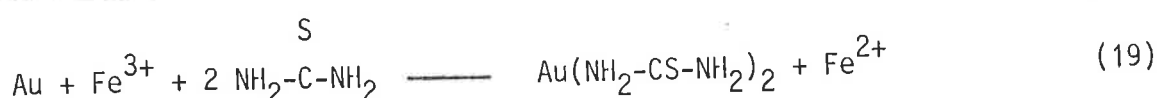


Sekil 28.  $\text{Fe}^{3+}$  Miktarının Au ve Ag özütləmesine Etkisi



+

---



### 3.2.24. Gümüşü Alınmış Numunenin KCN Çözeltisi ile Özütlenmesi

Deney koşulları :

Gümüşü alınmış numune : 1,5013 g

KCN çözeltisinin hacmi : 250 ml

KCN çözeltisinin derişimi : 0,5 g/L

NaOH miktarı : 0,01 g

NaOH çözeltisinin derişimi : 0,04 g/L

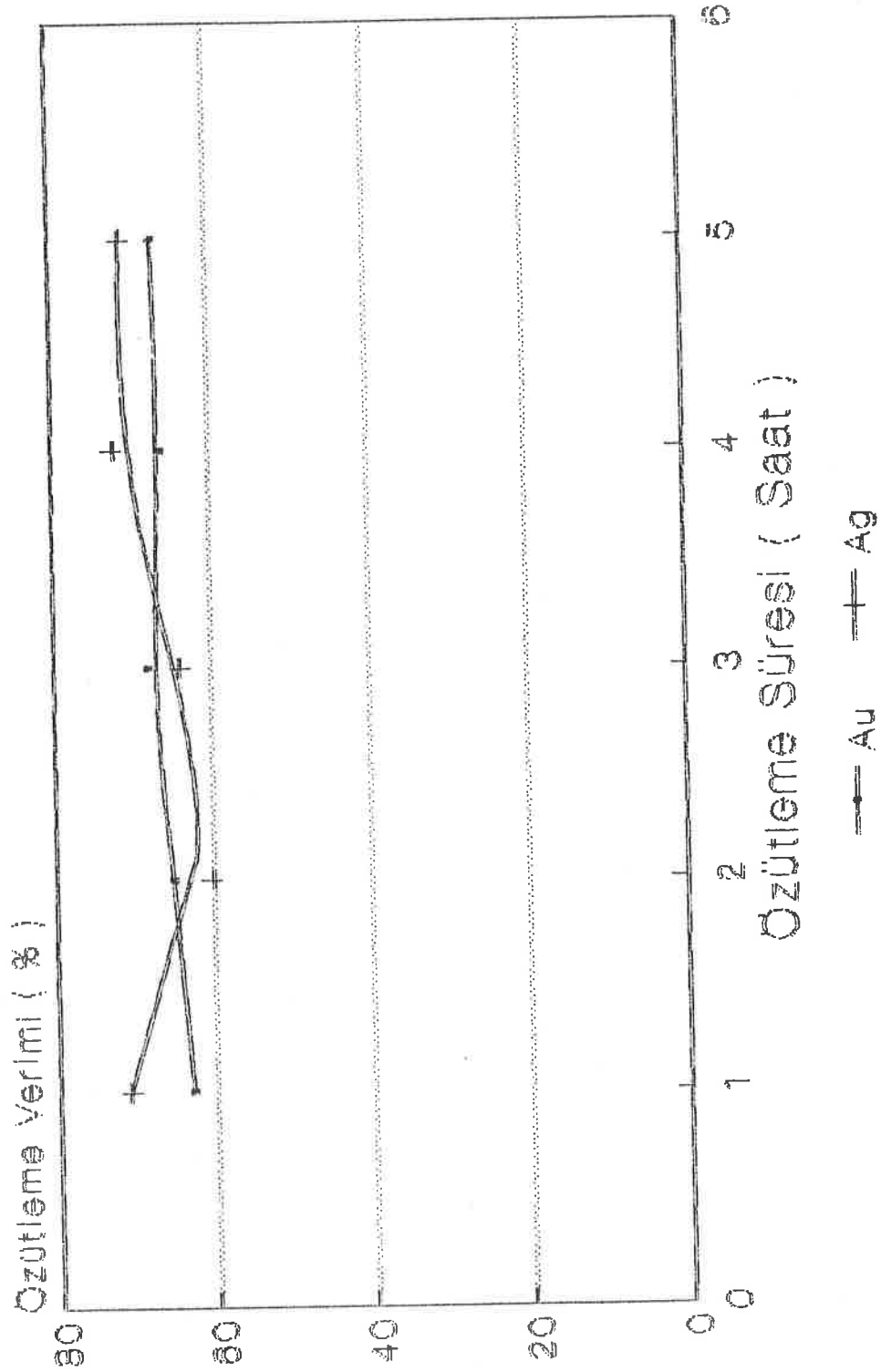
pH : 10,4

Sıcaklık : 30 °C

Deney sonucu çözeltiye geçen Au ve Ag miktarları tablo 29 ve şekil 29 da verilmiştir.

Tablo 29. Gümüşü Alınmış Numunenin KCN Çözeltisi ile Özütlenmesi

Özütleme Süresi Saat	Özütleme Verimi %	
	Au	Ag
1,0	61	71
2,0	63	60
3,0	65	64
4,0	68	72
5,0	67	71



Sekil 29. Özütleme Süresinin Au ve Ag Verimine Etkisi

### 3.2.25. Tiyoüre Çözeltisinde Bulunan Au ve Ag'ün Aktif Kömür Üzerinde Adsorplanması

3.2.19'daki koşullarda koşullarda özütlenen altın ve gümüş aktif kömür üzerinde adsorplandı. Bu amaçla 205 ppm Au ve 49,6 ppm Ag ihtiva eden tiyoüre çözeltisinden 100 ml alınarak, üzerine çözeltide bulunan altın miktarının 10 katı aktif kömür (0,2000 g) ilave edildi. 30 °C de 2 saat karıştırıldı. Erteki gün numune szünlerek altın ve gümüş analizleri yapıldı. Adsorplanan miktarlar hesaplandı.

$$C_0 \text{ (Au)} : 205 \text{ ppm}$$

$C_0 \text{ (Au)}$  : Altının başlangıç derişimi

$$C_d \text{ (Au)} : 41,6 \text{ ppm}$$

$C_d \text{ (Au)}$  : Altının denge derişimi

$$C_0 \text{ (Ag)} : 49,6 \text{ ppm}$$

$C_0 \text{ (Ag)}$  : Gümüşün başlangıç derişimi

$$C_d \text{ (Ag)} : 11,5 \text{ ppm}$$

$C_d \text{ (Ag)}$  : Gümüşün denge derişimi

$$\text{Adsorplanan Au Miktarı (\%)} : \frac{C_0 \text{ (Au)} - C_d \text{ (Au)}}{C_0 \text{ (Au)}} \times 100$$

$$\text{Adsorplanan Au Miktarı (\%)} : \frac{205 - 41,6}{205} \times 100 = 79,7$$

$$\text{Adsorplanan Ag Miktarı (\%)} : \frac{C_0 \text{ (Ag)} - C_d \text{ (Ag)}}{C_0 \text{ (Ag)}} \times 100$$

$$\text{Adsorplanan Ag Miktarı (\%)} : \frac{49,6 - 11,5}{49,6} \times 100 = 76,8$$

## SONUÇ VE TARTIŞMA

Bu çalışmada anot çamurunun değerlendirilmesi için bir takım değişik basamaklarda Cu , Se , Te , Ag ve Au anot çamurundan ayrılarak çözelti ortamına alınmışlardır. Birinci basamakta çamurdaki tüm bakırın çözeltiye alınabilmesi için uygun çalışma koşulları belirlenmiştir(63). Bu koşullar altında yapılan çalışma sonucu geriye kalan artıktaki selenyum ve tellürün de büyük bir kısmının elementel hale dönüştürülmesi sağlanmıştır. Bu şekilde elementel hale dönüşen selenyum ve tellürün  $\text{Na}_2\text{SO}_3$  ve  $\text{Na}_2\text{S}$  çözeltileri ile özütlenmesi sonucu, selenyum ve tellürün büyük bir kısmının ayrı ayrı çözelti ortamına alınması sağlanmıştır(63). Bu işlemler sonucu geriye kalan numunelerin değişik yükseltgenler eşliğinde tiyoüre çözeltisi ile özütlenmesine çalışılmış fakat hiç birinde istenilen sonuçlar elde edilememiştir. Gümüşün bu işlemler süresince önemli bir kısmının  $\text{Ag}_2\text{Se}$  ve  $\text{Ag}_2\text{S}$  şeklinde olduğu göz önüne alınarak, bu yapının bozulması için  $700^{\circ}\text{C}$  de kavurma işlemeye tabi tutulmuştur. Bu şekilde elde edilen numunenin tekrar tiyoüre çözeltisi ile özütlenmesinden istenilen sonuçların elde edilememesi üzerine gümüş ve altının ayrı ayrı basamaklarda çözeltiye alınmalarına çalışılmıştır. Bunun üzerine gümüşün ayrılması için  $700^{\circ}\text{C}$  de kavrulmuş numunenin  $\text{H}_2\text{SO}_4$  ile 8 atm oksijen basıncı altında  $350^{\circ}\text{C}$  sıcaklıkta 1 saat tutularak deney sonuçları incelenmiştir. Bu şekilde çalışma sonucu tüm gümüşün çözeltiye alınması için uygun koşullar şartnameştir. Bu deney sonucu elde edilen artığın değişik yükseltgenler eşliğinde tiyoüre özütlenmesine tabi tutularak altının çözeltiye alınmasına çalışılmıştır. Altının çözeltiye alınmasında en uygun yükseltgenin  $\text{Fe}^{3+}$  olduğu ve alınması gereken miktarın da 7,5 g/L olduğu belirlenmiştir.

Bu şekilde bir çalışma izleyerek anot çamurundaki Cu , Se , Te , Ag ve Au ayrı ayrı basamaklarda anot çamurundan oldukça yüksek verimlerle ayrılabilirlerinin mümkün olduğu görülmüştür. Uygulanan yöntemin bu şekli ile pilot bir

çalışma yapılarak endüstriye uygulanabilirliği incelenebilir. Bunlarla ilgili ekonomik değerlendirmeler yapılabilir. Laboratuvar ölçüğinde yapılan bu deney sonuçlarının endüstride de uygulanabileceği kanısını vermektedir.

## KAYNAKLAR

1. I.M. Kolthoff, and P.J. Elving, " Treasite on Analytical Chemistry, Interscience Publishers a Division of John Wiley & Sons, New York, Part II, Vol. 4, (1966), p. 72-74.
2. Z. Tez, " Kimya Tarihi " V Yayınları, ANKARA, (1986). s. 12.
3. Kirk-Othmer, " Encyclopedia of Chemical Technology" Interscience Publishers a Division of John Wiley & Sons, New York, 2. Ed., Vol. 10, (1966). p:681.
4. Kirk-Othmer, " Encyclopedia of Chemical Technology " Interscience Publishers a Division of John Wiley & Sons, New York, 2. Ed., Vol. 18, (1969). p. 288.
5. Z. Tez, "Madencilik ve Metalurji Tarihi " Kitapsaray Yayınları, İSTANBUL, (1989). s. 35.
6. Kirk-Othmer, " Encyclopedia of Chemical Tecnology " Interscience Publishers a Division of John Wiley & Sons, New York, 2. Ed., Vol. 10, (1966), p. 683.
7. I.M. Kolthoff and P.J. Elving , "Treasite on Analytical Chemistry, Interscience Publishers a Division of John Wiley & Sons, New York, Part II, Vol. 4 (1866). p. 4.
8. A. İnan, N. Yüce, Türkiye Sb, Hg, W ve Au Yataklarının Özellikleri Ülke Olanakları ve MTA'nın Sb, Hg, W ve Au Aramasındaki Yeri, 50. Yıl Simpozyumu Bildirileri, MTA Genel Müdürlüğü, ANKARA, (1985). s. 190-199.
9. E.W. Molly, Türkiyenin Batısındaki Au Mineralizasyonları, MTA Rapor No:2789 (1958).
10. E.W., Molly, Aydın-İzmir Altın Mineralizasyonları, MTA Rapor No:2465, (1960).
11. M. Saydamer, Kula-Eşme-Alaşehir Yöresi Au Prospeksiyonu, MTA Rapor No:3069, (1959).
12. E.W. Molly, Türkiyenin Batısında Au ve Pt Aramaları, MTA Rapor No: 2841, (1961).

13. R. Higs, Kartaldağı Au Sahasının Jeolojisi, MTA Maden Etüd Raporu No:175  
(1962).
14. M. Mohr, MTA Rapor No: 3348, (1964).
15. N. Şişman, H. Şenocak, MTA Rapor No: 7202, (1981).
16. İ. Sezer, MTA Rapor No: 4087, (1969).
17. T. Alpan, MTA Maden Etüd Rapor No:714, (1980).
18. E.W. Molly, MTA Rapor No: 2334, (1955).
19. T. Alpan, Ş. Çengel, MTA Maden Etüd Rapor No:1939, (1984).
20. T. Alpan, Hatay Au Aramaları Prospeksiyon Raporu, (1985).
21. R.B. Bahappu, Advanced in Hydrometallurgical Extraction of Precious Metals,  
I. Int. Min. Pros. Symp., E.Ü. Atatürk Cultural Centre İZMİR/TURKEY, (1986),  
Vol. 1, p. 435-456.
22. R. Ün, "Metal Kimyası Dersleri" İ.Ü. Yayınları, İSTANBUL, (1968).
23. S. Atak, "Flotasyon İlkeleri ve Uygulaması" İ.T.Ü. Müh. Mim. Fak. Sayı:101,  
(1974).
24. V. Kudyrk and H.H. Kellog, Mechanism and Rate-Controlling Factors in The  
Dissolution of Gold in Cyanide Solution, J. of Metals, 6, 541-548, (1954).
25. I.H. Gundiler and H.J. Huyhua, Thiourea Leaching of Gold and Silver,  
I. Int. Min. Pros. Symp., E.Ü. Atatürk Cultural Centre, İZMİR/TURKEY,  
(1986). Vol. 1, p. 457-470.
26. R. Addison, Gold and Silver Extraction from Sulfides Ores, Mining Congress  
J. Oct. (1980), p.47.
27. A.J. Brown, Economics of Recovery Gold from Refractory Sulfides Concentrate,  
I. I.S.P.M.R., Rio Nev., June (1984).

28. R.W. Lawrence, and A. Braynesteyn, Biological Pre-Oxidation to Enhance Gold and Silver Recovery, CIM Bultein, 76, 107 (1983).
29. R.M.G.S. Berezwsky, and D.R. Weir, Pressure Oxidation for Treating Refractory Uranium and Gold Ores, 22 nd Ann. CIM Conf. of Met. Edmonton Alberta, Aug. (1983).
30. I.N. Plaskin, and M.A. Kuzhukhova, Dissolution of Gold and Silver in Solutions of Thiourea, Sb. Nauchn. Tr., Inst. Tsvetn. Metal., 33, 107 (1960). Chem. Abs. 57:10888e.
31. T. Groenewald, Electrochemical Studies on The Gold Electrodes in Acidic Solutions of Thiourea, J. Appl. Electrochem., 5, 71 (1975).
32. C.K. Chen, T.N. Lung, and C.C. Wan, A Study of The Leaching of Gold and Silver by Acidothiouration, Hydrometallurgy, 5, 207 (1980).
33. S. Tataru, Dissolution of Gold in Thiourea Solution, Rev. Roum. Chim., 13, 891 (1968). Chem Abs. 69 : 100037k
34. T. Groenewald, Dissolution of Gold in Acidic Solutions of Thiourea, Hydrometallurgy, 1, 277 (1976).
35. G. Deshenes, and E. Ghali, Leaching of Gold from Chalcopyrite Concentrate by Thiourea, Hydrometallurgy, 20, 179-202, (1988).
36. R.J. Hishion, and C.G. Waller, Mining Magazine, Sept. 237-243, (1984).
37. S. Goto, O. Ogawa, I. Asakura, and S. Nakamura, Leaching of Gold and Silver from Ore with Thiourea in Sulfuric Acid Solutions, Nippon Kogyo Kaishi, 101(1164), 75-79, 1985). Chem. Abs. 105:195019e
38. P. Vodvarka, Leaching Tests Using Thiourea, Fizykochemiczne Problemy Mineralurgii, 19, 275-281, (1987).
39. R.G. Shulze, New Aspect in Thiourea Leaching of Precious Metals, 6, 62-65,

(1984).

40. V.P. Kazakov, A.L. Lasphin, and B.I. Peshchevitskii, Redox Potential of The Gold (I) Thiourea Komplex, Russian Journal of Inorganic Chemistry, 9, 708-709, (1964).
41. T.T. Chen, and J.E. Dutrizac, The Mineralogy of Copper Electrorefining, J. of Metals, Agust, 39-44, (1990).
42. W.C. Cooper, The Treatment of Copper Refinery Anode Slimes, J. of Metals, Agust. 45-49, (1990).
43. O. Hyvrinen, E. Rosenberg, L. Lindros, and E. Yilo, Selenium and Precious Metals Recovery from Copper Anode Slimes at Autokumpu Pori Refinery, 13 th AIME Annual Meeting, Feb. 26- March 1, Los Angeles/USA, (1984).
44. T. Ishihara, The Fundamentals of Selenium Metallurgy, III. Sulfatizing Roasting of Selenides of Silver and Copper, Kyushu Kozan Gakkai-Shi, 29, 22-28, (1961). Chem Abs. 55:13784.
45. D.M. Chizikov, and V.P. Shchastlivyi, Tellurium and Tellurides, Translated by E.M. Elkin, Collet's Publishers Ltd. London and Wellington, (1970), p. 57-61.
46. T. Ishihara, The Fundamentals of Selenium Metallurg, I. Oxidizing Roasting of Silver and Copper Selenides, Kyushu Kozan Gakkai-Shi, 28, 519-533, (1960), Chem. Abs. 55:13783 (1961).
47. L. Loeschau, Beitrage Zur Gewinnung Von Selen aus Anodenschlammen, Freiberger Forschungshefte, 60, 7-30, (1961).
48. T.N. Grevier, Optimum Temperature Conditions for The Roasting of Copper Electrolyte Slurries, Tsvetn. Met., 6, 16-18, (1974), Chem. Abs. 18:17295, (1975).
49. I. Fujimura, and A. Katai, Selenium Recovery from Copper Electrolysis

- Slime at Mitsubishi Osaka Refinery, TMS paper A82-12(Warrendale, PA, TMS-AIME, 1982).
50. E.A. Buketov et al., Shaft Furnace Sintering of Electrolytic Copper Slimes, Tsvent. Met., 38(4), 28-31, (1965), Chem. Abs. 63:12722 (1966).
  51. V.G. Shkodin et al., Roasting-Sintering of Anode Slimes with Soda in Shaft Furnace, Tr. Ural. Nauch. Isllled. Proekt. Inst. Mednoi Prom, No:12, 220-208, (1969), Chem. Abs. 72:114078, (1970).
  52. A.A. Tishchenko, and V.I. Smirnov, Thermodynamics and Experimental Investigation of The Formation Reaktions of Sodium Selenites and Selenates by Sintering Copper Selenide with Soda Ash, Dokl. Akad. Nau. SSSR, 145, 863-866, (1962), Chem. Abs. 58:2171, (1963).
  53. A.A. Tishchenko, and V.I. Smirnov, Study Conditions for The Formation of Sodium Selenite and Selenates by Sintering Silver and Copper Selenides with Sodium Carbonate, Zh. Prikl. Khim., 36(11), 2363-2367, (1963), Chem. Abs. 60:6511, (1964).
  54. G. Yıldırım, and F.Y. Bor, Hydrometallurgical Treatment of a Copper Refinery Slime Rich in Selenium and Tellurium, Erzmetall, 38(4), 196-199, (1985).
  55. G.S. Rao, Y.W. Gokhale and S.S. Gupta, Recovery of Selenium and Tellurium from Anode Slime, Indian Journal Technology, 14, 201-203, (1976).
  56. B.H. Morrison, Recovering and Seperation of Selenium and Tellurium By Pressure Leaching of Copper Refinery Slime, Met. Soc. Conf., 14, 227-249, (1976).
  57. E.A. Buketov, and B.P. Malishev, The Recovery of Selenium and Tellurium from Electrolytic Copper Sludge, Alma Alta Nauka, 160-189, (1969).
  58. K.N. Subramanian, N.C. Nissen, A. Illis and J.A. Thomas, Recovery of Sele-

- nium from Copper Anode Slimes, 107 th AIME Annual Meeting, Denver, Colorado, Feb. 26-March 2, (1978).
59. R. Ziyadanoğulları, M. Büyüksahin, Anot Çamurundaki Selenyumun Çözünen Bileşikleri Halinde Kazanılması, Doğa TU. Kimya Dergisi, 12(1), 108-114, (1988).
60. A. I. Ogel, "Textbook of Quantitative Inorganic Chemistry" 3 rd Ed., Longman, London, (1961).
61. T. Gündüz, " Kantitatif Analiz Laboratuvar Kitabı " A.Ü. Yayın No:119(3), A.Ü. Basım Evi, AKARA, (1974).
62. B.J. Shelton, Determination of Ag, Se, Te, Sb, Sn, Pb and As in Anode Slags, Natl. Inst. Repuplic of South Africa, Report No:1771, 12 (1975).
63. R. Ziyadanoğulları, Ö. Yavuz, Anot Çamurundan Selenyum ve Tellür Kazanılması, Doğa, Tr. J. of Chemistry, 14, 165-172, (1990).
64. P.C. Gupta, Analytical Chemistry of Thiocarbamides, Z. Analyt. Chem. 196, 412-430, (1963).
65. I.M. Kolthoff and P.J. Elving, Treatise on Analytical Chemistry, Interscience Publishers a Division of John Wiley & Sons, New York, part II, Vol. 15, (1966), p. 107.